

PRAKTIČKÁ ELEKTRONIKA A Radio

ROČNÍK VIII/2003. ČÍSLO 2

V TOMTO SEŠITĚ

| | |
|--|------------|
| Náš rozhovor | 1 |
| Nové knihy | 2 |
| AR mládeži: Základy elektrotechniky | 3 |
| Jednoduchá zapojení pro volný čas | 5 |
| Informace, Informace | 7 |
| Vlkoměr a teploměr bez kalibrace | 6 |
| Samolepicí fólie v amatérské praxi aneb Z plastové krabičky stíněná | 13 |
| RS232 data recorder | 14 |
| Adaptér k DMM pro měření indukčnosti .. | 16 |
| Reproduktorové soustavy pro elektronkové zesilovače (a nejen pro ně) | 17 |
| Tester kondenzátorů - měřič ESR | 20 |
| Jednoduchý měřič kapacit 1 pF až 10 000 µF | 23 |
| Inzerce | I-XXIV, 48 |
| Nabíječka alkalických článků | 25 |
| Inteligentní dálkové ovládaný stmívač s regulací jasu | 26 |
| Spouštěcí obvod pro fotografický blesk | 29 |
| Zesilovač 2x 15 W s PIC (dokončení) | 30 |
| Šumový můstek k nastavování trapů | 32 |
| Elektronický miliohmметр | 32 |
| PC hobby | 33 |
| Rádio „Historie“ | 42 |
| Z radioamatérského světa | 44 |

Praktická elektronika A Radio

Vydavatel: AMARO spol. s r. o.

Redakce: Šéfredaktor: ing. Josef Kellner, redaktori: ing. Jaroslav Belza, Petr Havlíš, OK1PFM, ing. Miloš Munzar, CSc., sekretariát: Eva Kelárová.

Redakce: Radlická 2, 150 00 Praha 5, tel.: 2 57 31 73 11, tel./fax: 2 57 31 73 10, sekretariát: 2 57 32 11 09, I. 268.

Ročně vychází 12 čísel. Cena výtisku 50 Kč.

Rozšíření ÚDT a.s., Transpress spol. s r. o., Mediaprint & Kapa a soukromí distributoři.

Předplatné v ČR zajišťuje Amaro spol. s r. o. - Hana Merglová (Radlická 2, 150 00 Praha 5, tel.: 2 57 31 73 12; tel./fax: 2 57 31 73 13). Distribuci pro předplatitele také provádí v zastoupení vydavatele společnost Mediaservis s. r. o., Abocentrum, Moravské náměstí 12D, P. O. BOX 351, 659 51 Brno; tel: 5 4123 3232; fax: 5 4161 6160; abocentrum@mediaservis.cz; www.mediaservis.cz; reklamace - tel.: 800-171 181.

Objednávky a predplatné v Slovenskej republike vybavuje Magnet-Press Slováka s. r. o., Teslova 12, P. O. BOX 169, 830 00 Bratislava 3, tel./fax (02) 444 545 59 - predplatné, (02) 444 546 28 - administrativa; email: magnet@press.sk. Podávání novinových zásilek poveleno Českou poštou - reditelství OZ Praha (č.j. nov 6005/96 ze dne 9. 1. 1996).

Inzerci v ČR přijímá redakce - Michaela Jiráčková, Radlická 2, 150 00 Praha 5, tel.: 2 57 31 73 11, tel./fax: 2 57 31 73 10 (3).

Inzerci v SR vyřizuje Magnet-Press Slováka s. r. o., Teslova 12, 821 02 Bratislava, tel./fax (02) 444 506 93.

Za původnost a správnost příspěvků odpovídá autor (platí i pro inzerci).

Internet: <http://www.aradio.cz>

E-mail: pe@aradio.cz

Nevyžádané rukopisy nevracíme.

ISSN 1211-328X, MKČR 7409

© AMARO spol. s r. o.

NÁŠ ROZHовор



sing. Kamilem Tomanem, technickým manažerem firmy DEXON CZECH s. r. o., která se zabývá výrobou a prodejem reproduktorů, reproduktorových soustav a souvisejícího sortimentu.

Mohli byste v krátkosti představit vaši společnost?

Firma DEXON vznikla v roce 1989 jakožto subjekt zabývající se předeším výrobou reproduktorových soustav. Postupným vývojem jsme rozšířili naši činnost o zásilkovou službu a výrobní provozy, k nimž brzy přibyly firemní prodejny v Ostravě a Praze. Cestou zásilkové služby se náš sortiment rozrostl z původních 5 typů reproduktorských soustav na dnešních téměř 1500 položek. V roce 1999 jsme zřídili pobočky zásilkové služby a prodejny v Polsku ve Wrzesnii, což je kolébka špičkového výrobce reproduktorů - firmy Tonsil, a také zastoupení na Slovensku. Samozřejmě nechybí ani prodej po Internetu. Počátkem roku 2002 jsme se transformovali na společnost DEXON CZECH s. r. o., pro kterou dnes pracuje 40 zaměstnanců, a vybudovali jsme nové firemní centrum.

A jaká je vaše obchodní strategie?

Prvním pilířem naší strategie je přehledný 100stránkový katalog (vychází ve dvou jazykových mutacích a je poskytován zdarma), který detailně přibližuje naše výrobky, jež ve standardní obchodní síti obvykle nejdete. K tomu navíc poskytujeme zdarma technické poradenství, čímž se i maloobchodatelům zpřístupňují speciální produkty. Musíme říci, že již od samého začátku jsme se zaměřili na přímý prodej „drobným“ zákazníkům - obvykle amatérům, pro které je stavba reproduktorové soustavy předeším koníčkem. Ovšem ani velkoodběratelé 35 000, nezůstávají stranou. Pro ně máme přichystán výhodný systém velkoobchodních slev. Do třetice zmiňme exportní činnost do Polska, Německa, Velké Británie, Řecka a Slovenska.

Druhým pilířem je vlastní výroba. Nejsme firma, která by zastupovala značky a ty pak pasivně prodávala, byť i takové zboží u nás najdete. Asi 80 % produktů je vyráběno plně v naší režii, ať už dodavatelským způsobem u zahraničních renomovaných výrobčů, nebo v našich výrobních provozech. Kvalitní výrobky za přijatelné ceny si již 13 let budujeme značku a chystáme se tak na úspěšný vstup na evropské trhy.

Pojďme nyní k vašemu sortimentu. Zmínil jste se o 1500 položkách a čtenáře by jistě zajímal, co tedy nabízíte?

Jak již bylo řečeno v úvodu, nabízíme reproduktory, reproduktorové soustavy a související audio sortiment.

Avšak to je asi míněno pouze obecně, že?



Ano. Náš sortiment je opravdu rozsáhlý a dělíme jej takto:

Hifi, domácí kino - zde jmenujeme centrální, regálové i sloupové reproduktorové soustavy řady Moderato a Adagio, které vyrábíme na automatické dřevoobráběcí lince, či plastové reproduktorové soustavy s konzolou. Pro stále populárnější domácí kino nabízíme kromě výše jmenovaných soustav aktivní subwoofer a také držáky, stojany, nožky, kably, konektory a další užitečnou „havěť“. Reproduktorové soustavy z této kategorie často podrobujeme objektivním testům v nezávislých časopisech s velmi dobrými výsledky. Pro „Hifi kutily“ nabízíme snad vše, co budou ke svému „bastlení“ potřebovat. Výhybky, součástky, mřížky, terminály a v neposlední řadě také reproduktory s úplnou technickou dokumentací, od nejlevnějších po kategorii High-End.

Profesionální technika je také rozsáhlou kategorii a je zaměřena na uživatele, jako jsou muzikanti, kapely, diskotéky a divadla. Základ tvoří robustní reproduktorové soustavy odposlechové, satelitní a subwoofer, ať už v aktivní nebo v pasivní verzi. Ty navíc máme rozděleny na dvě řady, ta jedna je profesionální, ta druhá je určena pro ty aplikace, kde je zbytečné investovat do dražšího zařízení. Takovým příkladem jsou např. školy a sociální ústavy. Široký sortiment reproduktorových soustav doplňují mixážní pulty, zesilovače, CD přehrávače, gramofony a další užitečné přístroje. Za samostatnou zmínku stojí ucelená řada bezdrátových i klasických mikrofonů, která dosáhla velmi zdařilého výsledku testu v místním muzikantském časopise. Samotnou kapitolou je světelná technika, jež zahrnuje různé reflektory, světelné efekty, strobskopy, výrobníky mlhy atd. Nakonec, i profesionální technika je doprovázena řadou konektorů, kabelů, držáků, stojanů. A také i zde pro samostavitele - reproduktory různých výkonů a parametrů.

Autoozvučení se stalo za posledních pár let obrovským hitem našich řidičů a nesmíme zapomenout dodat, že pro naši firmu je to opravdu dost podstatný a úspěšný směr. Autoozvučení neznamená jenom autoreproduktoře a sestavy autoreproduktořů, ale i subwooferové tuby a boxy, autozesilovače s různými výkony a různým počtem kanálů, výhybky, odrušovací členy, filtrační kondenzátory do 1 F a samozřejmě opět konektory a kably. I autoozvučovací prostředky necháváme nezávisle testovat a nezbývá, než konstatovat, že i tady jsme úspěšní.

Plošné ozvučení je velmi progresivní kategorii, do které vlastně spadá pevné ozvučení všech veřejných míst. Ona progresivita je způsobena dynamickým nářístem stavební a rekonstrukční činnosti, takže i my jsme reagovali, a svůj sortiment jsme z původních reproduktorů a reproduktorových soustav (vestavné, reentrantní, sloupové, závesné, vlnkuodolné, skříňky) rozšířili o rozhlasové ústředny, zesilovače, konferenční a řečnické systémy, transformátory, mikrofo-

ny, regulátory hlasitosti atd. Nedávno jsme uvedli na trh tzv. „Velký ozvučovací systém JEDIA“, který disponuje kapacitou až 60 zón, plnou zálohou napájení, zálohou zesilovačů a napojením na elektronickou protipozární signalizaci. Spolu s dalšími přístroji tento systém plně vyhovuje standardu ČSN EN 60 849, který je zvláště u rozsáhlých instalací povinný. Dobrou zprávou je navíc to, že oproti konkurenci jsme asi o 50 % levnejší. Máme tak výhodu v tom, že ozvučovací systém jsme schopni nabídnout kompletní s kvalitním servisem za velmi přijatelnou cenu.

Ač by se mohlo zdát, že tuto kategorii výrobků poskytujeme především instalacním firmám, je třeba říci, že jsou zde výrazně zaostoupeni i „kusovi“ odběratelé.

Jak je vidět, plošné ozvučení je pro vaši firmu dosti významné. Mohl byste popsat některé případy tohoto ozvučení?

Začneme např. u ozvučení zahradní restaurace či altánku. Na první pohled to je jednoduchý případ, který však v sobě skrývá záladnost, kterou jsou klimatické podmínky. Od zákazníků dále víme, že zdroj signálu již obvykle mají, a tím pádem volíme nízkoimpedanční rozvod, který musí být navíc vlnkuodolný. Jako příklad uvedeme vlnkuodolné reproduktory řady RP s možností instalace do dřevěných konstrukcí, popř. klimaticky odolné plastové reproduktory soustavy řady SP nebo na velká prostranství často užívané „sloupovky“ CS-620WP.

Zajímavým módním trendem je ozvučení koupelen, bazénů a lázní. Rešíme jej vlnkuodolnými vestavnými reproduktory RP 61, 81, 62, 82, které se dají instalovat i do sprchových koutů. Do větších lázní používáme soustavy SP 302 nebo SP 502 s držákem a lokálním regulátorem hlasitosti PR 150 nebo 300. Jedná-li se o větší ozvučovací systém, je potřeba vše uvedené reproduktory soustavy nebo reproduktory doplnit převodními transformátory. V žádném případě nic nesmí přijít do přímého styku s vodou a proto dbáme na vysoké krytí.

Restaurace, kavárna, bar je také častým případem. Jako zdroj signálu se obvykle užívá klasický „receiver Hifi“, který podle požadavků na další zdroje signálu doplníme. Chceme-li směšovat signály, pak s výhodou uživatel použije z naší nabídky power mix LEEM CSP 801. Jako reproduktory soustavy opět doporučujeme SP 502, SP 302, pro náročné interiéry pak velmi kvalitně zpracované SPT 312, 512, v případě podhledu volíme zástavné reproduktory. Reproduktory se zapojují obvykle nízkoimpedančně, ale to pouze v případě, že nejsou rozmištovány na rozlehlu plochu, v tomto případě je vhodnější již volit 100 V systém (např. v hotelech).

Na tomto místě je třeba zdůraznit, že plošné ozvučování neznamená jenom přenos řeči, ale v dnešní době i kvalitní přenos hudby. Zatímco v oblasti vyšších kmitočtů nenastávají význejší problémy, pak na druhou stranu nízkých kmitočtů je často nedostatek. Tak už to v akustice „chodi“, tedy po malých reproduktorech nemůžeme chtít perfektní přenos basů, a proto jako kvalitativní doplněk je velmi vhodný náš aktivní subwoofer SUB 350A.



Rozhlasová ústředna JPA 1240

Jedním z méně častých případů bývá ozvučení sportovního areálu či venkovního prostranství. Díky obvyklé rozlehlosti ozvučení musí uživatel volit 100 V systém, proto se jako zdroj signálu obvykle užívají 100 V ústředny JPA 1240A, 1200A a 1100A.

Je-li systém opravdu výkonově náročný, musíme instalovat koncové zesilovače řady JPA podle rozsahu sítě a požadovaného výkonu. Méně rozlehlé systémy nemusíme budit 100 V, lze použít sestavy s mixážním pultem a zesilovačem, popř. výkonovým mixážním pultem. Reproduktory volíme z řady sloupových modelů CS-620WP, nebo účinnější reentrantní verze SC 30AH a XHR 1625. Tyto jsou určeny pro montáž na sloupy např. veřejného osvětlení.

Pro interiérové ozvučení, ať už sportovních hal nebo pro sály a auly, doporučujeme sloupové soustavy řady DPT, které jsou velmi kvalitně strojně zpracovány a mají výbornou směrovost, takže dokáží ozvučovat do větší dálky. Hustota rozmístění takovýchto reproduktoriček soustav je 10 až 15 m, což považujeme za cenovou a kvalitní optimum.

Nejčastějším případem plošného ozvučovacího systému je ozvučení zasedacích místností a administrativních budov. U malých zasedacích místností se spokojíme s již jmenovanou kombinací mixážní pult + zesilovač + zdroj signálu. Je-li však místnost větší, a také s výšším stropem, je nutné již volit 100 V systém a také sloupové reproduktoriček soustavy řady DPT. Jako zdroj signálu velmi často provádíme instalace přepážkových mikrofonů, ať už ve formě pultíku PA 500 nebo k vestavění do stolu - PA 100, 200. Naše ozvučovací systémy se však nebrání ani vícejazyčným i vícekanálovým variantám. Za tímto účelem volíme bezdrátové konferenční systémy WVR-105RT + WT-205PT. Co se týče reproduktorů a reproduktoriček soustav, tak platí v podstatě to, co bylo řečeno v předešlých případech.

Seznámil jste nás s vaším sortimentem a způsobem jeho užití, zvláště v kategorii plošné ozvučovacích systémů. My jsme si však všimli i vaši publikační činnosti.

Jak jsem řekl na začátku, nejdé jenom o to, prodávat výrobky, ale poskytovat i kvalitní zákaznický servis. Právě kvůli tomu jsme pro kategorii plošného ozvučení vydali speciální katalog výrobků. To by nebylo nic tak zvláštního, kdyby v jeho zadní části nebylo dost rozsáhlé „popídaní“ o této problematice, čehož si dost vážíme, neboť v naší zemi nebylo ještě nic podobného publikováno.

Pokud však hovoříte o publikování jako takovém, máte patrně na mysli knihu „Reproduktory a reprosoustavy“. Je to naše knižní prvotina, která navazuje na svého 20 let starého předchůdce. Musím konstatovat, že kniha je opravdu dost úspěšná a oblíbená. Čtenář v ní najde snad vše kolem reproduktorů a stavby reproduktoriček soustav, takže ji všechno doporučuji.

Na závěr poprosím ještě o kontaktní informace pro naše čtenáře.

Najdete nás na adresě: DEXON CZECH s. r. o., Průmyslová zóna Nové Pole, 733 01 Karviná - Staré Město. Tel./Fax: 596 32 11 60; e-mail: speakers@dixon.cz; www.dixon.cz.

Děkuji vám za rozhovor.

Připravil ing. Josef Kellner.



Udělejte si z PC 2. díl

užitečný stroj a ovládejte party ve Windows...

David Matoušek

TECHNICKÁ LITERATURA BEN



- měření, řízení a regulace pomocí sériového a paralelního portu PC
- komunikace PC s aplikacemi mikrokontrolérů řady AT89C2051
- stavba jednoduchého programátoru mikrokontrolérů AT89C2051

PC & elektronika

Matoušek, D.: Udělejte si z PC ..., 2. díl. Vydalo nakladatelství BEN - technická literatura, 224 stran B5 + CD ROM, obj. číslo 121114, 299 Kč.

Kniha volně navazuje na první díl. Je určena čtenářům, kteří jsou obeznámeni se základy číslicové techniky a programováním mikrokontrolérů řady 8051 a AVR.

Jádrem knihy je popis několika elektrotechnických přístrojů, které jsou řízeny sériovým nebo paralelním portem počítače a ovládány programy, které „běží“ na operačních systémech: Windows 95/98/NT/2000/Me. Ovládací programy jsou vytvořeny ve vývojovém prostředí C++ Builder verze 5.0.

Mezi nejzajímavější části v knize patří např. kap. 3, ve které je do detailů popsána komunikace po paralelních portech (SPP/EPP/ECP). Je rovněž ukázána na jednoduchých přípravcích.

Čtvrtá kapitola uvádí dvě aplikace přímého řízení sériového portu. Jedná se o jednoduché přípravky ve funkci dvoukanálového převodníku A/D (s obvodem MCP3002) a programátoru sériových E2PROM typu 93Cx6. Oba přípravky jsou napájeny přímo ze sériového portu.

Zajímavé aplikace jsou popsány v kap. 7 a 8, kde naleznete dvě aplikace mikrokontrolérů AT89C2051. Jedná se o levnou měřicí desku vybavenou dvěma převodníky A/D a D/A, osmi vstupy/výstupy a zdrojem řízeným počítačem pracujícím v rozsahu 0 až 20 V.

Poslední kapitola se dotýká sběrnice USB tím, že jsou uvedeny převodníky od firmy FTDI, které konvertují signály USB sběrnice na signály sériového portu. To dává stávajícím aplikacím (mimo jiné) možnost používat větší počet sériových portů.

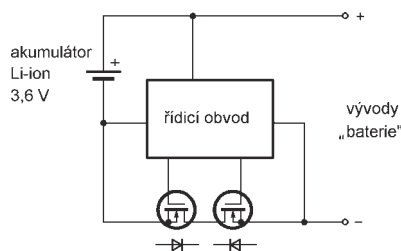
Knihy si můžete zakoupit nebo objednat na dobríku v prodejně technické literatury BEN, Věšínova 5, 100 00 Praha 10, tel. (02) 7482 0411, 7481 6162, fax 7482 2775. Další prodejní místa: Jindřišská 29, Praha 1, sady Pětatřicátníků 33, Plzeň; Cejl 51, Brno; Českobratrská 17, Ostrava, e-mail: knihy@ben.cz, adresa na Internetu: <http://www.ben.cz>. Zásileková služba na Slovensku: Anima, anima@dodo.sk, Tyršovo nábr. 1 (hotel Hutník), 040 01 Košice, tel./fax (055) 6003225.

AR ZAČÍNAJÍCÍM A MÍRNĚ POKROČILÝM

Použití tranzistorů MOSFET

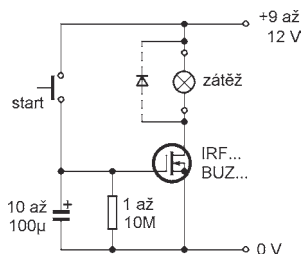
(Pokračování)

Tranzistory MOSFET se velmi hodí na nejúznejší spínače a odpojovače. Na obr. 82 je naznačeno zapojení ochranného obvodu akumulátoru Li-ion. Akumulátory Li-ion jsou velmi choulostivé na správné zacházení. Vadi jim hluboké vybijení (napětí pod 2,7 V) a nabíjení a nabíjení nadměrným proudem. Proto bývají „baterie“ do přístrojů spotřební elektroniky vybaveny ochranným obvodem. Součástí obvodu je i obousměrný spínač s tranzistory MOSFET, které v případě nepřiznivých provozních podmínek akumulátoru řídí obvod uzavře. Každý tranzistor MOSFET má ve své struktuře substrátovou diodu, a proto je v závěrném směru vždy vodivý. Pro dokonalé odpojení musí být zapojeny do série dva tranzistory tak, že při libovolném směru průchodu proudu je vždy jeden tranzistor plován normálně a druhý je v inverzním zapojení. Velikost procházejícího proudu se zjišťuje podle úbytku napětí na sepnutých tranzistorech.



Obr. 82. Zjednodušené zapojení ochranného obvodu akumulátoru Li-ion

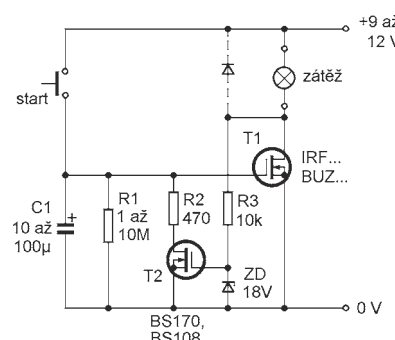
Amatérsky můžeme snadno sestavit jednoduchý časový spínač podle obr. 83. Zapojení využívá toho, že až do tzv. prahového napětí mezi gate a source je tranzistor zcela uzavřen. Po dosažení prahového napětí se tranzistor rychle otevře a odpor sepnutého tranzistoru je jen několik desetin ohmu. Při dalším zvětšování napětí se již jen zmenšuje odpor sepnutého tranzistoru.



Obr. 83. Jednoduchý časový spínač

Po stisku tlačítka se nabije kondenzátor a po jeho puštění se pomalu vybíjí přes rezistor. Napětí mezi gate a source se pomalu zmenšuje, tranzistor však zůstává otevřen. Přibližně se napětí kondenzátoru prahovému napětí (u běžných MOSFET asi 4 V), tranzistor se uzavře a zátež, v tomto případě žárovka, se odpojí. Dioda je potřeba pouze tehdy, má-li zátež indukční charakter (motory, bzučáky, zvonky, relé ...).

Zátež se neodpojí okamžitě, přechod mezi otevřeným a uzavřeným tranzistorem není nijak ostrý. To nevadí např. u spínače pro žárovku, u něhož žárovka svítí třeba minutu plným jasem a pak během několika sekund pohasne. Použil jsem tento spínač pro automatické vypínání multimetu, a tam bylo několikasekundové „uhnívání“ napětí na obtíž. Upravil jsem proto zapojení podle obr. 84. Funkce C1, R1 a T1 je stejná jako v předešlém případě. Do zapojení je přidán T2 s velmi malým prahovým napětím. Začne-li se T1 uzavírat, zvětší se na něm úbytek napětí. Tranzistor T2 se při úbytku napětí asi 1 V otevře, C1 se vybije přes R2 mnohonásobně rychleji a T1 se uzavře prakticky okamžitě. Při napájecím napětí 9 V, C1 = 10 μF a R = 2,7 MΩ je doba vypnutí asi 20 s. Diody a R3 jsou opět nutné jen indukční záteže. Kapacita gate T2 je však věmi malá a tranzistor se snadno zničí. Proto jsem u spínače multimetu R3 a Zenerovu diodu



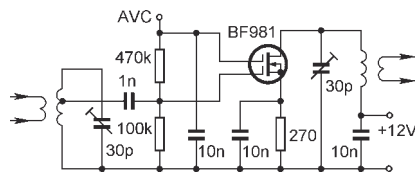
Obr. 84. Vylepšený časový spínač

du raději ponechal. Tranzistor T1 jsem použil IRFD110.

Zajímavé zapojení automatické elektronické pojistky jsem našel v časopise Electronic Design. Zátež je ke zdroji připojena tranzistorem T1, jehož gate je napájena z výstupu invertoru IO1a poměrně malým napětím 5 V. Zvětší-li se z nějakého důvodu odběr proudu, např. při zkratu, zvětší se také úbytek napětí na tranzistoru T1. Tento úbytek napětí je přes R1 přiveden na vstup invertoru IO1a, na jeho výstupu se napětí zmenší k nule a T1 se uzavře. Současně se také objeví napětí na výstupu invertoru IO1b a dioda D2 přestane blokovat multivibrátor sestavený z invertorů IO1c, d a e. Po určité době se multivibrátor překlopí a derivační článek C3, R6 vyrobí krátký impuls. Ten projde invertory IO1f a IO1a a na okamžík otevře tranzistor T1. Pominul-li zkrat na výstupu, zůstane T1 otevřený a zátež bude opět připojena ke zdroji. V opačném případě se tranzistor opět uzavře a pojistka se pokusí připojit zátež znovu po intervalu daném kmitočtem multivibrátoru. Okamžitě lze pojistku „nahodit“ odpojením záteže: Při odpojení záteže se na tranzistoru T1 zmenší napětí vlivem rezistoru R2, IO1a se překlopí a na jeho výstupu se objeví napětí, které otevře T1.

Autor uvádí, že pojistka je schopna při zkratu odpojit zátež do 25 μs.

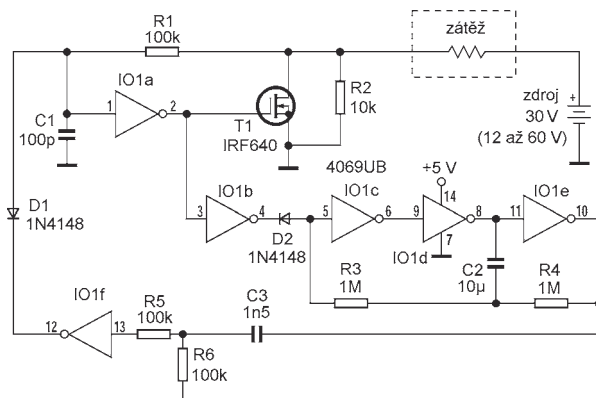
Nakonec je ještě na obr. 86 zapojení vf předzesilovače s MOSFET se dvěma elektrodami gate. Takové uspořádání tranzistoru zmenšuje vliv parazitních kapacit mezi drain a gate1 a navíc lze napětím na gate2 měnit zesílení stupně.



Obr. 86. Vf zesilovač pro pásmo FM s dual-gate MOSFET

VH

(Pokračování příště)



Obr. 85.
Automatická
elektronická
pojistka

Digitální technika a logické obvody

(Pokračování)

Booleova algebra

George Boole byl významným anglickým matematikem. Žil v první polovině devatenáctého století a zabýval se zejména logikou a její redukcí na jednoduchou algebru. Protože do matematiky logiku zavedl, byla po něm algebra logiky později pojmenována jako booleovská. Jak jsme si již řekli, v číslicové technice rozeznáváme pouze dva stavů, které označujeme jako 0 a 1, u logických obvodů často jako L a H (z anglických slov low – nízký a high – vysoký, což vyjadřuje skutečnost, že log. 0 je obvykle reprezentována menší napěťovou úrovní než log. 1). Boole se zabýval přiřazováním hodnot 0 a 1 různým kombinacím nul a jedniček, které představují různé vstupní logické stavů. Taková přiřazení označujeme jako booleovské funkce. Booleova algebra je pak soustava pravidel pro zápis a vyhodnocování logických vztahů. Abychom se nepohybovali pouze v teoretické rovině, uvedeme si několik jednoduchých příkladů, které by nám měly celou problematiku přiblížit.

Příklad: U autoalarmu bude využán poplach jednou z těchto příčin: otevření dveří **nebo** pohyb ve vnitřním prostoru (ultrazvukové čidlo) **nebo** rozbití okna (zvukové čidlo). Alarm se dezaktivuje dálkovým ovládáním **a** správným číselným kódem na klávesnici ve vozidle a tajným spínačem. Podmínu pro vyvolání poplachu i podmínu pro dezaktivaci alarmu můžeme chápát jako výroky a zapsat je přehledně do pravdivostní tabulky. Pokud bude podmínka splněna, zapíšeme 1, pokud ne, tak 0 (tzn. dojde-li k otevření dveří, zapíšeme 1, dojde-li k pohybu uvnitř vozu, zapíšeme 1, je-li vyvolán poplach zapišeme 1 apod.). V obou

Tab. 1. Pravdivostní tabulka k příkladu s alarmem – vyvolání poplachu. Poplach bude vyvolán vždy, přijde-li signál z jakéhokoliv snímače.

| Otevření dveří | Pohyb uvnitř vozu | Rozbití okna | Vyvolán poplach |
|----------------|-------------------|--------------|-----------------|
| 0 | 0 | 0 | 0 |
| 0 | 0 | 1 | 1 |
| 0 | 1 | 0 | 1 |
| 0 | 1 | 1 | 1 |
| 1 | 0 | 0 | 1 |
| 1 | 0 | 1 | 1 |
| 1 | 1 | 0 | 1 |
| 1 | 1 | 1 | 1 |

případech může na vstupu nastat osm různých kombinací.

Situace je přehledně zachycena v tab. 1. Jak je z ní vidět, poplach není vyvolán pouze v případě, kdy není splněna žádná z podmínek. Nebo, řekneme-li to opačně, poplach je vyvolán vždy, pokud je splněna alespoň jedna podmínka. Témto podmínkám bude me říkat **logické proměnné** a v Booleově algebře je budeme značit velkými písmeny (např. O, P, R a výsledek budeme označovat písmenem Y). Předpisu, podle nějž jsme se rozdodalovali, budeme říkat **logická funkce**. Celý výrok můžeme také napsat ve tvaru: pokud O **nebo** P **nebo** R, pak Y. Spojka **nebo** zde představuje jednu z logických funkcí. Nazýváme ji **logický součet**, označujeme ji **OR** (z anglického or, česky nebo) a v booleovské algebře ji přísluší znak +. S pomocí Booleovy algebry pak zapíšeme celý výrok ve tvaru: O + P + R = Y. Povšimněte si, že zde má znaménko + odlišný význam než v klasické algebře. Sice $0 + 1 = 1$, také $0 + 0 = 0$, ale $1 + 1 = 1$ (výsledkem samozřejmě nemůže být žádná jiná hodnota než 0 nebo 1). Znaménko se ani neče jako „plus“, ale jako **nebo**.

Pro případ dezaktivace alarmu stavíme další tabulku (tab. 2), opět postupujeme stejným způsobem – je-li podmínka splněna (stisknuto dálkové ovládání / zadán správný číselný kód / seprnut tajný spínač) zapíšeme 1, pokud není, zapíšeme 0. Stejně tak, je-li alarm dezaktivován, zapíšeme 1, pokud nikoliv, zapíšeme 0.

Vidíme, že výsledky v pravé části tab. 2 jsou zcela odlišné od výsledků tabulky předešlé. Alarm je dezaktivován pouze v případě, kdy jsou splněny všechny tři podmínky. Pokud alespoň jedna z podmínek nebude splněna, zůstane alarm aktivován. Takovou funkci, kterou jsme ve výroku nahradili spojkou **a**, nazýváme **logický součin**. Označujeme ji **AND** (z anglického and, česky a, i) a v booleovské algebře ji přísluší znak · (stejné „kráť“, které se používá v klasické algebře). Výrok pak můžeme zapsat

Tab. 2. Pravdivostní tabulka k příkladu s alarmem – dezaktivace. Alarm bude dezaktivován pouze tehdy, provedeme-li správně všechny tři vstupní procedury.

| dálkové ovládání | číselný kód | tajný spínač | alarm dezaktivován |
|------------------|-------------|--------------|--------------------|
| 0 | 0 | 0 | 0 |
| 0 | 0 | 1 | 0 |
| 0 | 1 | 0 | 0 |
| 0 | 1 | 1 | 0 |
| 1 | 0 | 0 | 0 |
| 1 | 0 | 1 | 0 |
| 1 | 1 | 0 | 0 |
| 1 | 1 | 1 | 1 |

ve tvaru D · C · T = Y (D – dálkové ovládání, C – číselný kód, T – tajný spínač a Y pro výsledek logické operace). Můžeme také použít zjednodušeného zápisu DCT = Y. Opět nebudeme znaménko · číst jako „kráť“, ale jako **a** popř. i.

V předchozích příkladech jsme se nezmínili o té nejjednodušší logické funkci, kterou je **logická negace**. Přes svou jednoduchost je používána velice často. Na rozdíl od předešlých dvou funkcí pracuje negace pouze s jednou proměnnou. Výsledkem funkce je opačná hodnota. Tedy, má-li proměnná, např. A, hodnotu 0 (A = 0), pak výsledkem negace bude 1 a naopak, bude-li A = 1, výsledkem negace bude 0. Logická negace má značku **NOT** a značíme ji pruhem nad proměnnou (\bar{A}). Všechny tři funkce jsou přehledně shrnuty v tabulkách 3 až 5.

Logická negace, logický součet a logický součin tvoří tzv. úplný systém logických funkcí. Co to znamená? V praxi obvykle potřebujeme řešit komplikovanější situace než jen „pokud A nebo B, pak Y“ a podobné. Představte si například situaci, kdy bychom pravý sloupec tab. 2 přepsali po rádcích hodnotami Y = 0, 0, 0, 1, 1, 1, 1. To by odpovídalo situaci, kdy k dezaktivaci alarmu postačí buď jen dálkové ovládání nebo zadání správného číselného kódu spolu se stisknutím tajného spínače. Později si ukážeme, že bychom takovou situaci zvládli hravě vyřešit s použitím logických obvodů, které zvládají pouze tři jmenované funkce, dokonce že bychom pomocí takových obvodů zvládli vyřešit jakkoli složitou logickou funkci.

Vít Špringl
(Pokračování příště)

Tab. 3. Pravdivostní tabulka funkce **logická negace (NOT)**

| A | Y = \bar{A} |
|---|---------------|
| 0 | 1 |
| 1 | 0 |

Tab. 4. Pravdivostní tabulka funkce **logický součin (AND)**

| A | B | Y = A · B |
|---|---|-----------|
| 0 | 0 | 0 |
| 0 | 1 | 0 |
| 1 | 0 | 0 |
| 1 | 1 | 1 |

Tab. 5. Pravdivostní tabulka funkce **logický součet (OR)**

| A | B | Y = A + B |
|---|---|-----------|
| 0 | 0 | 0 |
| 0 | 1 | 1 |
| 1 | 0 | 1 |
| 1 | 1 | 1 |

JEDNODUCHÁ ZAPOJENÍ PRO VOLNÝ ČAS

Jednoduchá řídící logika

Pro řízení technologických procesů, které se skládají z řady operací navazujících na sebe, potřebujeme tak uspořádanou řídící část, která umožní nastartovat další operaci teprve tehdy, byly-li splněny požadované parametry předchozího kroku. Např. ohřev je zapnut teprve tehdy, když dosáhla hladina ohřívané kapaliny požadované výše, další krok je nastartován až po dosažení potřebné teploty atd.

Takovouto řídící logiku lze použít nejen k řízení technologických nebo chemických procesů v průmyslu, ale známe ji jako tzv. programátor automatických praček v domácnosti a má celou řadu dalších využití, např. automatické řízení modelu železnice apod.

Prostředků k uvedenému řízení je celá řada. Od spínačů ovládaných krovkovým motorem (udrželo se do dnešních dob u již zmíněných praček) přes různá zapojení s klopními obvody a hradly až po jednoučelové IO a samořejmě mikroprocesory.

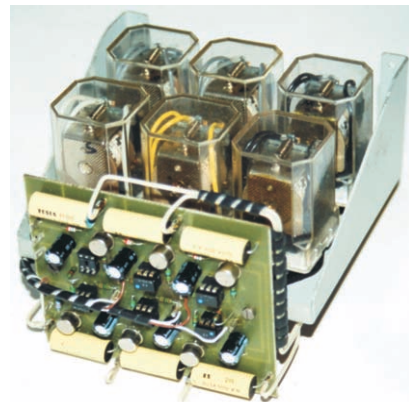
Pro amatérské použití nejsou tyto způsoby řízení právě nevhodnější. Aby bylo dosaženo spolehlivého provozu, vyžadují celou řadu podpůrných a doplňujících obvodů, které stavbu značně prodraží.

Nejlevnější a amatérsky nejsnáze zhodnotitelné je zapojení řídící logiky s tyristory podle obr. 1. Fyzikálních vlastností této poměrně málo používané polovodičové součástky je zde vyu-

žito dvakrát - tyristor je použit jednak jako paměťový prvek a současně jako výkonový člen, schopný vybudit i robustní průmyslové relé, případně elektromagnetický ventil.

Zapojení je velmi jednoduché, a protože pracuje s „vysokým“ napětím (24 V), je necitlivé na jakákoli rušení s výjimkou výpadku sítě.

Po zapnutí napájecího napětí nebo po vynulování vypínačem tlačítkem T11 (Stop) v přívodu napájecího napětí žádny z tyristorů nevede. Tlačítkem T12 (Start) lze sepnout tyristor Ty1, jinak žádný optočlen nemůže sepnout návazný tyristor, protože kolektory optočlenů O1 až O6 jsou bez napětí. Potřebné napětí (asi 3 V) vznikne na rezistorech R1 až R6 v katodách tyristorů jen tehdy, protéká-li tyristorem proud. Teprve tehdy, až je Ty1 uveden do vodivého stavu, tj. po zapnutí první pracovní operace, získáme napětí na kolektoru optočlenu O1. Aktivaci O1 se přenese napětí na řídící elektrodu Ty2, který sepne. Současně je kladně nabítotu stranou připojen na zem komutační kondenzátor C1, takže na anodě předchozího tyristoru Ty1 je napětí opačné polarity. Anodový proud Ty1 klesá pod velikost I_H (I_H je přidržný proud tyristoru) a Ty1 vypíná (viz [1]). Aby komutační funkce byla spolehlivá, doporučuje se, aby použité tyristory, zejména pracujeme-li s kusy výprodejnými, měly stejné parametry - především dobu sepnutí t_{gt} a přidržný proud I_H . Je samozřejmé, že se startovacím tlačítkem T12

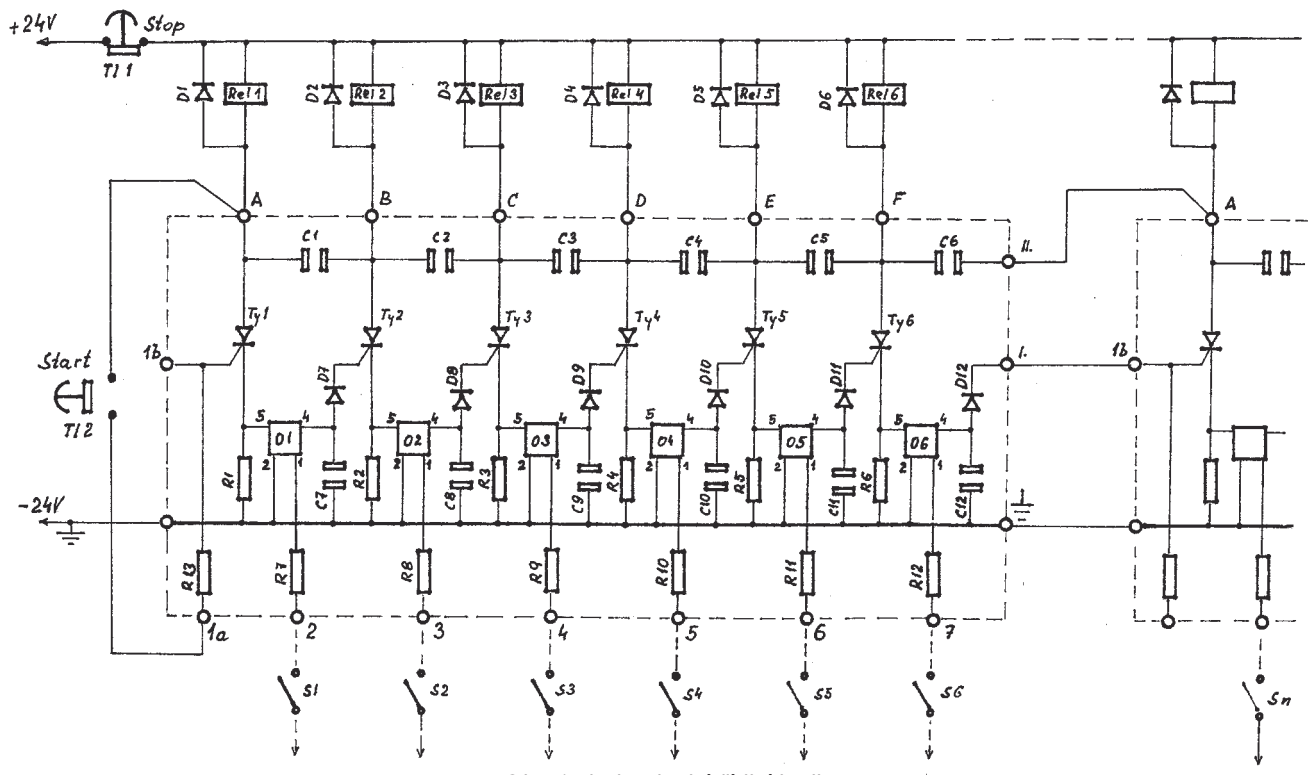


nemůže být již během provozu manipulováno, natož aby zůstalo trvale sepnuto.

Napájecí napětí 24 V nemusí být stabilizováno a postačí jeho alespoň základní filtrace, aby v sedlech mezi usměrněnými půlvlnami napětí neklešlo pod úroveň, kdy při dané zátěži proud klesne pod velikost I_H , v tomto případě pod 17 mA.

Zatížitelnost výstupů je určena kontakty použitých relé. Budou-li dostatečně dimenzovány, mohou přímo spínat spotřebiče, které se k danému kroku váží, tj. topení, motory apod. V prototypu bylo použito relé RP70/24. Jeho cívka odebírá proud 50 mA. Tomuto proudu odpovídají i odpory rezistorů v katodách tyristorů. Diody D1 až D6 jsou umístěny přímo na objímkách relé.

Tak, jako u každého automatického řízení, je nutné i zde jednotlivé kroky řízeného procesu vybavit snímači,



Obr. 1. Jednoduchá řídící logika

které sledují, že řízený proces skutečně proběhl. Jsou to různé koncové spínače, teploměry, hladinoměry atd., ale i třeba časové spínače. Od snímačů, které sledují dosažení požadované úrovni jednotlivých operací, je logika oddělena optočleny. Vstupy 2 až 7 lze tedy přizpůsobit pro libovolný výstup snímače, od kontaktu po bezkontaktní prvek nebo napěťový výstup. Logika je řízena (spínána) úrovní H. Při odpořech rezistorů R7 až R12 uvedených ve schématu odpovídá úroveň H stejnou napěti +24 V. Pro jinou napěťovou úroveň H lze vstupy upravit, případně i každý vstup zapojit individuálně podle použitých snímačů na jinou napěťovou úroveň. To lze provést přímo na desce s plošnými spoji. Sepnut může být vždy jen ten tyristor, který následuje po tyristoru právě aktivovaném. Jiné vstupy, i kdyby na nich byla spínací úroveň, se v daném okamžiku neuplatní.

Součástky řídící logiky jsou připájené na desce s jednostrannými plošnými spoji (obr. 2).

Logikou na jedné desce lze spínat šest relé, čili řídit šest pracovních kroků. Počet kroků je možné zvětšit sériovým připojením dalších desek, jak je patrné ze schématu. V opačném případě, vystačíme-li jen s jednou deskou, není nutné na ni osazovat součástky C6, O6, D12, C12 a R12.

Kromě standardních elektromagnetických relé lze použít i modernější bezkontaktní polovodičová relé (Solid State Relay). Ta však pracují na principu optočlenu, tedy s malým ovládacím proudem, jehož velikost je nebezpečně blízká velikosti přídržného proudu I_H . Ovládací proud lze zvětšit paralelním připojením návěstních žárovek nebo vhodných rezistorů k ovládacím svorkám bezkontaktních spínačů v anodách tyristorů, čímž se průtok proudu zvětší na předpokládaných 50 mA.

[1] Zíka, J.: Diody a tyristory v průmyslové elektronice. SNTL, Praha 1966.

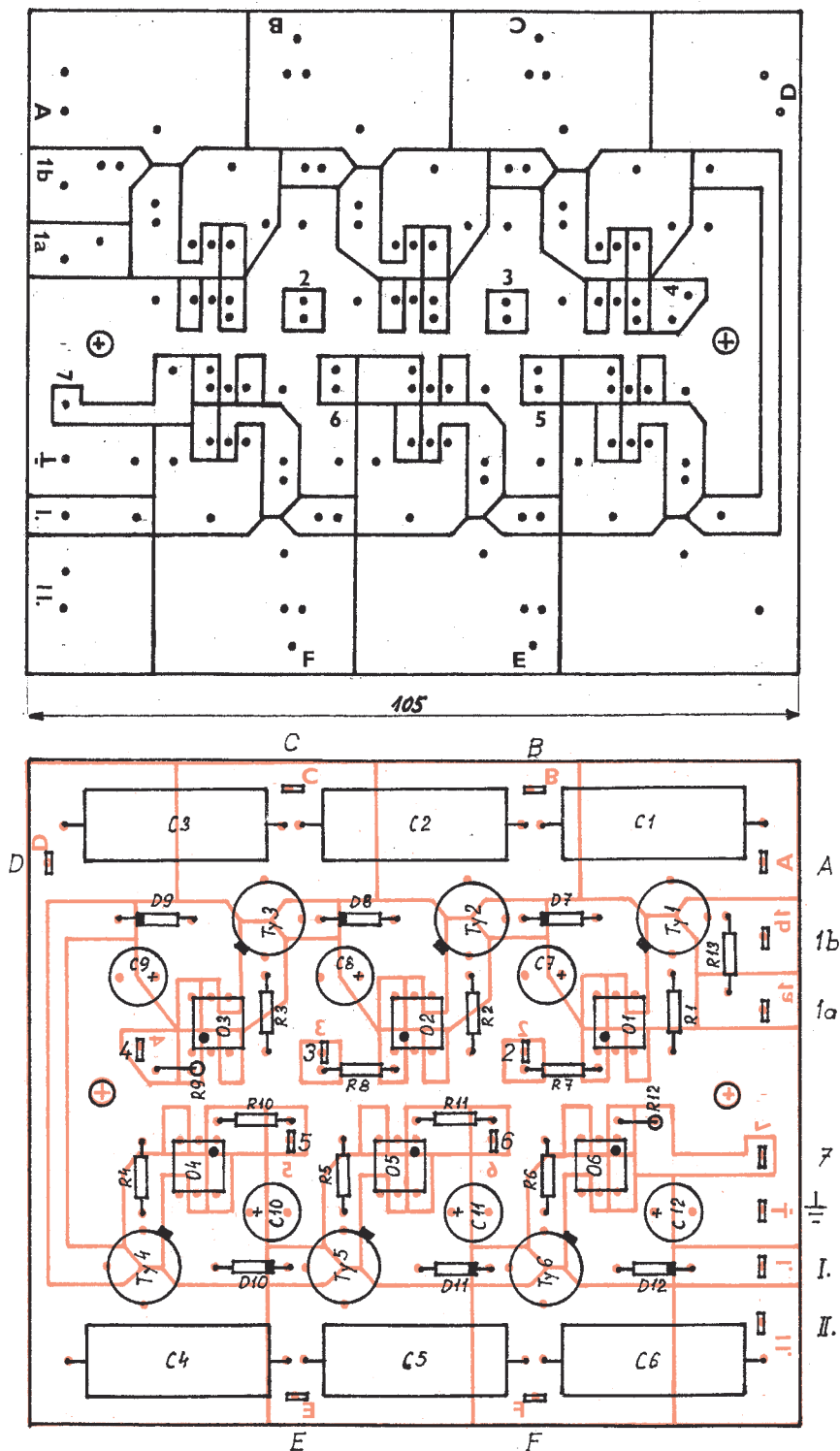
Seznam součástek

| | |
|--------------|------------------------------|
| R1 až R6 | 56 Ω, miniaturní |
| R7 až R13 | 1,2 kΩ, miniaturní, viz text |
| C1 až C6 | 3,3 μF/100 V, polyester. |
| C7 až C12 | 470 μF/6,3 V, rad. |
| D1 až D6 | 1N4003 (KY130) |
| D7 až D12 | 1N4148 (KA501) |
| Ty1 až Ty6 | KT501 |
| O1 až O6 | WK 16414 nebo ekvivalent |
| Rel1 až Rel6 | viz text |
| T11 | vypínačí tlačítko |
| T12 | spínačí tlačítko |
| S1 až Sn | kontrolní snímače, viz text |

František Louda

Zkoušeč koaxiálních kabelů

V novozélandském radioamatérském časopise *BREAK-IN* byl popsán jednoduchý a vtipný zkoušeč koaxiálních kabelů, jehož opravené a mírně upravené schéma je na obr. 3. Funkce zkoušeče byla v redakci ověřena a „do-



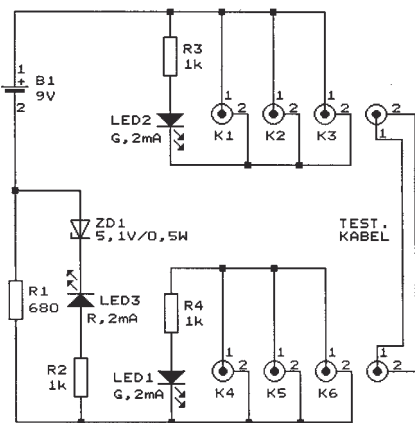
Obr. 2. Deska s plošnými spoji řídící logiky

laděna“ na vzorku realizovaném na nejpájivém kontaktním poli.

Testovaný kabel se jedním koncem zapojí do některého z konektorů K1 až K3 v horní řadě a druhým koncem do některého z konektorů K4 až K6 v dolní řadě. Je-li kabel v pořádku, svítí obě zelené LED1 a LED2 a červená LED3 je zhasnutá. Má-li kabel přerušenou vnitřní žílu, pak nesvítí LED1, při přerušeném stínicím pláště nesvítí LED2. Při zkratu mezi vnitřní žilou a stínicím pláštěm jsou zelené LED1 a LED2 zhasnuté a svítí červená LED3. Paralelně spojené konektory v horní i dolní řadě

(jejichž počet můžeme podle potřeby rozšířit) jsou různých typů, aby bylo možné zkoušet nejrůznější kably. Autor doporučuje konektory (většinou zásuvky) BNC, PL (UHF), IEC (televizní), N, F, CINCH apod.

Princip činnosti zkoušeče je prostý. Vnitřní žilou zkoušeného kabelu protéká proud z baterie B1 přes rezistory R4 a R1 do LED1, která tudíž svítí, stínicím pláštěm protéká proud přes R3 a R1 do LED2, která také svítí. Při přerušení některé z žil (nebo obou) se proudové okruhy přeruší a příslušná LED1 nebo LED2 (nebo obě) zhasnou.



Obr. 3. Zkoušeč koaxiálních kabelů

Pokud nejsou žíly v kabelu zkratovány, je ve všech případech díky odpovědi dílu s rezistory R1, R3, R4 na rezistoru R1 napětí nejvýše asi 4 V, takže LED3, před kterou je předřazena Zenerova dioda ZD1 se Zenerovým napětím 5,1 V, je zhasnutá.

Při zkratu mezi žilami testovaného kabelu proud obchází zkratem okruhy diod LED1 i LED2, které proto nesvítí. Díky zkratu v kabelu je kladný pól baterie B1 přímo propojen s dolním vývodem rezistoru R1 a na rezistoru R1 i na řetězci součástek ZD1, LED3 a R2 leží plné napětí baterie 9 V. Zenerova dioda ZD1 se otevře a červená LED3 svítí.

Zkoušeč správně pracuje v rozmezí napájecího napětí 7 až 10 V, k jeho napájení je vhodné použít destičkovou baterii 9 V nebo síťový adaptér se stabilizovaným výstupním napětím. Při testování dobrého kabelu je napájecí proud asi 6 mA, při testování zkratovaného kabelu teče napájecí proud asi 15 mA. Napájení se automaticky přeruší odpojením testovaného kabelu.

Všechny použité rezistory jsou miniaturní, všechny LED1, LED2 (zelené) i LED3 (červená) jsou difuzní o průměru 3 nebo 5 mm a jsou tzv. dvoumilampérové, tj. s velkou účinností, které zřetelně svítí už při proudu 2 mA. Zkoušečka je vestavěna do ploché krabičky z plastické hmoty, na jejíž horní stěnu jsou umístěny LED a konektory.

BREAK-IN, listopad-prosinec 2001

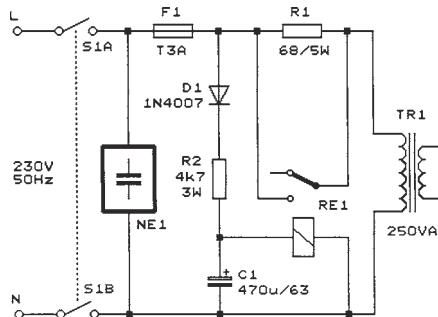
Obvod měkkého startu

Při zapnutí síťového napětí do primárního vinutí většího síťového transformátoru (o příkonu stovek VA a více) v napájecím zdroji je počáteční proud odebíraný ze sítě mnohonásobně větší než ustálený proud. Proudový náraz při zapnutí transformátoru je způsoben magnetizací jádra transformátoru a nabíjením vyhlazovacích kondenzátorů zdroje a může vadit funkci jiných přístrojů, případně může i „vyhodit“ jističe.

Aby se předešlo problémům způsobeným proudovým nárazem, můžeme síťový zdroj s větším transformátorem doplnit obvodem měkkého startu, který omezí nárazový proud odebíraný ze sítě při zapnutí zdroje na přijatelnou velikost.

Schéma obvodu měkkého startu, dimenzovaného pro síťový transformátor TR1 o příkonu 250 VA, je na obr. 4. Při zapnutí zdroje je do série se síťovým vinutím transformátoru zapojen rezistor R1, který omezuje počáteční proud odebíraný ze sítě na méně než dvojnásobek ustáleného proudu. Po asi 0,5 až 1 s od zapnutí zdroje, když již odezní přechodné děje, se R1 zkratuje kontaktem relé RE1 a zdroj přejde do normálního pracovního režimu. Proudový náraz při sepnutí kontaktu relé již není velký, protože transformátor i vyhlazovací kondenzátory zdroje pracují v ustáleném stavu. Zpoždění přítahu relé by nemělo být delší než 1 s, protože na R1 se rozptyluje značný výkon (nárazově až 780 W) a při deletrajícím zatížení by se R1 mohl poškodit. Cívka relé RE1 je napájena síťovým napětím usměrněným diodou D1 a vyhlazeným kondenzátorem C1. Předřadný rezistor R2 zmenšuje usměrněné síťové napětí na velikost asi 24 V, potřebnou pro napájení cívky relé, a současně zpomaluje nabíjení C1 tak, aby relé přítáhlo s požadovaným zpožděním 0,5 až 1 s po zapnutí sítě. Přítomnost síťového napětí signalizuje indikační doutnavka NE1 s vestavěným předřadným rezistorem.

Po vypnutí síťového spínače S1 se C1 vybije přes cívku relé (asi za 1 až 2 s) a zdroj je připraven k dalšímu měkkému startu. Pokud bychom spínač S1



Obr. 4. Obvod měkkého startu

zapnuli okamžitě po předchozím vypnutí a neponechali čas na vybití C1, kontakt relé zkratuje rezistor R1 téměř okamžitě a zdroj nastartuje tvrdě se všemi důsledky.

Relé RE1 má kontakty dimenzované pro síťové napětí 230 V a pro proud odpovídající příkonu transformátoru (vyhoví např. pro jmenovitý proud 8 až 10 A). Jmenovité napětí cívky relé je 24 V. V původním prameni není uveden odpor cívky, ten se podle konstrukce relé obvykle pohybuje v rozmezí 1 až 2,5 kΩ. Proto je uvedený odpor rezistoru R2 pouze orientační a podle použitého relé jej upravíme tak, aby v ustáleném stavu bylo na cívce napětí přibližně 24 V. Po úpravě odporu rezistoru R2 zkontrolujeme výkonové zatížení rezistoru a případně zvolíme typ se zatížitelností větší, než jsou uvedené 3 W. Také zkontrolujeme dobu zpoždění přítahu relé a na požadovanou hodnotu 0,5 až 1 s ji upravíme změnou kapacity kondenzátoru C1. Je výhodné použít relé s co největším odporem cívky, aby výkon rozptylovaný rezistorem R2 byl co nejmenší. Pojistka F1 je tzv. pomalá, rezistory R1 i R2 jsou výkonové drátové.

RadCom, únor 2002

! Upozorňujeme !

Tématem časopisu **Konstrukční elektronika A Radio** 1/2003, který vychází současně s tímto číslem PE, je přehled a popis vlastností nejpopulárnějších mikrokontrolérů, dostupných na našem trhu (Atmel, Texas Instruments, STMicroelectronics), a dále „Zajímavá a praktická zapojení“.

Elektrolyte

Klinik und Labor

Zweite, erweiterte Auflage

W.-R. Külpmann
H.-K. Stummvoll
P. Lehmann

INFORMACE, INFORMACE ...

Na tomto místě vás pravidelně informujeme o nabídce knihovny Starman Bohemia, Konviktská 24, 110 00 Praha 1, tel.: 224 239 684, fax: 224 231 933 (*Internet*: <http://www.starman.net>, *E-mail*: prague@starman.bohemia.net), v níž si lze předplatit jakékoli časopisy z USA a za-

koupit cokoli z velmi bohaté nabídky knih, vycházejících v USA, v Anglii, Holandsku a ve Springer Verlag (SRN) (časopisy i knihy nejen elektrotechnické, elektronické či počítačové - několik set titulů) - pro stálé zákazníky sleva až 14 %.

Knihu **Elektrolyte** s podtitulem Klinik und Labor, jejíž autory jsou W. R. Külpmann, H. K. Stummvoll, P. Lehmann, vydalo v roce 1997 nakladatelství Springer-Verlag.

Knihu je určena pro širokou lékařskou veřejnost a zabývá se tělními tekutinami. V prvních kapitolách shrnuje současný stav diagnózy a terapie poruch chemického složení tělních tekutin, v dalších kapitolách se zabývá metodami analýzy těchto tekutin. Díky svému tématu je kniha zajímavá i pro elektrotechniky.

Knihu má 165 stran textu s obrázky, formát A5, měkkou obálku a v ČR stojí 921,- Kč.

Vlhkoměr a teploměr bez kalibrace

Ing. Radek Václavík, OK2XDX

Při stavbě přístrojů měřících nelineární veličiny bývá největším problémem kalibrace. Dostupná čidla mají sice požadovanou přesnost, ale jsou buď nelineární, nebo jsou výstupní hodnoty stejnospěrně posunuty. Také je velmi složité sehnat profesionální přístroj, podle kterého by bylo možné postavený kus nakalibrovat.

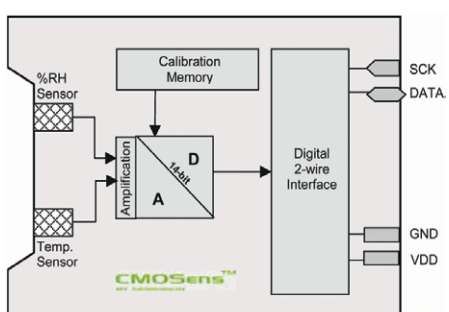
Měření teploty patří mezi jednodušší příklady, protože přesný teploměr lze sehnat poměrně snadno. Složitější kalibrace je například u atmosférického tlaku, ale zde se je možné využít pravidelných hlášení zpráv o počasí. Mezi složité kalibrace patří například kalibrace vlhkostního čidla, kdy je poměrně těžké sehnat přesný vlhkometr pro porovnání či vyrobit prostředí s definovanou vlhkostí.

Popsaný přístroj umožňuje měření teploty a vlhkosti bez nutnosti kalibrace. Základem je inteligentní čidlo firmy Sensirion SHT11. Jeho blokové schéma je na obr. 1. Na jednom čipu jsou umístěny jak vlastní senzory (relativní vlhkost a teplota), tak i digitální část. Její součástí je 14bitový analogově digitální převodník, kalibrační paměť a dvoudráťový interface.

Základní výhody čidla jsou

- Měří relativní vlhkost a teplotu.
- Možnost výpočtu rosného bodu.
- Plně kalibrováno, sériový výstup.
- Nevyžaduje další externí součástky.
- Velmi malá spotřeba.
- Pouzdro pro povrchovou montáž.
- Výborná dlouhodobá stabilita.
- Malé rozměry.
- Automatický režim snížené spotřeby.

Každý senzor je kalibrován ve vlhkostní komoře a kalibrační koeficienty jsou uloženy v OTP paměti. Tyto koeficienty jsou použity interně během měření pro přepočítání údajů ze senzorů. Malé rozměry a jednoduchá komunikace přes 2vodičovou sběrnici pak umožňují jednoduchou aplikaci senzoru v automobilovém průmyslu, průmys-



Obr. 1. Blokové schéma čidla SHT11

lovém měření, lékařských přístrojích, vytápění, klimatizaci apod.

Základní technické údaje čidla

Měření vlhkosti:

Rozlišení: typ. 0,03 % RH.
Opakovatelnost: ±0,1 % RH.
Rozsah měření: 0 až 100 % RH.

Měření teploty:

Rozlišení: 0,01 °C.
Opakovatelnost: ±0,1 °C.
Rozsah měření: -40 až 123,8 °C.

Napájecí napětí: 2,4 až 5,5 V.
Odběr proudu: 550 µA (měření),
28 µA (průměrování),
0,3 µA (sleep).

Převod digitálních hodnot na fyzikální hodnoty

Pro kompenzaci nelinearity senzoru výrobce doporučuje použít tento vztah pro výpočet relativní vlhkosti:

$$RH_{\text{lineární}} = c_1 + c_2 \cdot SO_{RH} + c_3 \cdot SO_{RH}^2$$

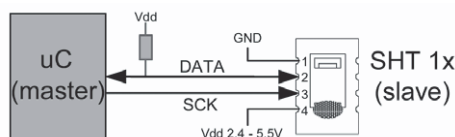
kde SO_{RH} je hodnota RH přečtená z čidla a konstanty se určují z této tabulky:

| c_1 | c_2 | c_3 |
|------------------|-------|---------|
| 12 bit SO_{RH} | -4 | 0,0405 |
| 14 bit SO_{RH} | -4 | -2,8E-6 |
| | 0,648 | -7,2E-4 |

Pro teploty odlišné od 25 °C je vhodné relativní vlhkost dále kompenzovat podle vztahu:

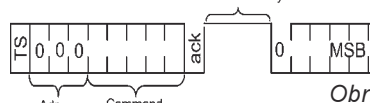
$$RH_{\text{správny}} = (T_c - 25) \cdot (t_1 + t_2 \cdot SO_{RH}) + RH_{\text{lineární}}$$

kde $t_1 = 0,01$; $t_2 = 0,000008$ ($t_2 = 0,00128$ pro 8bitový SO_{RH})

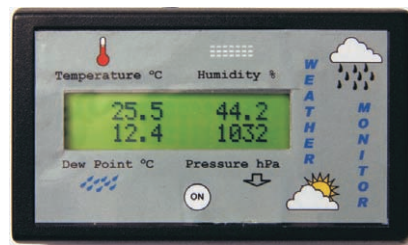


Obr. 2. Základní zapojení senzoru

wait for data ready



Obr. 3. Komunikace se senzorem



Teplotní senzor je více lineární, takže i výpočet je jednodušší:

$$\text{Teplota} = d_1 + d_2 \cdot SO_T$$

Kde koeficienty d_1 a d_2 :

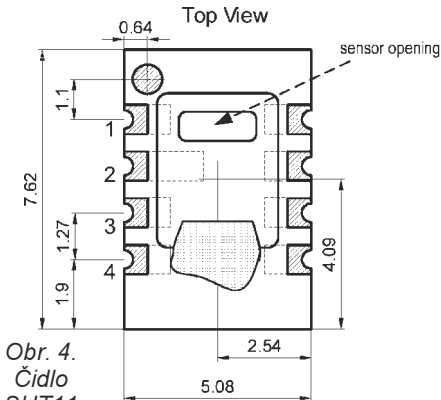
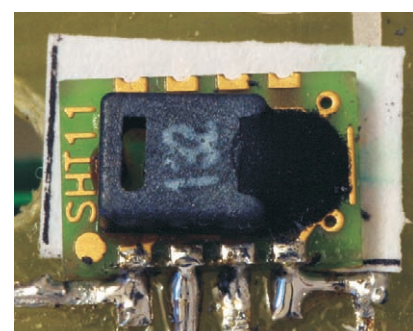
| SO_T | d_1 | d_2 |
|-----------|-------|--------|
| 14 bit 5V | -40 | 0,01 |
| 12 bit 5V | -40 | 0,04 |
| 14 bit 3V | -38,4 | 0,0098 |
| 12 bit 3V | -38,4 | 0,0392 |

Se znalostí teploty a relativní vlhkosti se dá snadno vypočítat i rosný bod (DP). Zjednodušený vzorec je:

$$\text{LogEW} = 0,66077 + 7,5 \cdot T/(237,3 + T) +$$

$$+ (\log_{10}(RH) - 2)$$

$$DP = ((0,66077 - \log EW) \cdot 237,3) / (\log EW - 8,16077)$$



Obr. 4.
Čidlo
SHT11

Příklad: $RH = 10\%$; $T = 25^\circ C$...
... $EW = 23,7465$; $DP = -8,69^\circ C$

Vlastní zapojení senzoru v aplikaci je velmi jednoduché - viz obr. 2. Mezi vývody 1 a 4 se zapojí napájecí napětí 2,4 až 5,5 V s blokovacím kondenzátorem 100 nF. Poté senzor potřebuje 11 ms pro „probuzení“ z režimu „sleep“.

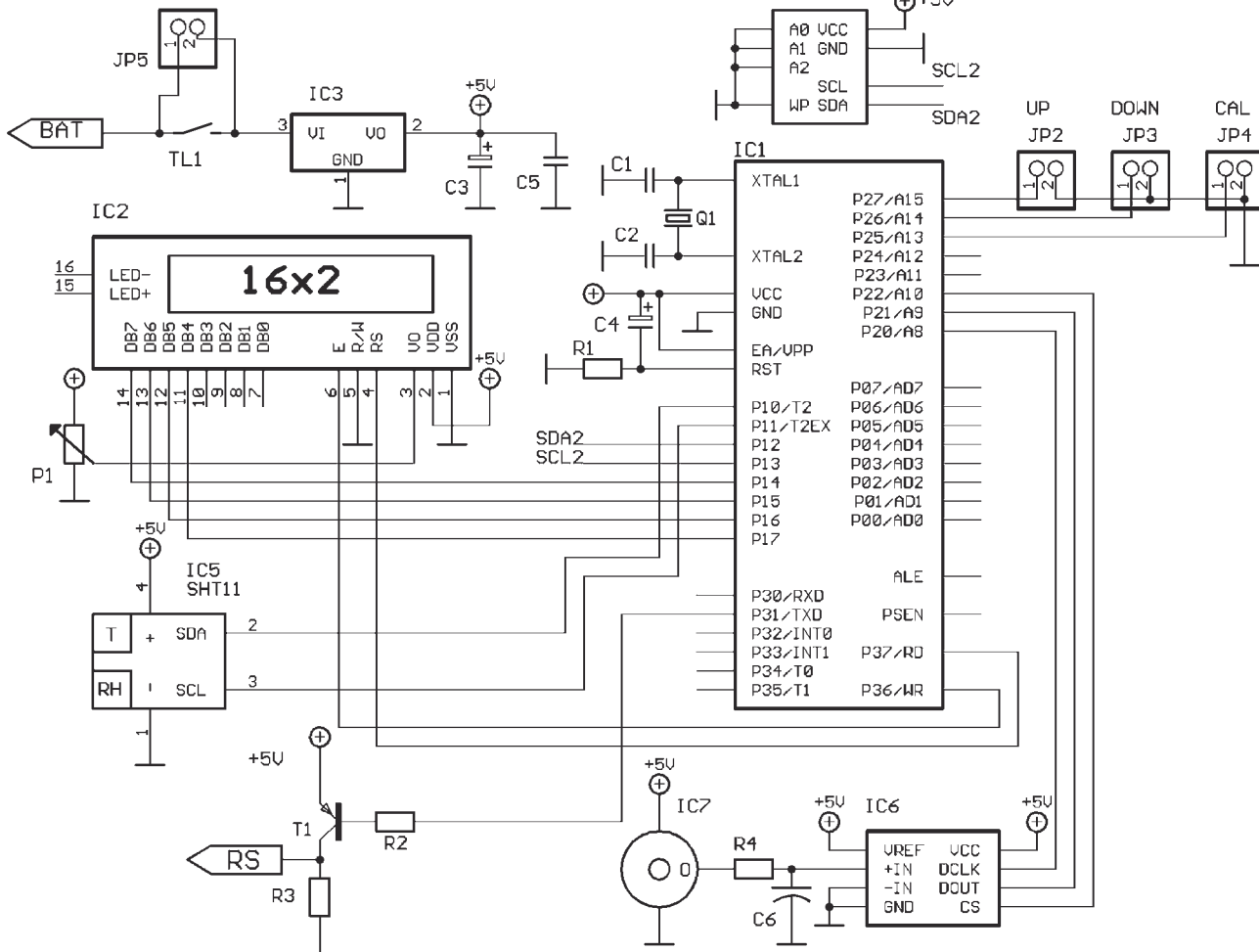
Použité pouzdro je poměrně specifické, což odpovídá charakteru součástky. Jeho výkres a fotografie je na obr. 4.

Komunikace se senzorem probíhá po dvouvodičové sběrnici - viz obr. 3 a je podobná komunikaci po sběrnici I²C. Po startovací podmínce následuje příkaz podle tabulky:

| Příkaz | Kód | Popis |
|--------------------------|-------------|--|
| Rezervováno | 0000x | |
| Měření teploty | 00011 | Měří teplotu |
| Měření vlhkosti | 00101 | Měří vlhkost |
| Čtení status registru | 00111 | Přístup do status registru |
| Zápis do status registru | 00110 | Přístup do status registru |
| Rezervováno | 0101x-1110x | |
| Soft reset | 11110 | Nuluje čip, nastaví registry na základní hodnoty, nutno počkat 11 ms s dalším příkazem |

Status registr umožnuje využít několika dalších funkcí integrovaných do čidla, viz tab.

Obr. 5. Schéma zapojení



Výpočet kontrolního součtu CRC-8

Pro kontrolu správnosti načtených dat je využíván polynomální CRC (Cyclic Redundancy Check): $x^8 + x^5 + x^4$. Metod výpočtu je několik. Aplikační zpráva výrobce zmiňuje metody 2, bitovou a bajtovou. Bitová spočívá v online výpočtu pomocí bitových operací (vhodné pro asembler). Bajtová využívá 256 bajtů dlouhé vyhledávací tabulky (look-up table).

Tolik citace „datasheetu“ výrobce.

Zapojení

Vlastní zapojení přístroje je na obr. 5. Čidlo je připojeno na jeden z portů mikroprocesoru IC1 AT89C52, který zajišťuje načítání dat i další potřebné výpočty. Data jsou zobrazována na displeji IC2 2x 16 znaků. Přístroj je koncipován jako ruční, kdy se předpokládá napájení z baterií. V takovýchto případech stačí mít údaj na displeji pár sekund, než jej stihneme přečíst. Proto jsem zvolil jednoduchou metodu ovládání, kdy tlačítko TL1 připojuje napájení celému zařízení. Během této doby se uskuteční měření a vypočítané údaje jsou zobrazeny na displeji. Samozřejmě při rozpojeném tlačítku má zařízení nulový odber.

Mikroprocesor je zapojen dle doporučení výrobce a je časován krystalem

| Bit | Typ | Popis | Výchozí hodnota |
|-----|-----|------------------------|-----------------|
| 7 | | rezervovaný | 0 |
| 6 | R | End of Life | X |
| 5 | | rezervovaný | 0 |
| 4 | | rezervovaný | 0 |
| 3 | | nepoužívat | 0 |
| 2 | RW | vyhřívání | 0 |
| 1 | RW | kalibrace před měřením | 0 |
| 0 | RW | rozlišení měření | 0 |

- Vyhřívání: tato funkce zvýší teplotu čipu o 5 °C při růstu spotřeby o 8 mA (5 V) a může být například využita pro kontrolu správné funkce teplotního senzoru, případně může zabránit kondenzaci vlhkosti v prostředí s vysokou vzdušnou vlhkostí.

- End Of Life: tento bit status registru detekuje pokles napájecího napětí pod 2,45 V s přesností ±0,05 V.

- Kalibrace před měřením: pro zrychlení měření je možné vypnout přehrání kalibračních dat z paměti OTP do pracovní paměti. Měření tak trvá o 8 ms méně. Kalibrační data jsou do pracovní paměti přehrána před každým měřením z důvodu jejich možného poškození přepětím či ESD.

- Rozlišení měření: základní rozlišení měření 14 bitů (teplota) a 12 bitů (vlhkost) může být redukováno na 12 a 8 bitů. Toho se dá využít při potřebě extrémně rychlého měření, či při náročích na malou spotřebu.

Obr. 5. Schéma zapojení

IC4

+5V

SCL2
SDA2

UP
JP2

DOWN
JP3

CAL
JP4

IC1

XTAL1

XTAL2

VCC

GND

EA/UPP

RST

P27/A15

P26/A14

P25/A13

P24/A12

P23/A11

P22/A10

P21/A9

P20/A8

P07/AD7

P06/AD6

P05/AD5

P04/AD4

P03/AD3

P02/AD2

P01/AD1

P00/AD0

P30/RXD

P31/TXD

P32/INT0

P33/INT1

P34/T0

P35/T1

ALE

PSEN

P37/RD

P36/WR

IC6

UREF

+IN

-IN

DOUT

CS

GND

11,0592 MHz. Tato hodnota je optimální pro generování standardních rychlostí pro přenos na RS 232. T1 je jednoduchý převodník TTL > RS 232, který se osvědčil již u mého výškoměru.

S displejem procesor komunikuje po 4vodičové sběrnici. Samozřejmě lze využít všech vývodů procesoru a použít 8 bitů pro komunikaci, avšak snažil jsem se použít již hotové a odzkoušené ovládací rutiny. P1 nastavuje jas displeje. Můžete použít libovolný typ displeje se standardním řadičem. Já jsem osadil kus, který jsem kupil na www.hw.cz za 150 Kč. Byl sice použitý, ale je to průmyslový typ s výborným pozorovacím úhlem.

Již vlastní čidlo ve mne vzbuzovalo myšlenku postavit kompletní meteostanici. Na to bohužel nemám čas, ale přístroj jsem rozšířil alespoň o měření tlaku. Použil jsem 12bitový převodník od Texas Instruments ADS7822, protože jsem měl pár vzorků doma. Tento převodník komunikuje s mikroprocesorem po 3vodičové sběrnici. Tlakové čidlo IC7 je typu MPX4115A. R4 a C6 tvoří dolní propust pro filtraci šumu. Ta je velmi důležitá, viz aplikační zpráva výrobce. Další digitální filtrace probíhá v mikroprocesoru. Stejná metoda měření tlaku je použita i v publikovaném výškoměru k měření výšky a vhodnou kombinací obou metod je možné dosáhnout rozlišení lepší než 1 m - viz [5].

Měření tlaku s sebou přináší mírnou komplikaci nutné kalibrace ofsetu čidla. Z tohoto důvodu jsem rozšířil zapojení o paměť EEPROM IC4, ve které jsou kalibrační data uložena. Jumpery JP2 až JP4 slouží k volbě kalibračního módu a k nastavení správného tlaku.

Pro ty, kteří nechtějí investovat do tlakového čidla a převodníku, stačí propojit vývod 25 procesoru na zem a přístroj přeskočí měření tlaku. Pak není nutné osazovat ani IC4.

Napájení přístroje zajišťuje alkalic-ká baterie 6 V, jejíž napětí je stabilizováno regulátorem IC3 MC78LC50HT1. To je regulátor s malým úbytkem (220 mV při proudu 10 mA) v pouzdře SOT-89 od firmy ON Semiconductor. Napětí z baterie je na regulátor přivedeno přes tlačítko TL1. Samozřejmostí je možnost použít externí napájení 5 V. Kapacita baterie je kolem 100 mA, což při odběru zařízení kolem 15 mA vystačí na asi 7 hodin nepřetržitého provozu. Při průměrné délce měření 5 s to představuje asi 4800 měření.

Pokud se vám nepodaří tento regulátor sehnat, lze ho nahradit obdobným typem jiného výrobce. V nouzí je možné použít 2 sériově zapojené diody, avšak pak je nutné počítat s nepřesnou hod-

```
void s_transstart(void)
// generuje startovací podminku
//
// DDATA: _____ | _____ | _____
// SCK : _____ | _____ | _____ | _____
{
    DDATA=1; SCK=0; // výchozí podminka
    _nop_(); // krátké zpoždění
    SCK=1;
    _nop_();
    DDATA=0;
    _nop_();
    SCK=0;
    _nop_(); _nop_(); _nop_();
    SCK=1;
    _nop_();
    DDATA=1;
    _nop_();
    SCK=0;
}
```

Rutina pro přečtení jednoho bajtu ze sběrnice:

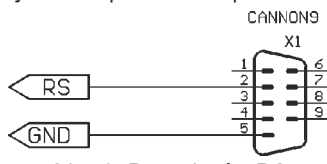
```
char s_read_byte(unsigned char ack)
// cte bajt ze sběrnice a dava ACK signal
{
    unsigned char i, val=0;
    DDATA=1; // uvolní datový pin
    for (i=0x80;i>0;i/=2) // rotující maskovací bit
    {
        SCK=1; // clk for bus
        if (DDATA) val=(val | i); // nacti bit
        SCK=0;
    }
    DDATA!=ack; // pokud je ACK = 1, dej DDATA pin do nuly =
    potvrzení ACK
    SCK=1; // 9. hodinový impuls pro aktivaci signálu ACK
    _nop_(); _nop_(); _nop_(); // puls cca 5 us
    SCK=0;
    DDATA=1; // uvolní datový pin
    return val;
}
```

Obdobně je zapsána i rutina pro zápis bajtu na sběrnici:

```
char s_write_byte(unsigned char Xvalue)
// zapise bajt na sběrnici a overi ACK
{
    unsigned char i, error=0;
    for (i=0x80;i>0;i/=2)
    {
        if (i & Xvalue) DDATA=1; // rotující maskovací bit
        else DDATA=0; // zapis 1 na sběrnici
        SCK=1; // zapis 0 na sběrnici
        _nop_(); _nop_(); _nop_(); // hodinový impuls
        SCK=0; // cca 5 us puls
    }
    DDATA=1; // uvolní datový pin
    SCK=1; // 9. puls pro ACK
    error=DDATA; // kontrola ACK (sensor stahne pin do 0
    SCK=0;
    return error; // error=1 pokud není ACK
}
```

Vlastní změření dat:

```
int s_measure(unsigned char mode)
// změří vlhkost/teplotu a nacte kontrolní součet
{
    unsigned error=0;
    unsigned int i;
    int Vysledek;
    s_transstart(); // startovací podminka
    switch(mode){ // posle příkaz do senzoru
        case TEMP : error+=s_write_byte(MEASURE_TEMP); break;
        case HUMI : error+=s_write_byte(MEASURE_HUMI); break;
        default : break;
    }
    for (i=0;i<65535;i++) if(DDATA==0) break; // čeká, než senzor dokončí měření
    if(DDATA) error+=1; // nebo nevypráší timeout 9~2 sec.)
    Vysledek = (s_read_byte(ACK) & 0xFF); // čte první byte (MSB)
    Vysledek = ((Vysledek << 8) + s_read_byte(ACK)); // čte druhý byte (LSB)
    checksum = s_read_byte(noACK); // přečte kontrolní součet
    return Vysledek;
}
```



Obr. 6. Propojení s PC

Přepočet hodnot z čidla na reálné veličiny:

```
/*
void calc_sth11(void)
{
// pocita teplotu [C] a vlhkost [%RH]
// vstup : rh (12 bit), t (14 bit)
// vystup: rh_true [%RH], t_C [C]
{
float C1 = -4.0;
float C2 = 0.0405;
float C3 = -0.0000028;
float T1 = -0.01;
float T2 = 0.00008;
float rh_lin; // rh_lin: Humidity linear

t_C=t*0.01 - 40; // vypocet teploty
rh_lin=C3*rh*rh + C2*rh + C1; // vypocet vlhkosti
rh_true=(t_C-25)*(T1+T2*rh)+rh_lin; // korekce na teplotu
}
```

Výpočet rosného bodu:

```
/*
float calc_dewpoint(float rh_true,float t)
{
float logEx,dew_point;

logEx=0.66077+7.5*t/(237.3+t)+(log10(rh_true)-2);
dew_point = (logEx - 0.66077)*237.3/(0.66077+7.5-logEx);

return dew_point;
}
```

notou měření tlaku. SHT11 tak citlivé na změny napájení není.

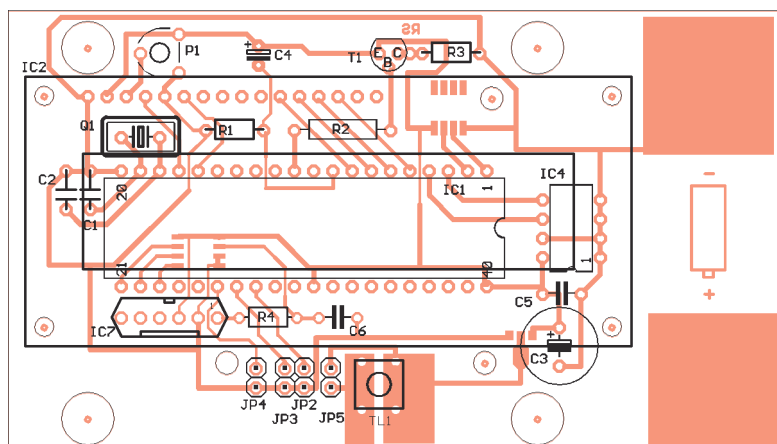
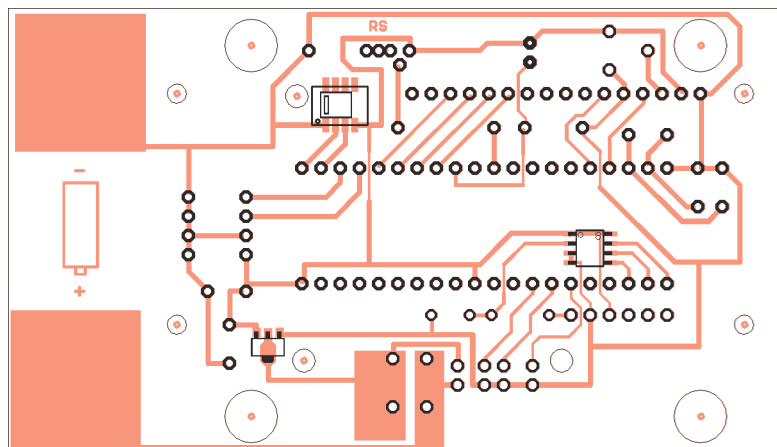
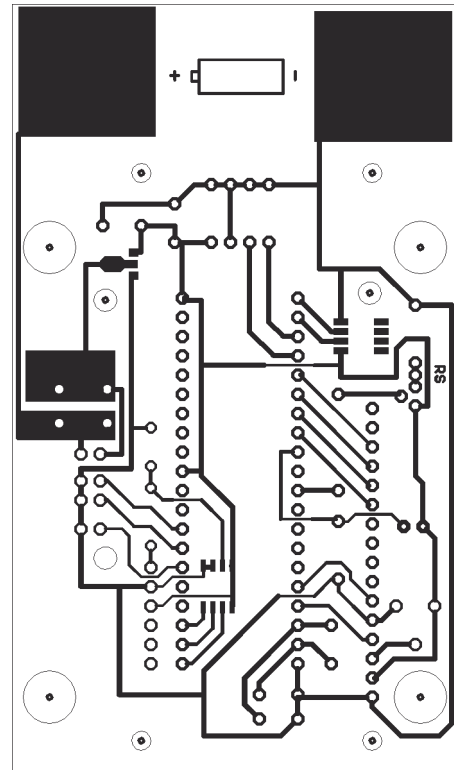
Pro zvětšení užitné hodnoty přístroje posílá mikroprocesor naměřená data i po sériové lince. Formát dat je 9600Bd 8N1. K propojení s počítacem stačí jednoduchý kabel podle obr. 6. Data jsou oddělena středníkem a jsou kopírovány displeje, tzn. včetně mezer.

Jak je u podobných zařízení zvykem, hardware je poměrně jednoduché a „know-how“ se skrývá v software mikroprocesoru. Vzhledem k výpočtu ve formátu s plovoucí desetinnou čárkou (float) jsem se opět rozhodl pro programování v jazyce C. Navíc výrobce čidla [2] publikoval kompletní rutiny pro komunikaci, které jsem modifikoval k obrazu svému.

Prvním příkladem může být startovací podmínka. Ta je jednoduchá a stejně snadno by se realizovala v asembleru (obr. 7).

Stavba a oživení

Celý přístroj je realizován na jednostranné desce s plošnými spoji - obr. 8. Pro mikroprocesor použijeme objímku, osadíme i další součástky. Displej je nutné propojit dutinkovou lištou či kouskem kabelu. Další mechanické detaily závisí na druhu použité krabičky, já opět čerpal z domácích zásob. Zvláštní pozornost je nutné věnovat zapojení čidla. Použití mikropáječky a minimálního množství cínu je hlavní zásada úspěchu. Pro jistotu podložíme čidlo kouskem papíru či jiného izolačního materiálu (obr. 4). U tlakového čidla je nutné zkrátit vývody tak, aby se vešlo do krabičky.



Obr. 8. Deska s plošnými spoji

Při oživení použijeme externí napájecí zdroj 6 V, který připojíme místo baterie. Odběr proudu nesmí přesahovat 15 mA. Pokud je vše v pořádku, do 3 s se musí na displeji objevit změněné hodnoty. Pokud se objeví až po asi 10 sekundách, je problém s komunikací

s čidlem (timeout). Doporučují zkонтrolovat jeho připájení. Pokud problémy přetrhávají, je nutné zkontovalovat napětí na vývodech procesoru, kmitočet oscilátoru apod.

Kalibrační mód tlaku se aktivuje zkratováním JP4 pomocí klasické pro-

pojky během zapnutí. Ponechte JP4 zkratován! Na displeji se zobrazí nápis „Pressure calibration“ a tlak 1013 hPa. Zkratováním spojek JP3 a JP2 nastavíme správný tlak (například 950 hPa) a rozpojíme JP4. Mikroprocesor si pře-počítá kalibrační konstanty, uloží je do paměti a zobrazí nápis OK! Po vypnutí a zapnutí je přístroj nachystán pro běžné použití. JP1 slouží k překlenutí spínacího tlačítka během oživování a kalibrace.

Závěr

Popsaný přístroj je velmi jednoduchý a jeho stavbu zvládne i začátečník. Spojuje výhody inteligentního čidla a jednoduchého mikroprocesoru s displejem LCD. Není nutné trápit se mícháním ledu s vodou pro kalibraci teploměru ani vlhkoměru. Samozřejmě lze dále rozšiřovat a doplnit o různé další funkce, jako jsou minima, maxima hodnot apod. To však nebylo účelem této konstrukce.

I takto má přístroj velmi široké uplatnění. Lze jej použít ke kontrole vlhkosti v počítačové místnosti, kanceláři, sklepníku, obytné místnosti, ve skladu, ve sklepě, knihovně apod. Všude tam, kde nadbytek či nedostatek vlhkosti může způsobit problém.

Veškeré podklady k výrobě jsou k dispozici na [1] zdarma pro nekomerční účely, včetně výkresů desky i řídicího programu. Komerční využití je možné pouze se svolením autora.

Čidlo lze koupit u firmy Farnell (asi 700 Kč), doporučuji také navštívit stránky výrobce [2]. Regulátor je možné získat zdarma na [3], převodník stejným způsobem na [6]. Displeje LCD lze velmi levně koupit na [4], ve výprodeji i za 150 Kč. Tlakové čidlo i naprogramovaný procesor si můžete objednat na [5] za 990 Kč a 150 Kč.

Program je možné také najít na www.aradio.cz

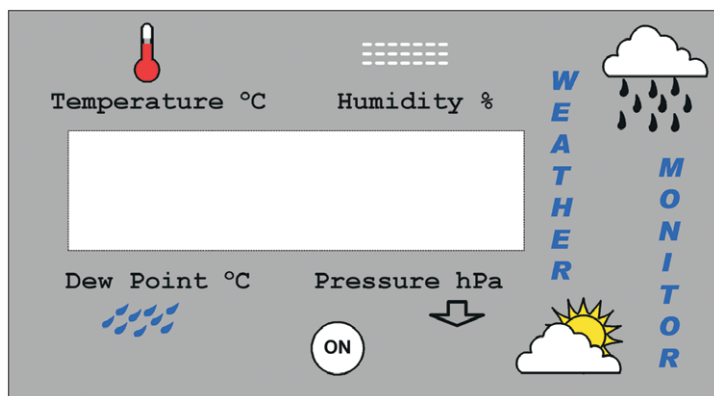
Možná někoho zarazí anglické nápis na krabičce či v programu. Většinu mých konstrukcí publikuju na své webové stránce a vždy dělám i anglickou verzi.

Literatura

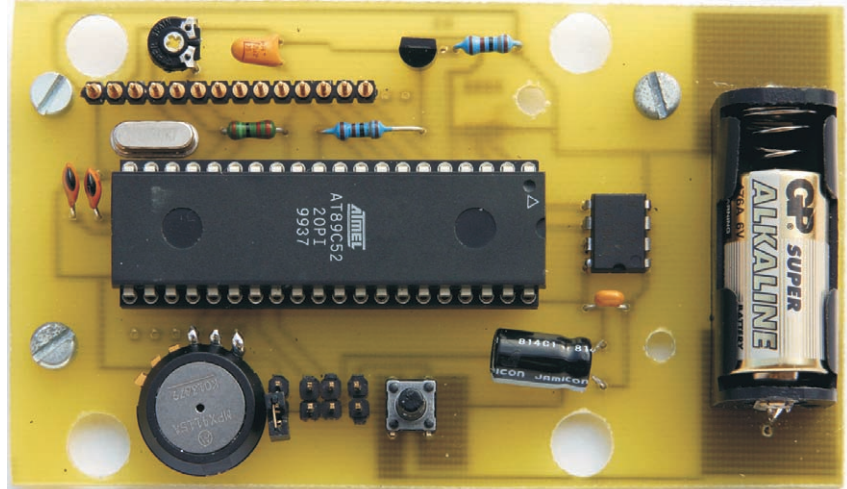
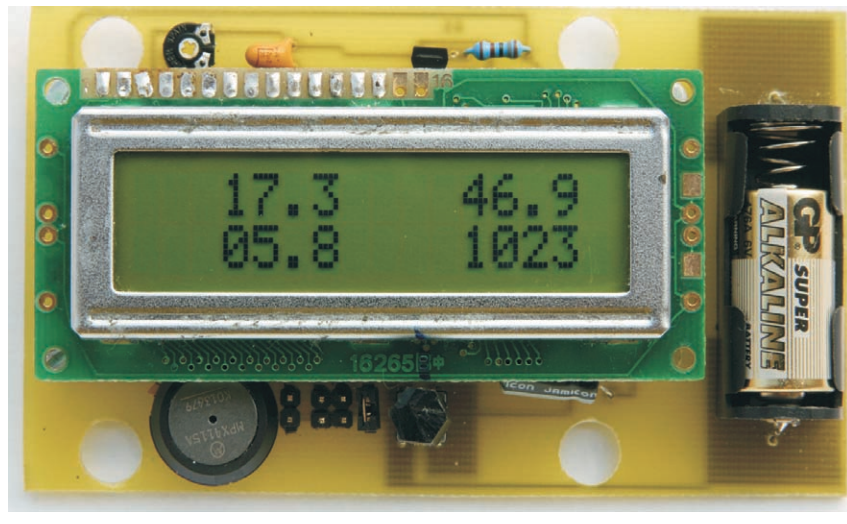
- [1] <http://www.qsl.net/ok2wdx>
- [2] <http://www.sensirion.ch>
- [3] <http://www.onsemi.com>
- [4] <http://shop.hw.cz>
- [5] <http://alti.wz.cz>
- [6] <http://www.ti.com>

Seznam součástek

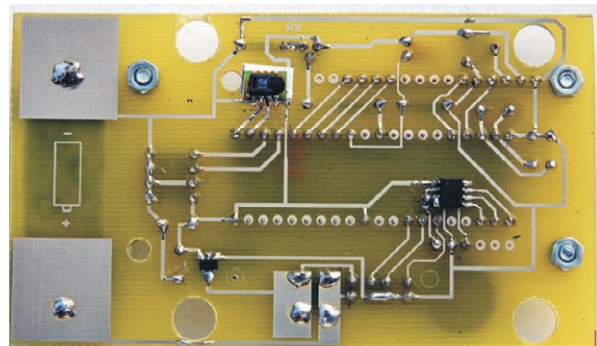
| | | | |
|------------------------------------|--------------|-----|---------------------|
| R1, | 8,2 kΩ | IC6 | ADS7822U (TI) |
| R2, R3, R4 | 2,2 kΩ | IC7 | MPX4115A (Motorola) |
| P1 | 10 kΩ, trimr | C1 | 33 pF |
| IC1 | AT89C52 | C2 | 33 pF |
| IC2 displej 2x16 standardní řadič | | C3 | 100 µF/6 V |
| IC3 MC78LC50HT1 (ON Semiconductor) | | C4 | 4,7 µF/6 V |
| IC4 | 24LC04 | C5 | 100 nF |
| IC5 SHT11 | (Sensirion) | C6 | 100 nF |
| | | Q1 | 11,0592 MHz |
| | | T1 | BC307 |
| | | TL1 | miniaturní tlačítko |



Obr. 9. Návrh čelního panelu 1 : 1



Obr. 10. Osazená deska



Obr. 11. Spodní strana desky

Samolepicí fólie v amatérské praxi aneb Z plastové krabičky stíněná

Před nedávnem jsem si postavil Generátor PAL podle AR A7/95. I když to nebylo z hlediska funkce přístroje nutné, chtěl jsem ho celý odstínit. Jednou z možností bylo natřít vnitřek plastového pouzdra elektrovodivým lakem. Nezdálo se mi to příliš profesionální, a tak jsem se rozhodl opět pro vodivou samolepicí fólii. Měděná páška z firmy Elchemco se mi pro tento účel zdála příliš drahá, a tak jsem po čase hledání zakoupil v hypermarketu OBI hliníkovou samolepicí fólii.

Technické parametry fólie (páska typ 8910)

Šířka pásky × délka: 50 mm × 5 m.
Průměr návinu: 76 mm.
Tloušťka hliníkové fólie: 0,08 mm.
Celková tloušťka pásky: 0,12 mm.
Síla potřebná k přetržení: 150 N/25 mm.
Adheze: 14 N/25 mm
(po 48 hodinách po nalepení při 23 °C).
Teplotní rozsah: -30 až +150 °C.
Zaručovaná skladatelnost: 12 měsíců.

Cena balení (šíře 50 mm v návinu 5 metrů) byla okolo 100 Kč. Na balení je uveden výrobce - firma Wilhelm Ritterath GmbH (<http://www.fix-o-moll.de>). Na krabičce, kromě čárového kódu EAN 4007219089013 a označení Art.-Nr 8901, nebyly uvedeny žádné užitečné údaje, ani technické parametry. Abyste mohli pásku při nákupu snadněji identifikovat, je balení na obr. 1.

Jak jsem pak pátráním zjistil, na český trh ji dodává výhradní distributor firma LESA SERVICE (<http://www.lesa-service.cz>). Je to však velkoobchod, takže musíte skutečně do OBI.

Vrstva lepidla (není vodivé) na bázi akrylátu je chráněna papírovou krycí páskou se silikonovým povrchem. Lze tedy dobře vystřihovat potřebné tvary a pásku sloupnout až těsně před použitím.

Měkkou hliníkovou fólii lze poměrně dobře pájet - tedy za použití speciálních kapalin nebo prostředků pro pájení hliníku. Ilustrační fotografie (obr. 2) dostatečně ukazuje bezproblémovost při aplikování fólie (vystřihování a vysekávání tvarů, tvarování, pájení, ...).

Díky této fólii nemusíte svůj přístroj nutně vestavět do kovové přístrojové skřínky, ale máte možnost větší konstrukční volnosti, což je u přenosných kapesních přístrojů nezanedbatelná výhoda.

Libor Kubica



Obr. 1. Hliníková fólie v obchodním balení

Měniče DC/DC pro aplikace s malým napětím

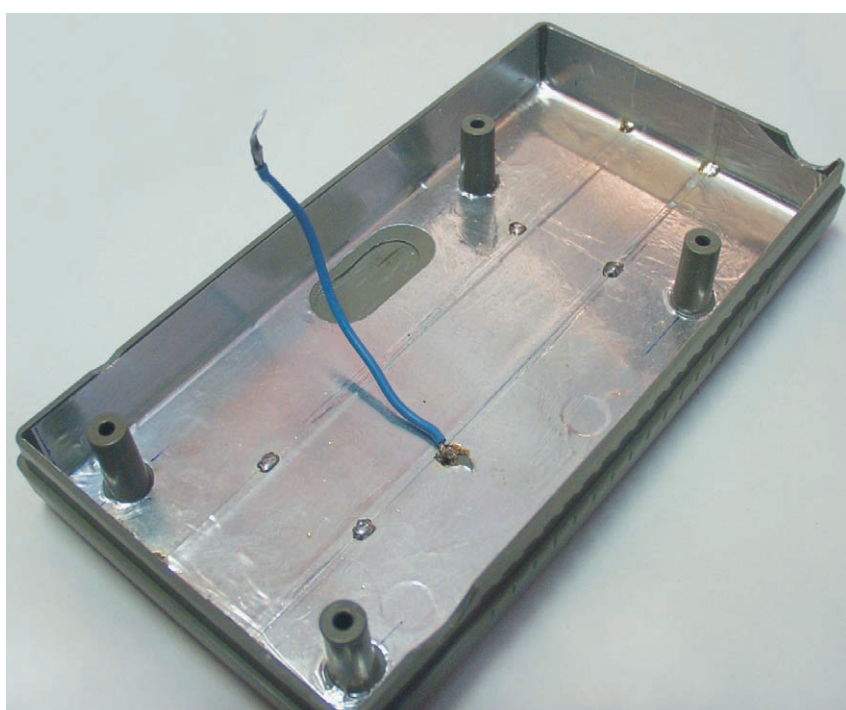
Trvalým požadavkem při řešení napájecích systémů stále rozšířenějších přenosných počítačů a dalších bateriově napájených přístrojů je vysoká účinnost, přesné napětí a malé zvlنění.

Právě těmto požadavkům odpovídá nová nabídka obvodů pro řízení napájení National Semiconductor. Tvoří ji řídící obvody pro spínané zdroje s indukčností LM2608, LM2614, LM2618 a zdroje s kondenzátory LM2788, LM2798.

První z uvedených jsou zvláště vhodné pro napájení vf a digitálních aplikací s účinností až 95 % a přesností $\pm 2\%$. Výstupní proud je až 400 mA. Výstupní napětí 1,8; 1,5; 1,3; 1,05 V lze volit zapojením vývodů, a tak odpadá externí dělič. LM2608 a LM2618 využívají při vyšší zátěži pulsní šířkovou modulaci, při malé pracuje LM2608 v lineárním módu a LM2618 s kmitočtovou modulací. LM2614 je určen pro napájení vf výkonových zesilovačů v mobilních telefonech.

Mezi novinkami jsou i obvody LM2788 (pouzdro MSOP-8) a LM2798 (MSOP-10) pro snižovací spínané zdroje s kondenzátory, které tedy nepotřebují žádné cívky. Počítá se vstupním napětím 2,8 až 5,5 V a výstupním 1,15; 1,8 a 2 V. Při vstupním napětí 3,3 V probíhají konverze s účinností mezi 80 a 90 %. Naprázdno odebírají tyto měniče jen asi 32 mA. Logickými příznakovými signály je nadřazený systém informován o tom, že vstupní a výstupní napětí je akceptovatelné.

Předpokládané použití je při napájení nízkonapěťových mikroprocesorů a obvodů v PC a jejich perifériích, např. USB paměťových systémech, mobilních telefonech, digitálních kamerech.



Obr. 2. Vnitřek plastového pouzdra vylepený hliníkovou samolepicí fólií

JH

RS232 data recorder

Ing. Pavel Hůla

VYBRALI JSME NA
OBÁLKU

Přístroj původně vznikl jako jednoúčelový doplněk speciálního měřicího přístroje a sloužil pro shromažďování naměřených dat a jejich pozdější přenos do vyhodnocovacího počítače. Postupem času se použití takového přístroje ukázalo velmi užitečné i při vývoji a ladění programů obsahujících řešení problematiky sériové komunikace jak ze strany počítače PC, tak i pro konstrukce zařízení s jednočipovým mikropočítačem. Původně byla rychlosť pevně nastavená na 9600 baudů, později jsem přístroj doplnil o možnost volby rychlosti komunikace na hodnoty v rozsahu od 300 do 19 200 baudů.

Charakteristická data

Kapacita vnitřní paměti: 32 kB.
Počet vstupů: 1.
Připojení vstupu a výstupu:
konektor Canon D-Sub 9.
Napájecí napětí:
6 V - 4x alkalický článek AA.
Proudový odběr: asi 15 mA.
Počet záznamů: max. 99, jinak do vycerpání maximální kapacity paměti.
Baudová rychlosť: Volitelná v rozsahu 300 až 19 200 baudů.
Komunikační protokol: RS232,
8 datových bitů, 1 stop bit, bez parity.
Rozměry: 90 x 110 x 40 mm.

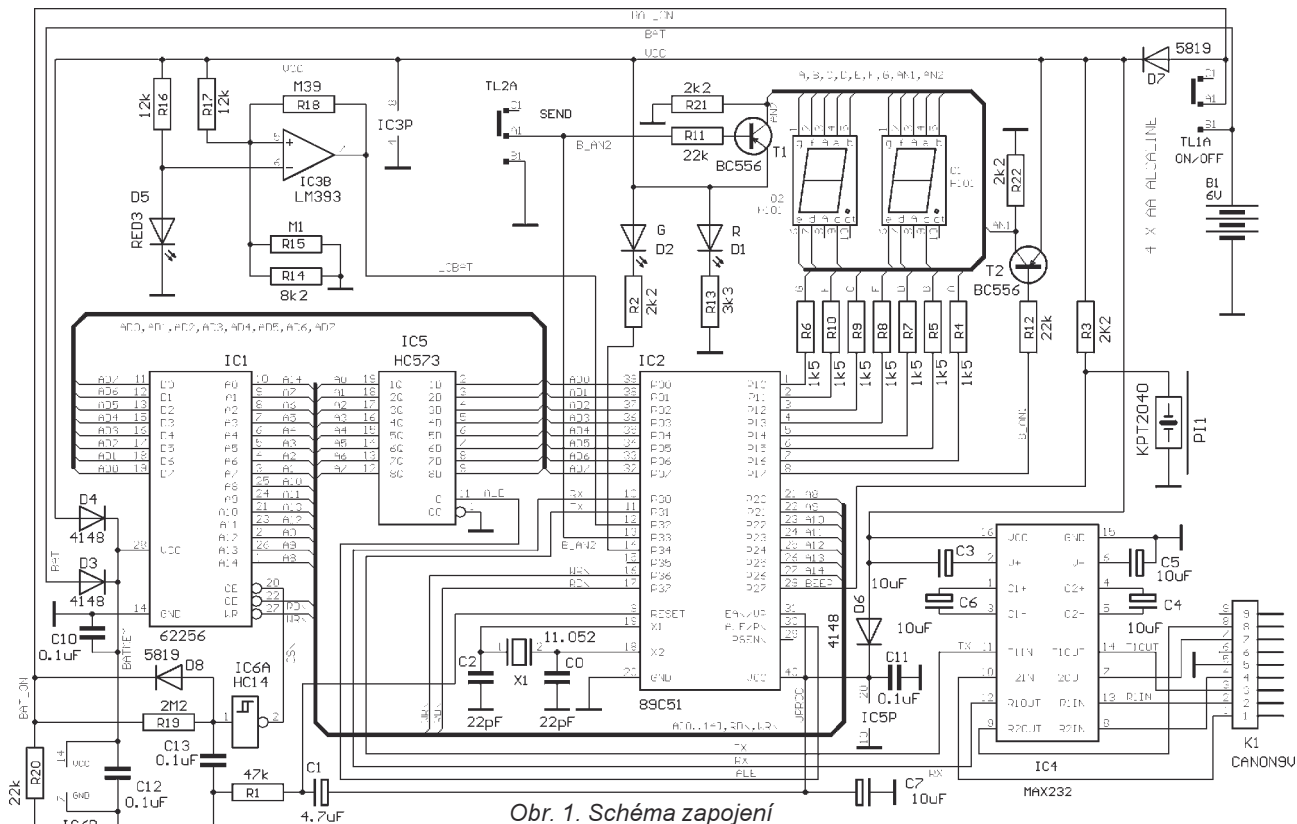
Princip funkce

Po zapnutí si mikropočítač přečte z paměti RAM nastavenou hodnotu

pro baudovou rychlosť a krátce ji zobrazí. Pak přečte hodnotu první volné adresy pro zápis dat a číslo nového bloku, které rovněž krátce zobrazí na displeji. Pak se přepne do klidového stavu, kdy je mikropočítač stále připraven přijímat přes UART data. Jakmile se data na vstupu objeví, přijímá je a průběžně je zapisuje do paměti RAM. Tato skutečnost je indikována rozsvícením zelené LED. Současně počítá čítačem adres již přijmuté byty. Přestanou-li data přicházet po dobu 400 ms nebo delší, vyhodnotí to jako konec bloku, v RAM přepíše nové hodnoty první volné adresy pro zápis a číslo příštího datového bloku, zhasne LED a vydá akustický signál. Pak přejde opět do klidového stavu a opět vyčkává na další data. Vyčerpá-li se během přijímání dat kapacita vnitřní paměti, pří-



jem se ukončí a zazní akustický signál. Blok, při jehož příjmu se vyčerpla paměť, se vymaze a adresa zapisovaných bloků se vrátí na předchozí pozici. Zapsaná data je možné krátkým stisknutím tlačítka opět reprodukovat. Před vlastní reproducí dat se nejprve na krátkou dobu na displeji rozsvítí číslo aktuálního datového bloku a pak trvale se vyšle jeho obsah. Průběh vysílání dat je rovněž indikován svitem zelené diody, ukončení vysílání dat bloku je označeno akustickým signálem. Jednotlivé bloky se přehrávají jeden po druhém v pořadí, jak byly zaznamenané. (Po posledním zaznamenaném



bloku se naadresuje opět první.) Dlouhý stisk tlačítka TL1 způsobí vynulování paměti (před vlastním vynulováním zazní ještě varovný akustický signál, kdy je možné ještě uvolněním tlačítka akci zrušit). Stiskneme-li toto tlačítko během zapínání napájecího napětí tlačítkem TL1, dostaneme se do bloku volby baudové rychlosti, kdy krátkými stisky TL2 inkrementujeme čítač přepínače rychlosti (jeho hodnota v rozsahu 1 až 7 pro baudové rychlosti 300 až 19 200 baud/s je indikovaná na displeji). Delším přidržením TL2 se zapíše údaj do RAM a opustí se blok nastavování.

Červená dioda svým svitem indikuje zapnutí napájecího napětí. Při pokusu o přehrání zaznamenaných dat při vynulované paměti zazní akustický signál - pět krátkých pípnutí a na displeji se na dobu asi 2 s rozsvítí všechny vodovavné segmenty.

Součástí přístroje je i obvod kontroly stavu napájecí baterie, který při každém zapnutí zjišťuje velikost napájecího napětí a při poklesu pod mezní hodnotu (nastavitelnou odporným děličem podle druhu použitých článků napájecí baterie) indikuje tento stav akustickým signálem a varovným zobrazením symbolu „LO“ na dobu asi 3 s.

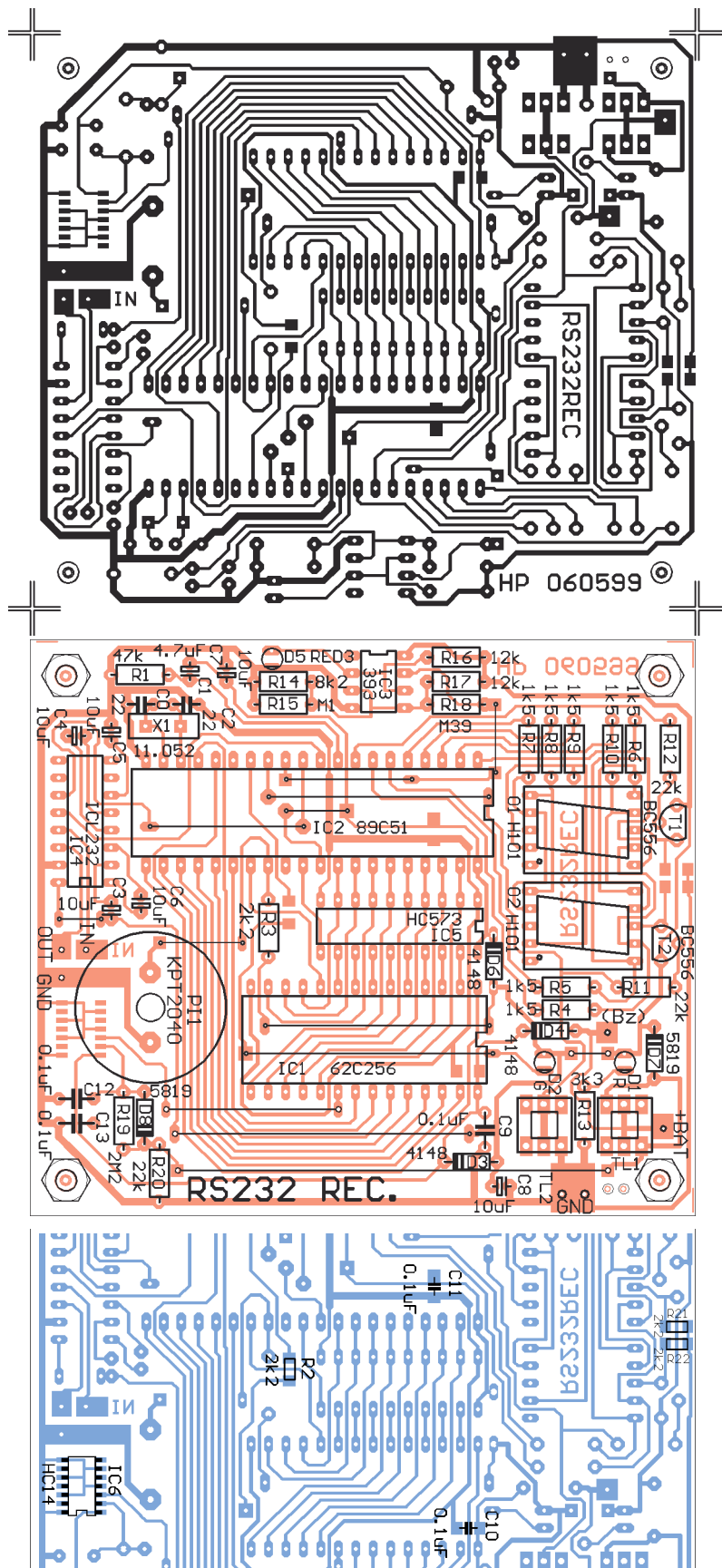
Popis obvodového řešení

Zapojení je v podstatě klasická aplikace mikropočítače typu 8051 v konfiguraci s vnější pamětí dat, doplněné o multiplexně řízený dvoumístný displej. Paměť dat je napájena stále (i po vypnutí napájecího napětí), a tak zachycená data jsou k dispozici stále, dokud se nevynulují tlačítkem podle výše popsaného postupu. Diody D3 a D4 oddělují toto zálohované napájení, obvod IC16 spolu s diodou D8 a členem RC R19 C13 blokují včas paměť a chrání tak data proti nežádoucímu přepsání při zapínání a vypínání napájecího napětí. Na diodě D5 se vytváří referenční napětí asi 1,6 V pro kontrolu stavu baterie. Pokles napájecího napětí je zjišťován komparátorem IC3. Rozhodovací úroveň je možné nastavit volbou odporu v děliči R17, R14, R15.

Převod z úrovni TTL na RS232 zajišťuje obvod IC4 v klasickém zapojení. Vzhledem k tomu, že v přístroji je využita pouze polovina tohoto obvodu, je zbylá dvojice přijímač/vysílač vyvedena přímo na kontakty konektoru a umožňuje využít přístroj i jako převodník úrovni pro jiné účely (např. jako náhrada převodníku pro datové kably pro mobilní telefony). V tomto případě je ještě vhodné zapojit mezi vývody 7 a 5 Zenerovu diodu pro ochranu vstupu mobilního telefonu. Pro napájení jsou použity čtyři tužkové články, je možné také použít akumulátory NiCd.

Mechanická konstrukce

Celý přístroj je postaven na jednostranné desce s plošnými spoji o roz-



Obr. 2. Deska s plošnými spoji

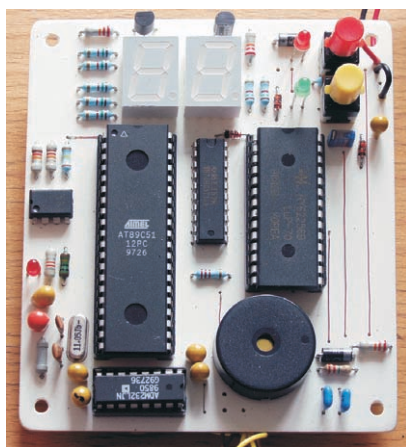
měřecích rozměrech 84 x 97 mm a vestaven do plastové krabičky KP02. Střední sloupek v obou polovinách krabičky je nutné odvrátit a pro upevnění desky použít plastové distanční sloupky typu KDA. Čtyřem sloupkům (8 mm) zkrátíme vnější závit na asi 3 mm a zlepíme je do předvrtných otvorů ve víčku krabičky.

K této sloupkům je dalšími 4 sloupkami (15 mm) připevněna deska tak, že hmatníky tlačítek TL1 a TL2 a indikační diody prostupují otvory vyvrstanými ve víku krabičky. Ve víku krabičky je rovněž vyříznut otvor pro displej, do kterého je vlepeno okénko z červeného organického skla. Držák pro články je

oboustrannou lepicí páskou přilepen k druhému dílu krabičky. Devítipinový konektor CANON je upevněn do vyjímatelného čela krabičky. S deskou je propojen krátkými vodiči.

Seznam součástek

| | |
|--------------|------------------|
| R1 | 47 kΩ |
| R2, R21, R22 | 2,2 kΩ, SMD 1206 |
| R3 | 2,2 kΩ |
| R4 až R10 | 1,5 kΩ |
| R11, R12 | 22 kΩ |
| R13 | 3,3 kΩ |
| R14 | 8,2 kΩ |
| R15 | 100 kΩ |
| R16, R17 | 12 kΩ |
| R18 | 390 kΩ |
| R19 | 2,2 MΩ |
| R20 | 22 kΩ |
| C0, C2 | 22 pF/keram. |



| | |
|--------------|---------------------|
| C1 | 4,7 µF |
| C3 až C8 | 10 µF/16 V, tantal. |
| C9, C12, C13 | 0,1 µF/keram. |
| C10, C11 | 0,1 µF, SMD 1206 |

| | |
|------------|-------------------------|
| D1 | LED 3 mm, červená, 2 mA |
| D2 | LED 3 mm, zelená, 2 mA |
| D3, D4, D6 | 1N4148 |
| D5 | LED 3 mm, červená, 2 mA |
| D7, D8 | 1N5819 |
| IC1 | 62C256 |
| IC2 | AT89C51 |
| IC3 | LM393 |
| IC4 | ICL232 |
| IC5 | HC573 |
| IC6 | HC14/SMD |
| O1, O2 | H101 |
| PI1 | KPT2040 |
| T1, T2 | BC556 |
| TL1, TL2 | P121 |
| X1 | 11,052 MHz, HC49/U-S |

Naprogramovaný mikrokontrolér lze získat za 300 Kč na adresu: Ing. Pavel Hůla, Jablonová 2, 106 00 Praha 10; tel.: 272 656 673, 607 565 933; email: hupa@post.cz

Adaptér k DMM pro měření indukčnosti

Většina prodávaných multimeterů neumožňuje přímo měřit indukčnost. V KE 5/98 na str. 192 je článek popisující jednoduchý přípravek k DMM pro měření indukčnosti. Zapojení pochází z časopisu Popular Electronics. Článek bohužel neobsahuje nákres desky ani žádné praktické zkušenosti s přípravkem.

Zapojení přípravku, doplněné o indikační LED s předřadným rezistorem, je na obr. 1. Jádro přípravku tvoří integrovaný obvod 74HC132, který obsahuje čtyři hradla NAND s funkcí SKO (Schmittův klopný obvod). Hradlo H1 je zapojeno jako generátor pravoúhlého napětí. Kmitočet generátoru není v článku uveden. Měřená indukčnost L_x tvoří spolu s rezistorem R4 derivační článek. Šířka impulsů vzniklých derivací pravoúhlého napětí je úměrná velikosti měřené indukčnosti L_x . Člen R3, C3 filtry výstupní napětí pro DMM.

Napájení přípravku zabezpečuje destičková baterie 9 V. Napájecí napětí je stabilizováno stabilizátorem 78L05. Potenciometr P1 (ZERO) slouží k vynulování údaje na displeji DMM při zkratovaných svorkách Lx1 a Lx2. Přípravek má dva rozsahy, přepínané dvoupólovým přepínačem S1. Přepnutím se mění kmitočet generátoru. Trimrem P2 (LOW CAL) se nastavuje správný údaj na

menším rozsahu, trimrem P3 (HIGH CAL) se nastavuje údaj na větším rozsahu. Menší rozsah je určen pro měření indukčností v rozmezí jednotek až stovek μ H, větší rozsah je navržen pro měření indukčnosti max. do několika mH.

Vzorek přípravku byl postaven na desce s plošnými spoji podle obr. 2 a osazen pasivními součástkami s tolerancí asi 2 % (samozájemě mimo elektrolytických kondenzátorů). Pro předběžné nastavení použily cívky s indukčností asi 300 μ H a 3 mH, změřené na přesném měříci. I přesto, že autor použil v zapojení poměrně velké odpory trimrů P2 a P3, nebylo možné přípravek rádně nastavit. Situace byla vyřešena výměnou kondenzátoru C1 a C2 za kondenzátory s kapacitou asi o 10 % menší. Kmitočet generátoru, zjištěn na vzorku, je asi 50 kHz a 5 kHz.

Maximální měřitelné indukčnosti jsou o něco menší než v článku uvedených 500 μ H a 7 mH. Tato skutečnost však u tak jednoduchého přípravku není nijak podstatná. Při orientační kontrole přesnosti přípravku byl bohužel zaregistrován rozdíl mezi přesným měřením a přípravkem až 10 %. Je ovšem třeba upozornit, že na přesnost měření má vliv také činný odpor cívek.

Rezistory použité v přípravku by měly být stabilní, metalizované s max. tolerancí 5 %. Kondenzátory C1, C2 a C3 fóliové s roztečí vývodu 5 mm. Deska byla navržena pro víceotáčkové trimry 43P201 (Spectrol) nebo WK 679 12 (TESLA) apod. Na místě P1 může být použit trimr s roztečí vývodu 10/5 mm nebo běžný lineární potenciometr.

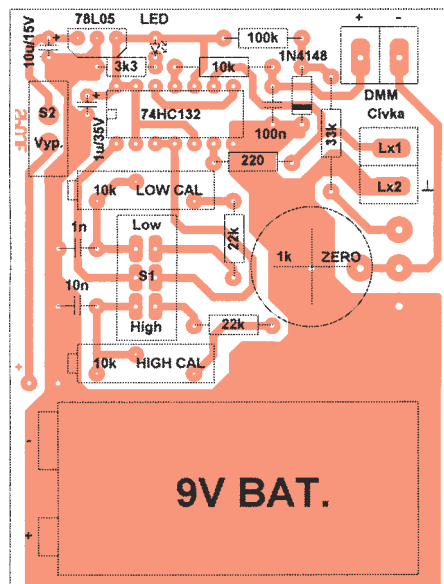
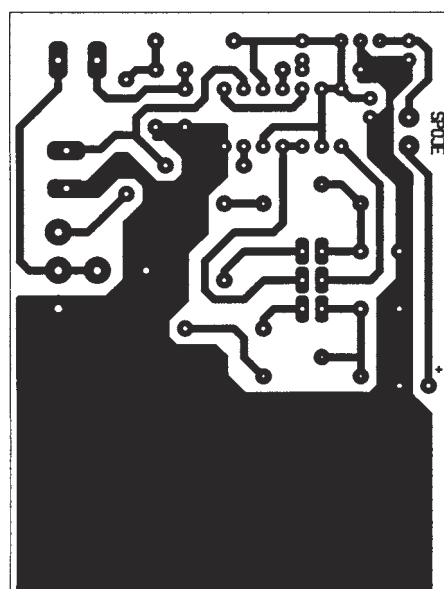
Miloslav Janča

Seznam součástek

| | |
|--------|--|
| R1, R2 | 22 kΩ |
| R3, R6 | 100 kΩ |
| R4 | 220 Ω |
| R5 | 3,3 kΩ |
| R7 | 33 kΩ |
| P1 | 1 kΩ, viz text |
| P2, P3 | 10 kΩ, víceot. |
| C1 | 1 nF, fóli., RM5 |
| C2 | 10 nF, fóli., RM5 |
| C3 | 100 nF, fóli., RM5 |
| C4 | 10 µF/15 V, rad. |
| C5 | 1 µF/35 V, rad. |
| IO1 | 78L05 |
| IO2 | 74HC132 |
| D1 | LED, nízkopřík. |
| D2 | 1N4148 |
| S1 | přepínač 2 póly, 2 polohy jednoduchý spínač ARK500/2, 2 ks |
| S2 | Vyp. |
| Svorka | ARK500/2, 2 ks |

Obr. 1. Schéma zapojení

Objímka IO 14 pinů
Klips 9 V 006-PT
Banánek, 2 ks
Držák baterie, 9 V



9V BAT.

Obr. 2. Deska s plošnými spoji

Reproduktorové soustavy pro elektronkové zesilovače (a nejen pro ně)

Karel Rochelt

V roce 2000 byl uveřejněn v PE 3 až 7/2000 článek o elektronkových zesilovačích, který se setkal s velmi dobrým ohlasem mezi čtenáři a na který bych chtěl nyní navázat článkem zabývajícím se problematikou reproduktorových soustav (reproboxů) speciálně upravených pro provoz s elektronkovými zesilovači.

Jistě jste se již setkali s tvrzením, že s elektronkovými zesilovači hrají dobře pouze reproboxy, které jsou pro provoz s nimi speciálně upraveny. Zejména je vyzdvihován fakt, že elektronkové zesilovače mají vzhledem k nezbytnému použití výstupních převodníků (transformátorů) vždy relativně malý činitel tlumení, díky kterému může být značně ovlivněn výsledný frekvenční průběh připojených reproboxů. Dále je uváděno, že by reproboxy měly být velmi účinné vzhledem k tomu, že elektronkové zesilovače mají většinou malý výkon.

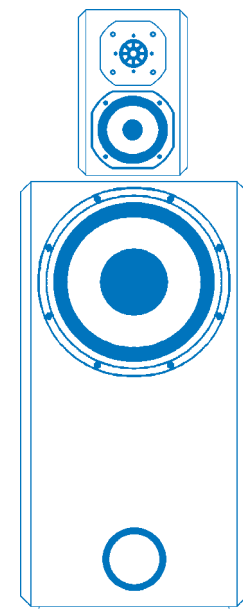
Protože mě pochopitelně z tohoto důvodu tato problematika velmi zajímá, snažil jsem se získat různé informace z tisku - těch je bohužel velmi málo a mají povětšinou hodnotu bulvárního tisku, kdy se různí autoři dokola pouze opakují bez zjevné vlastní zkušenosti s touto problematikou. Proto jsem nakonec uskutečnil celou řadu poslechových testů s různými reproboxy, různými zesilovači a různými způsoby zapojení. Dospěl jsem mnohdy i ke zcela neočekávaným poznatkům, které ukazují, že některá tvrzení jsou pouze výsledkem propagačního boje výrobců snažících se prodat své výrobky, nebo že se lze k obdobným výsledkům dopracovat různými způsoby. Protože jsou tato zjištění jistě zajímavá i pro ostatní zájemce o tuto problematiku, a to nejen speciálně pro reproboxy napájené elektronkovými zesilovači, myslím si, že závěry těchto testů mohou být minimálně vodítkem pro ostatní zájemce, jak si vylepšit nebo zkonstruovat reproboxy tak, aby mohly poskytovat maximální zvukovou kvalitu. Následující rádky jsou proto psány z hlediska velmi vysokých nároků na kvalitu výsledného zvuku, o který jistě mnohým posluchačům jde.

Protože se jedná o poměrně rozsáhlou problematiku, kde jsou výsledky ovlivněny mnohdy několika faktory, musíme začít od páky, kterou je v oblasti reproboxů jednoznačně frekvenční průběh.

Nechci se rozepisovat o tom, jak reproboxy zkonstruovat (papíru na toto téma bylo již popsáno dost), chci však

poukázat na některé věci, které se mohou zdát na první pohled nepodstatné, ale ve skutečnosti mají zásadní vliv na výsledný zvuk. Především je nutné dodržet velmi vyrovnaný frekvenční průběh zejména v tom smyslu, že kmitočty relativně blízko sebe položené musí mít stejnou amplitudu. Ve frekvenčním průběhu reproboxu nesmí nastat žádná skoková změna hlasitosti, protože to způsobí vždy dvě věci - jednak zvuk nástrojů a hlasů získá cizí zabarvení. To je znataelné zejména u akustických nástrojů tím, že získají „syntetické zbarvení“, a dále se tento problém projeví velmi podstatným zhoršením prostorové lokalizace (nelze přesně určit umístění jednotlivých nástrojů a hlasů jak do šířky, tak i do hloubky stereofonního obrazu).

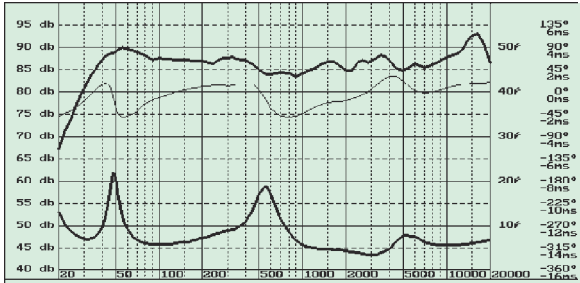
Není proto až tak důležité, zda rozdíl hlasitosti v reproboxu mezi kmitočty 60 a 15 000 Hz je 0,1 nebo i třeba až 2 dB, pokud je jinak frekvenční průběh velmi vyrovnaný. Tento rozdíl určuje spíše celkový charakter zvuku reproboxů („teplejší“ nebo analytičtější zvukový charakter zvuku“). Důležité proto je, zda těsně sousedící kmitočty jsou stejně hlasité. V podstatě neexistuje univerzální průběh, protože celkový výsledek je závislý na tom, do jak velké místo se reproboxy umístí, jak je místo zatlumená, z jaké vzdálenosti se poslouchá, jakým způsobem jsou reproboxy připojeny k zesilovači, jaké vlastnosti má napájecí zesilovač a konektorů i na osobním vkusu posluchače. Ve frekvenčním průběhu dále platí, že pokud nastane určitý pokles relativně úzkého pásma (do $1/2$ oktavy), tento pokles není příliš slyšitelný a uplatňuje se pouze minimálně. Pokud však vznikne v kmitočtovém průběhu i relativně malé převýšení, je značně slyšitelné a je na závadu. Z poslechových testů pak vyplývá, že převýšení větší jak 1 dB dokáže být již velmi patrné a je třeba ho odstranit. Pokud se pak podíváme, jaké vlastně mají reproboxy kmitočtové průběhy, zjistíme, že takto vyrovnané jsou pouze málokteré, nicméně existují a jsou většinou velmi oceňovaný. Naprostá většina i jinak velmi kvalitních reproboxů však splňuje tento po-



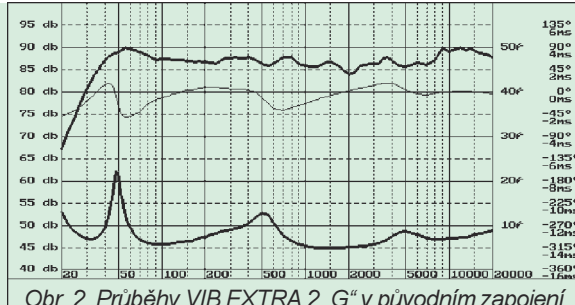
žadavek pouze ve velmi citlivé střední oblasti zhruba do 2 kHz a pak nastávají různě velká převýšení, typicky 2 až 8 dB, která jsou dána u kvalitně navržených reproboxů především vlastnostmi výškových reproduktorů.

Buďož většina výrobců této oblasti venuje mnohem menší pozornost, než si zasluhuje.

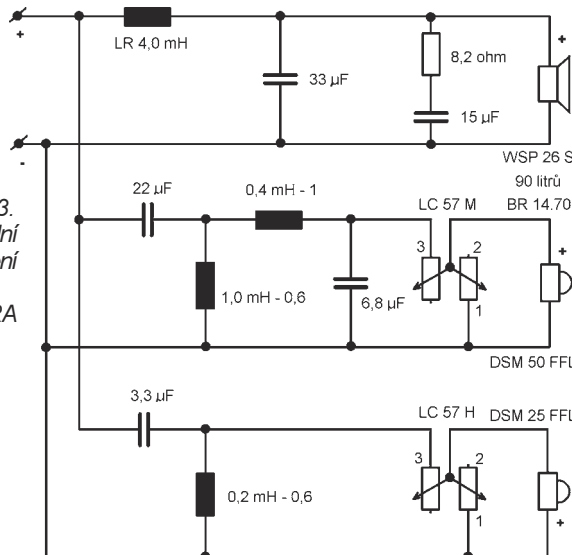
Na příkladu reproboxů Visaton VIB EXTRA 2 a VIB EXTRA „G“ si ukážeme, v čem je problém a jak ho odstranit. Tyto reproboxy jsem zcela záměrně zvolil proto, že jsou jednoznačně nejúspěšnější s reproduktory Visaton na českém trhu, a proto si myslím, že přijde mnoha zájemcům tato ukázka vhod. V originálním návodu (VIB EXTRA 2) byly v reproboxech osazeny reproduktory WSP 26 S, což je 25 cm basový reproduktor s polyprénovou membránou a středotónové a výškové kalotové reproduktory s titanovou membránou DSM 50 FFL a DSM 25 FFL. Protože se po krátké době začali uživatelé těchto reproboxů ozývat, že jim poněkud vadí jisté zabarvení ve výšich kmitočtech, byly u nás vyvinuty boxy VIB EXTRA „G“, ve kterých byly nahrazeny titanové kaloty kalotami textilními (G 50 FFL a G 25 FFL). S touto verzí již byli uživatelé velmi spokojeni. Tyto 90litrové reproboxy jsou vhodné do poněkud větších místností, protože jejich kmitočtový průběh sahá velmi hluboko (od 30 Hz), a v menších místnostech proto mohou nastávat problémy se zadunělostí. Jejich výhodou je, že mají pro středotónový a výškový reproduktor samostatné regulátory hlasitosti, a lze tedy v určitých mezích nastavit hlasitost středovýškové oblasti podle potřeby. Dnes již sice nepatří do nejvyšší kvalitativní kategorie, nicméně jejich technické (citlivost 88 dB, vyrovnaný kmitočtový průběh) a zvukové kvality jsou již dostatečné k tomu, aby splňovaly vysoké nároky pro spojení s elektronkovým zesilovačem, aniž by nějak zvlášť pokazily celkový dojem.



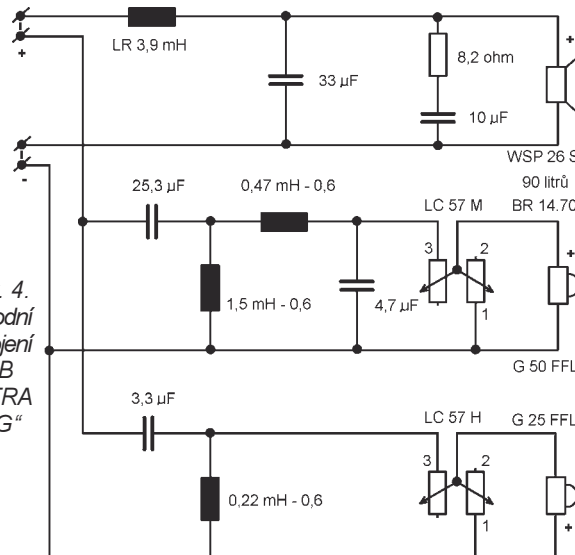
Obr. 1. Průběhy VIB EXTRA 2 v původním zapojení



Obr. 2. Průběhy VIB EXTRA 2 „G“ v původním zapojení



Obr. 3.
Původní
zapojení
VIB
EXTRA
2



Obr. 4.
Původní
zapojení
VIB
EXTRA
2 „G“

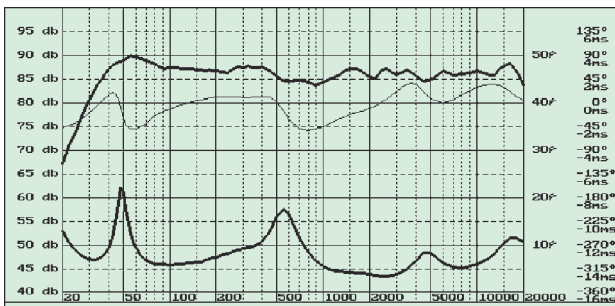
Výhodou osazení kalotových reproduktorů pro sředotónovou oblast je mimo jiné i to, že ve srovnání s kónovými reproduktory mají širší vyzařovací úhel, který se ve výsledku projeví jako širší stereofonní obraz.

Nicméně časem, kdy jsem se již začal zabývat hlouběji elektronkovými zesilovači, začaly vzrůstat nároky i na nejvyšší přenášené kmitočty, jejichž výsledkem jsou tyto úpravy. Na obr. 1 a 2 jsou kmitočtové průběhy obou verzí uvedených reproboxů před úpravou. Na obr. 3 a 4 jsou zapojení jejich frekvenciálních výhybek. Na obr. 5 a 6 jsou již kmitočtové průběhy po úpravách, které jsou na obr. 7 a 8. Na obrázcích jsou krom kmitočtového průběhu také uvedeny průběhy impedance a elektrické fáze (prostřední křivka - nulovému úhlu odpovídá údaj 80 dB a 70 a 90 dB jsou hodnoty, kdy je již elektrická fáze posunuta o $\pm 90^\circ$). O té a jejím vlivu na zvuk si povíme později.

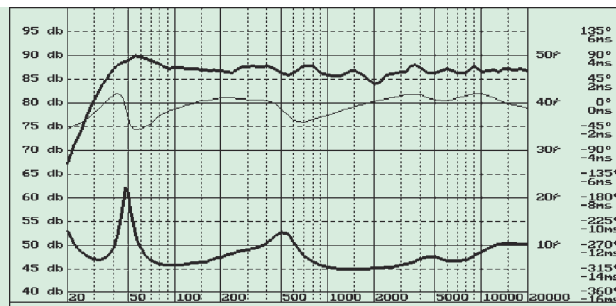
Z obrázků je patrné, že právě u původní verze s titanovými kalotami je převýšení značné (více než 6 dB) a je zdrojem problémů. Tako silné převýšení je typickým znakem všech kovových výškových kalot a neplatí pouze pro uvedený typ reproduktoru. Stejným neduhem trpí všechny obdobné typy různých výrobců (z nejznámějších např. Canton, Tonsil). Pokud jsou někdy uváděny v testech různých časopisů s zabývajícími se audiotechnikou také naměřené kmitočtové průběhy reproboxů, můžete se o tom snadno přesvědčit. Avšak i tkaninové kaloty nejsou úplně bez problémů. Jejich převýšení leží ale již na úrovni mezi 2 až 3 dB s tím, že pásmo převýšení je širší než u kovových kalot. To je dánou fyzikálnimi vlastnostmi kaloty (která není nikdy ideálně pevná, a nechová se tedy jako ideální písť, ale v určitých částech se jakoby prolamuje, určitým způsobem rezonuje a takto vznikne zvláštní kmito-

čového průběhu) a je závislé zejména na průměru vlastní kaloty. Čím je průměr kaloty menší, tím se převýšení zpravidla snižuje, avšak zase se zmenší pěnězené pásmo. Výrobci proto volí vždy určitý kompromis mezi užitkovými vlastnostmi a zvlněním kmitočtového průběhu. To opět platí pro všechny výrobce bez výjimky, ať už je to TVM nebo Dynaudio.

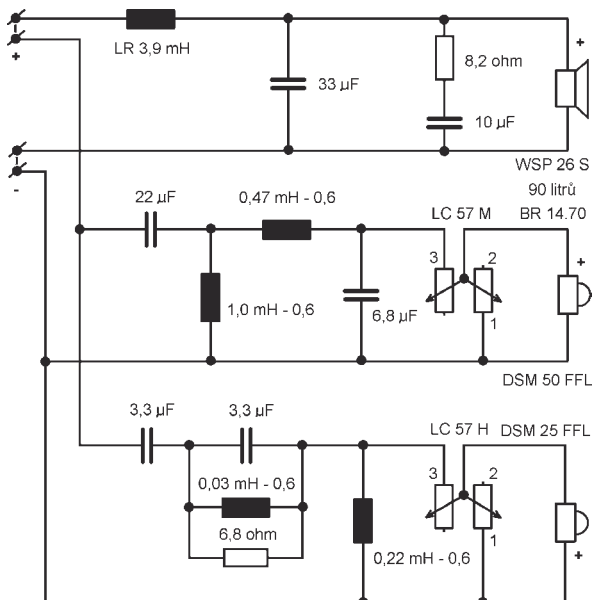
Pochopitelně s vlastní kvalitou reproduktoru (a také cenou) jsou tato převýšení menší, ale běžně se s nimi setkáme i u nejdražších reproduktorů. Určitou výjimkou jsou pak výškové reproduktory s kalotou na bázi keramiky, u kterých se vlivem vlastní enomí pevnosti kaloty a její extrémně malé hmotnosti dostanou rezonance pouze do nejvyšších přenášených kmitočtů v okolí 20 kHz - nebo již do nadakustické oblasti. Rezonance kaloty je zpravidla velmi úzkopásmová, avšak velmi silná a převýšení v kmitočtovém průbě-



Obr. 5. Průběhy VIB EXTRA 2 po úpravě



Obr. 6. Průběhy VIB EXTRA 2 „G“ po úpravě

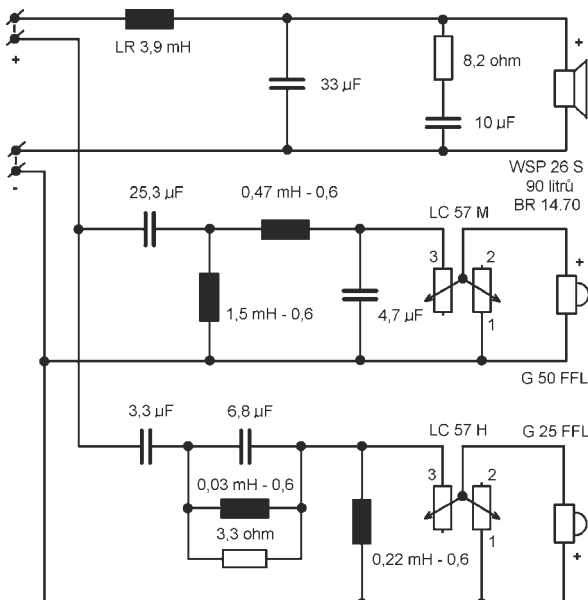


Obr. 7. Upravené zapojení VIB EXTRA 2

hu dosahuje i přes 10 dB. Pokud proto leží tyto rezonance v okolí kmitočtu 20 kHz nebo v těsné nadakustické blízkosti, je vhodné i je odstranovat.

Jak je vidět z upravených zapojení frekvenčních výhybek, je odstranění problémového převýšení celkem jednoduché. Před vlastní výškovou větví frekvenční výhybky jsou zařazeny pásmové zádrže tvořené paralelním členem RLC . V této zádrži kondenzátor určuje, od kterého kmitočtu začne být zádrž účinná, cívka určuje, do kterého kmitočtu zádrž utlumuje, a rezistor určuje velikost útlumu. U něj platí, že pro reproduktor 8Ω odpovídá odpór v ohmech přibližně útlumu zádrže v deциbelech.

Zvukově se tyto úpravy projeví celkovým zpřehledněním zvukového pole, kdy se výrazně zlepší stereofonní rozdílení nástrojů a hlasů, které navíc získají mnohem přirozenější zvuk a omezí se jinak zvýrazněné sykavky. Takto navržené zádrže lze pochopitelně bez větších problémů aplikovat na všechny obdobně konstruované výškové reproduktory, je však znát skutečné kmitočtové průběhy, aby bylo možné zádrž optimálně nastavit. Na kmitočtové průběhy uváděné v různých katalogech není bohužel příliš velký spoleh, protože jednak bývají vždy co nejvíce graficky upraveny tak, aby vyšla přenosová křivka co nejrovnější, nebo se i mnohdy vůbec nezakládají na skutečnosti. Pokud chcete znát opravdové charakteristiky reproduktorů, je však dáný, což je pro naprostou většinu zájemců nedostupné. Kmitočtové průběhy pro celou řadu reproduktorů lze zjistit ze specializovaných časopisů zabývajících se touto problematikou. V tomto směru vyniká německý časopis „Hobby-Hifi“ nebo také „Klang + Ton“. V těchto časopisech pravidelně vycházejí testy jednot-



Obr. 8. Upravené zapojení VIB EXTRA 2 „G“

livých kategorií reproduktorů různých výrobčů, a je možné tedy zároveň porovnat mezi různými typy a výrobci i z toho důvodu, že jsou všechny měřené za stejných podmínek.

Přesto, když byly následně různé reproboxy mezi sebou porovnávány, bylo zjištěno, že i když mají srovnávané reproboxy prakticky shodný kmitočtový průběh, nejsou si zvukově tak podobné, jak by se dalo očekávat. Liší se zejména v prostorovém podání a jistým neduhem, který bych popsal jako to, že nejsou schopny předávat určité kmitočty v blízkosti dělících kmitočtů s potřebnou „razancí a prokreslením“. Zprvu jsem se domníval, že by to mohlo být způsobeno tím, že prostě některé typy reproduktorů nejsou schopny přenášet ideálně všechny potřebné kmitočty i na okrajích svých přenosových pásem, ale dlouhodobým porovnáváním bylo nutné tuto domněnku vyloučit. Vliv impedančního průběhu se nezdál být důležitý, protože na rozdíl od všeobecně vžitného tvrzení, že odpór výstupního vinutí výstupního převodníku elektronkového zesilovače způsobuje relativně velké zvlnění kmitočtového průběhu, se ukázalo toto tvrzení jako velmi přehnané. Lze sice naměřit na výstupu určité změny výstupního napětí v závislosti na změnách impedance reproboxu s kmitočtem, v praxi při poslechových testech bylo nutné však konstatovat, že rozdíl ve zvuku reproboxů napájených střídavé elektronkovým a polovodičovým zesilovačem je prakticky nepozorovatelný. S výjimkou toho, že se zdá být zvuk z elektronek „tepleji zbarvený“ a pochopitelně „průzračnější“. To je však dáno především tím, že zkreslení není vlastně nic jiného než násobky původního kmitočtu, a čím je zkreslení větší (zjevně určité druhy zkreslení, zejména lichých harmonických a přechodové zkreslení), tím se i výsledný zvuk zdá být jakoby

více zabarvený k vyšším kmitočtům, i když ho jinak hodnotíme jako relativně nezkreslený.

Protože však tvrzení, že vyrovnaní impedančního průběhu má kladný vliv na výsledný zvuk reproboxů napájených elektronkovým zesilovačem, byla pochopitelně vyzkoušena i tato možnost. Poslechové testy ukázaly, že vliv vyrovnaní impedančního průběhu přidavnými korekčními členy je značný, a to až nečekaně. Navíc se ale ukázalo, že tyto úpravy mají mnohem větší vliv při spojení reproboxů s **polovodičovým zesilovačem**, což je však zcela v rozporu se vžitým tvrzením, že je nutné tyto úpravy dělat pouze pro provoz s elektronkovým zesilovačem!!! Zvukově se tyto úpravy projevují právě tím, že zvuk reproboxů je v celém akustickém pásmu jednoznačně mnohem „energičejší“, výrazně se zlepší podání prostoru a umístění hlasů a nástrojů v prostoru (prostorová lokalizace). Také se omezí různá zkreslení, což se potom projeví detailnějším zvukem a omezením sykavek.

Pátráním po příčinách tohoto jevu byla odhalena jedna důležitá věc: vyrovnaní impedančního průběhu probíhá spojitě s vyrovnaním elektrické fáze reproboxu. Pokud tedy optimálně vyrovnáme průběh impedance, zároveň vyrovnáme i průběh elektrické fáze. To se pochopitelně líbí zesilovačům, protože se takto upravené reproboxy stávají ideálnější zátěží a zesilovače z tohoto důvodu potom mnohem méně zkreslují a výsledný zvuk je citelně lepší. Navíc se tímto opatřením poměrně dost omezuje vliv přívodních kabelů, což je patrné zejména u dlouhých kabelů. V praxi je pak možné použít poněkud delší kably (zhruba o polovinu) pro srovnatelnou zvukovou kvalitu.

(Pokračování příště)

Tester kondenzátorů – měřič ESR

Miloš Zajíc

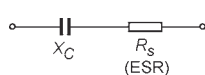
Každý opravář potvrdí, že jednou z nejčastějších závod spotřební elektroniky jsou vadné elektrolytické kondenzátory. Měřičem ESR je lze snadno a rychle najít bez vypájení.

Základní technické parametry

| | |
|---------------------|---|
| Rozsah měření: | 0,1 až 300 Ω , tj. 0,1 až 10 000 μ F. |
| Max. měřicí napětí: | 150 mV. |
| Měřicí kmitočet: | 100 kHz. |
| Zobrazení: | 8 + 1 LED. |
| Napájení: | baterie 9 V. |
| Spotřeba: | asi 6 mA. |
| Rozměry: | 67 x 115 x 28 mm. |

Co je ESR ?

ESR – ekvivalentní sériový odpor je součet všech vnitřních odporů kondenzátoru změřený v ohmech. Hodnota ESR závisí na konstrukci kondenzátoru, kvalitě dielektrika, kmitočtu a teplotě. Lze si jej představit jako sériové spojení ideálního kondenzátoru se sériovým rezistorem R_s o odporu odpovídajícím hodnotě ESR.



$$X_C = \frac{1}{2\pi f C}$$

Obr. 1. Ekvivalentní sériový odpor kondenzátoru

Pro nás je zajímavé hlavně to, že změna vlastností kondenzátoru způsobená stárnutím a vysycháním se nejdříve projeví na hodnotě ESR. Životnost elektrolytických kondenzátorů se totiž velmi výrazně zkracuje se zvyšující se teplotou. Ta se nezvyšuje

jen ohřevem od okolí, ale i ztrátami při průchodu velkého střídavého proudu.

ESR se musí měřit střídavým proudem s vyšším kmitočtem, většinou kolem 100 kHz. Běžnými přístroji pro měření kapacity kondenzátorů se nedá změřit a málokdy lze ESR měřit přímo v zapojení. Pouhé změření kapacity nemusí dát dobré výsledky, protože velmi záleží na použité měřicí metodě.

Požadavky

Při konstrukci přístroje jsem si stanovil základní požadavky, které by měl přístroj splňovat:

Jednoduchá a přehledná indikace naměřeného údaje – u některých publikovaných konstrukcí byla použita indikace pouze jednou LED. Pro velký rozsah měřených kapacit a správné posouzení stupně jejich poškození je jednoúrovňová indikace nedostatečná. V této aplikaci není nutná velká přesnost měření, ale spíše jednoduchá přehledná indikace údaje v dosti velkém rozsahu bez přepínání rozsahu. Proto bylo zvoleno řešení se stupnicí LED. Ručkový měřicí přístroj s logaritmickou stupnicí by také využověl, ale z důvodů malé mechanické odolnosti je nevhodný.

Indikace zkratu – aby nedocházelo k omyleu při měření, měl by tester dokázat rozlišit malý stejnosměrný odpor (zkrat, vodič) od kondenzátoru.

Automatické vypnutí při nečinnosti – z vlastní zkušenosti při používání

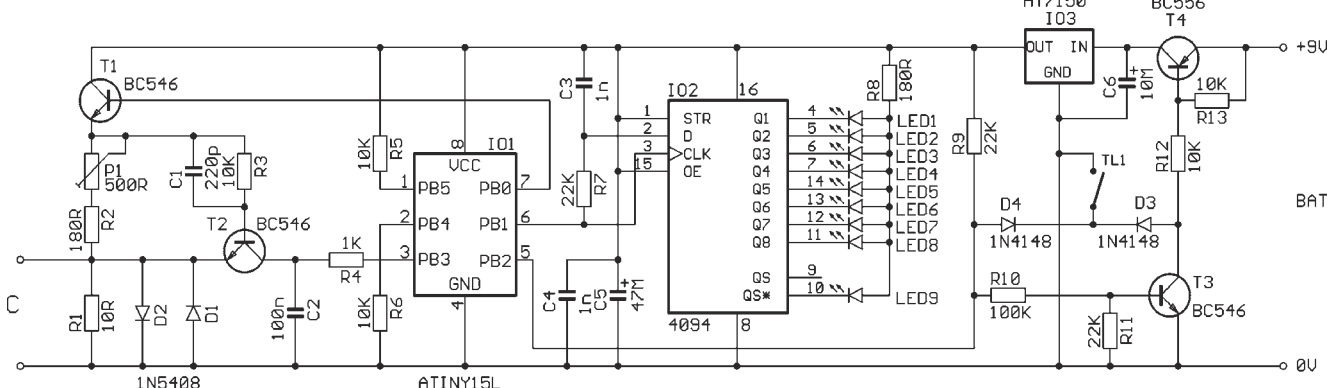


jiných přístrojů, např. multimetru je tato funkce velmi důležitá.

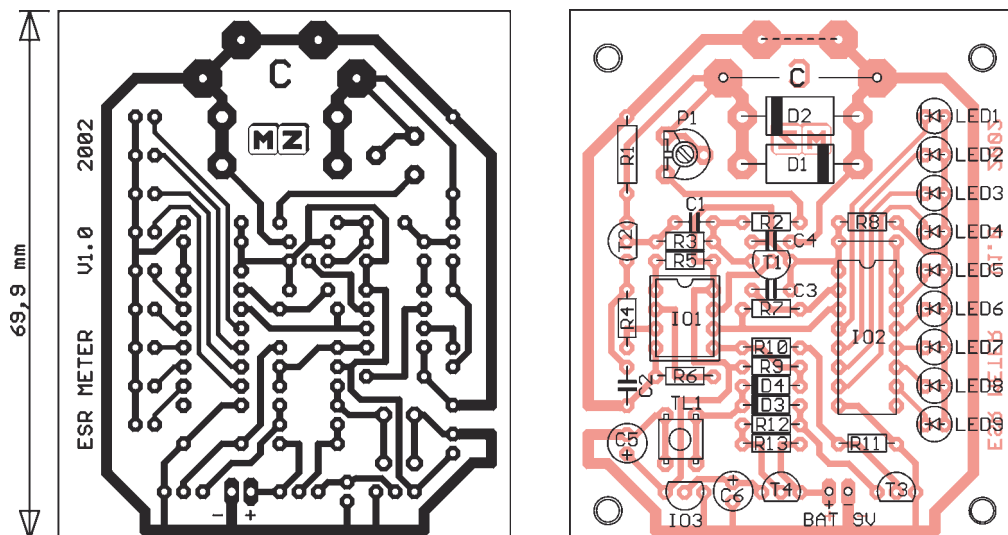
Popis zapojení

Na první pohled by se mohlo zdát, že by přístroj mohl být zkonstruován z běžných analogových součástek. Přesto byl k jeho realizaci použit mikroprocesor. Jedná se o typ Atmel ATtiny15, který obsahuje vše potřebné pro realizaci přístroje včetně převodníku AD. Zejména část detekce zkratu a funkce automatického vypnutí by běžnou konstrukci dosti komplikovala.

Program v procesoru IO1 nejprve vygeneruje impuls na vývodu 7. Ten je proudově zesílen tranzistorem T1. Přesná velikost proudu (kalibrace) se nastavuje trimrem P1. Velikost impulsu je zapamatována obvodem „sam-



Obr. 2. Schéma zapojení měřiče ESR



Obr. 3.
Deska s plošnými
spoji a rozmístění
součástek

ple and hold" tvořeným diskrétními součástkami T2 a C2. Při vývoji výroku se ukázalo, že na místě spínače lépe vyhoví běžný bipolární tranzistor v inverzním režimu než MOSFET. Předpokladem jsou vhodné budicí obvody (R3, C1). Napětí na C2 je změřeno AD převodníkem v procesoru, jsou provedeny korekce, filtrace a výsledek je zobrazen na displeji z LED. U malých odporů ($<0,5 \Omega$) se ještě testuje, obvod nemá zkrat. Kondenzátor se nabíjí konstantním proudem a sleduje se, zda se napětí na kondenzátoru zvětšuje. Pokud je stále stejně, nejde o kondenzátor a je indikován zkrat. Vzhledem k tomu, že použitý procesor nemá vývodů nazbyt, bylo použito pro řízení LED budíčko IO2. Informace o stavu výstupů se z procesoru přenáší sériově. Sírkou impulsu se určí, zda se zapisuje logická „0“ nebo „1“. Takto připojení LED zabírá pouze jeden vývod procesoru. Výstupy IO2 přímo budí LED s malou spotřebou a jejich proud je omezen rezistorem R8.

Poslední částí jsou obvody napájení. Tranzistor T4 slouží jako hlavní spínač napájení. Následuje stabilizátor IO3. Jde o typ s malou vlastní spotřebou a malým úbytkem. Běžný 78L05 má klidovou spotřebu asi 3 mA, což je více jak polovina spotřeby celého přístroje. Malý úbytek na stabilizátoru zajistuje, že přístroj pracuje beze změn až do poklesu napětí baterie na 5,3 V. Přístroj se zapíná tlačítkem TL1. Jeho stiskem se přes D3 sepne hlavní spínač T4 a potom si již sám procesor drží zapnuté napájení pomocí T3. Pokud se neměří, přístroj se sám asi po 1 minutě vypne.

Součástky D1, D2, R4 slouží jako ochranné. Přesto raději kondenzátor před měřením vybijeme.

Stavba

Osazování začneme jednou drátovou propojkou na desce. Potom po-

stupně osazujeme součástky od nejnižší po nejvyšší. Procesor IO2 je osazen v objímce. Zatím neosazujeme LED a TL1. Svítivé diody nasadíme do desky a desku vložíme do vyvrácené krabičky. Po usazení LED do děr v krabičce je zapájíme. Obdobně i tlačítko. Tím zajistíme, že vše bude perfektně „pasovat“.

Připájíme konektor pro baterii 9 V a nakonec připojíme dvěma krátkými vodiči vstupní zdírky. Zdírky lze také vynechat a vodiče od měřicích hrotů zapájet přímo do desky. Smyčkou drátu je prichytíme na kraji desky proti vytržení. Montáž dokončíme až po oživení. Měřicí vodiče by měly mít dostatečný průřez a délku nejvýše 1 m. Stejnosměrný odpor obou vodičů by měl být menší jak $0,1 \Omega$. Je nutno si uvědomit, že měříme dosti malé odopy.

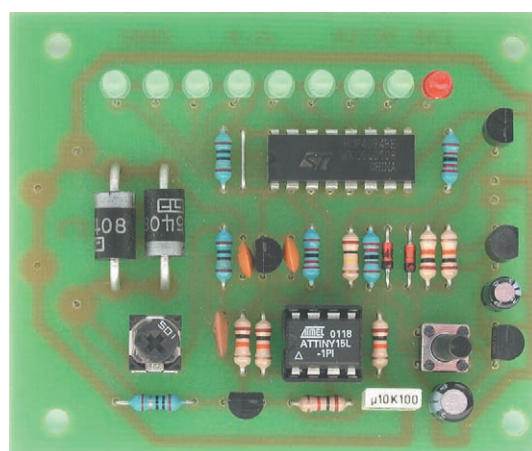
Mechanická konstrukce

Přístroj je umístěn v krabičce KP20. Pokud nemáme krabičku již hotovou, je nutné ji nejdříve upravit. Nejprve musíme z vrchního dílu odstranit čtyři nízké nálitky. Jde to dobře štípacími kleštěmi s ostřím kolmo k rukojeti. Přes štítek si jehlou ozna-

číme na čelním panelu středy děr a vyvrátáme je – 9x $\varnothing 3$ mm pro LED a 1x $\varnothing 3,3$ mm pro tlačítko. V horním boku vyvrátáme díry pro dvě zdírky (2x 8 mm). Pokud nepoužijeme zdírky, bude zde pouze jeden otvor s průměrem gumové průchodky, kterou použijeme pro průchod měřicích vodičů. Ve spodním dílu krabičky je nutno snížit spojovací sloupky o tloušťku desky s plošnými spoji, tj. asi o 1,5 mm. Nakonec přilepíme čelní štítek.

Oživení

Zapojení je velmi jednoduché a při pečlivé práci bude fungovat okamžitě. Přesto před prvním zapnutím vymějme procesor. Zdroj nastavíme na omezení asi 50 mA a postupně zvětšujeme napětí až asi na 7 V. Při zvětšování napětí stiskneme TL1. Odebíraný proud bude závislý na tom, kolik bude svítit LED (nemusí svítit také žádná). Pokud je vše v pořádku i při napětí zdroje 7 V, změříme napětí na objímce procesoru mezi vývody 4 a 8. Zde by mělo být 4,9 až 5,25 V. Potom osadíme procesor. Po zapnutí tlačítkem se otestují diody. Nyní zkalibrujeme přístroj. Vstupní svorky jsou



Obr. 4.
Osazená deska měřiče
ve skutečné velikosti

přitom volné. Trimrem P1 najdeme rozhraní, kdy nejvyšší LED přechází z trvalého svitu do blikání. Trimr ještě o něco pootočíme tak, aby LED spolehlivě blikala. To signalizuje, že je přístroj zapnut a vstupní svorky jsou buď volné, nebo je měřená hodnota mimo rozsah. Tím je nastavení skončeno a můžeme vyzkoušet měření.

Měření v praxi

Přístrojem můžeme měřit přímo v zapojení. Polaritu není nutno dodržovat. Vzhledem k malému měřicímu napětí se polovodičové přechody ještě neotevřou, a proto diody a tranzistory měření neovlivňují. Je jen málo případů, kdy kondenzátor nelze změřit přímo v zapojení.

Při měření je nutné dbát na dobrý kontakt měřících vodičů s vývody kondenzátoru, protože měříme malé odopory. Zejména to platí při použití některých levných niklovaných hrotů.

Tabulka hodnot na panelu přístroje platí pro běžné elektrolytické kondenzátory při pokojové teplotě! Mohou se zde samozřejmě vyskytovat odchyly. V případě, že si nejsme jisti, změříme si dobrý kondenzátor stejného typu, napětí a kapacity pro porovnání. Postupem času získáme již odhad, kdy není něco v pořádku. Obecně lze říci, že u běžného kondenzátoru s kapacitou větší jak asi 5 μF by měl být ESR vždy pod 10 Ω . Lze testovat i kondenzátory keramické, fóliové a bipolární s kapacitou větší jak asi 0,1 μF . Přístroj samozřejmě měří v pracovním rozsahu informativně i odopory.

Kde hlavně hledat podezřelé kondenzátory?

- Zejména v obvodech, kde kondenzátorem prochází velký impulsní proud. Pokud je kondenzátor v blízkosti chladiče nebo výkonového rezistoru, je pravděpodobnost závady mnohonásobně větší.
- Primární obvody spínaných zdrojů. Obzvlášť záladné jsou některé zdroje levnějších TV, u nichž se postupně, jak kondenzátory „odcházejí“, zvětšuje výstupní napětí zdroje.
- Filtrační kondenzátory na sekundární straně.
- Vertikální rozklad v TV a monitech.
- Zdrojová část ve videokamerách.
- V obvodech bezkomutátorových motorů v kamerách a videomagnetofonech.

Co nelze správně změřit?

- Ke kondenzátoru je připojen paralelně rezistor s malým odporem (menším jak asi 10 Ω , vadné polovodiče) nebo indukčnost (menší

jak asi 50 μH). Zde je nutné obvod rozpojit.

- Pokud je paralelně spojeno více kondenzátorů, nelze určit který z nich je vadný. Opět je nutné rozpojit obvod a měřit je samostatně.

Pokud při zapnutí svítí trvale některá z horních LED i při volných vstupních svorkách, znamená to, že baterie je vybitá a je nutno ji vyměnit.

Upozornění – před měřením je nutné se přesvědčit, že je měřený kondenzátor vybit. Tester má sice na vstupech ochranu proti přetížení, ale ta nevydrží vše.

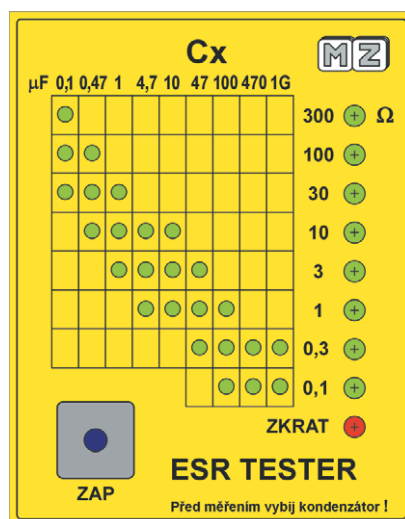
Závěr

Dnes si již nedokážu představit práci opráváče bez tohoto přístroje. Investice do stavby přístroje se nám vrátí již po několika málo opravách výraznou úsporou času.

Stavebnici je možno si objednat na adresu: Miloš Zajíč, Hálkova 739, 289 11 Pečky, www.zajic.cz, e-mail: milos@zajic.cz, tel. 321 785 510. Cena za "eco" verzi (jen součástky a deska bez krabičky a štítku) stavebnice je 350 Kč a kompletní stavebnice s upravenou krabičkou a vyděrovaným štítkem je za 500 Kč. Po dohodě je možné dodat též kompletní hotový oživený přístroj.

Seznam součástek

| | | | |
|-------------------------|---------------|--------------|---------------------------------|
| R1 | 10 Ω | R7, R9, R11 | 22 k Ω |
| R2, R8 | 180 Ω | R10 | 100 k Ω |
| R3, R5, R6, R12, R13 | 10 k Ω | P1 | 500 Ω |
| R4 | 1 k Ω | C1 | 220 pF, keramický |
| | | C2 | 100 nF, svitkový |
| | | C3, C4 | 1 nF, keramický |
| | | C5 | 47 $\mu\text{F}/6$ V |
| | | C6 | 10 $\mu\text{F}/25$ V |
| | | D1, D2 | 1N5408 |
| | | D3, D4 | 1N4148 |
| | | T1, T2, T3 | BC546 |
| | | T4 | BC556 |
| | | LED1 až LED8 | zelená (2 mA) |
| | | LED9 | červená (2 mA) |
| | | IO1 | ATiny15 (prog.) |
| | | IO2 | 4094 |
| | | IO3 | HT7150 |
| | | | Tlačítko, krabička KP20, zdírky |



Obr. 5. Čelní štítek přístroje

| | | | |
|-------------------------|---------------|--------------|--------------|
| R1 | 10 Ω | Cx | 300 Ω |
| R2, R8 | 180 Ω | 300 Ω | 100 Ω |
| R3, R5, R6, R12, R13 | 10 k Ω | 100 Ω | 30 Ω |
| R4 | 1 k Ω | 30 Ω | 10 Ω |
| | | 10 Ω | 3 Ω |
| | | 3 Ω | 1 Ω |
| | | 1 Ω | 0,3 Ω |
| | | 0,3 Ω | 0,1 Ω |
| | | 0,1 Ω | ZKRAT |



Obr. 6. Hotový přístroj a osazená deska

Jednoduchý měřič kapacit 1 pF až 10 000 µF

Jiří Sedláček

Vždycky jsem si říkal, že by nebylo špatné místo několikatisícové investice do laboratorního měřidla postavit něco za pár korun.

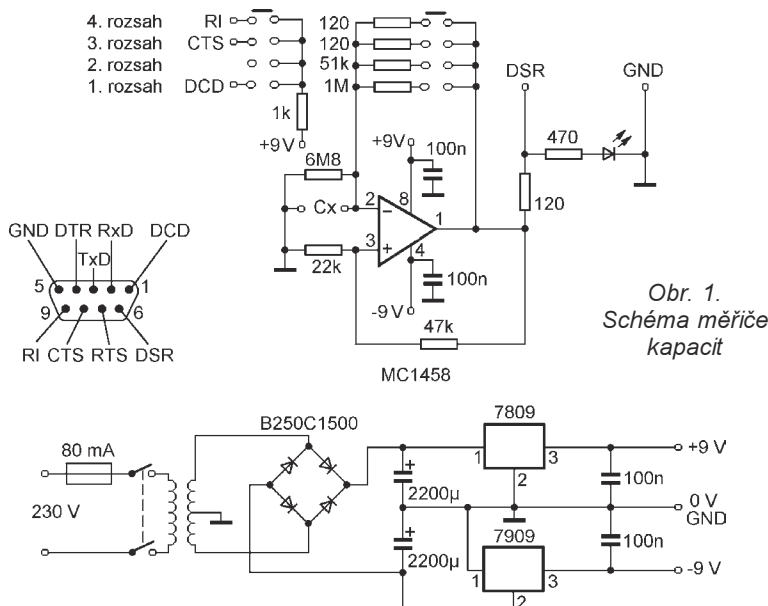
Základem přístroje je jednoduchý oscilátor RC s operačním zesilovačem MC1458. Hned v úvodu raději podotknu, že je to samozřejmě ekvivalent českého obvodu MA1458, záměrně však uvádím MC1458, protože s tímto obvodem jsem v tomto zapojení dosáhl mnohem většího a stabilnějšího frekvenčního rozsahu, který je zároveň potřebný pro docílení uvedených parametrů. Přepočet, korekce, zobrazení a ostatní úkony přebírá program v počítači.

Program je napsaný v jazyce Turbo Pascal 5.5. Zdrojový kód programu si můžete stáhnout na adrese [1]. Lze ho hned převést na spustitelný EXE soubor. Turbo Pascal 5.5 je volně ke stažení na internetových stránkách firmy Borland [2]. Práce s TP5.5 je sice trochu zdlouhavější než s TP7.0, nelze třeba v jeho editoru označit blok zdrojového textu a zkopírovat ho, je to však dař za to, že se za něj nemusí platit. Navíc firma Borland v TP5.5 opravila knihovnu CRT tak, že jej lze bez problémů použít i na rychlých počítačích a nedochází tam k „dělení nul“, resp. k chybě 200. Pokud máte TP(BP)7.0 a nemáte opravenou knihovnu, musíte si nakopírovat

do adresáře TP(BP) soubor fdelay.pas a hned za USES tuto knihovnu použít: USES fdelay, CRT... Ti, kteří nemají možnost nebo chut' laborovat, si mohou na adrese [1] stáhnout hotový EXE soubor (34 kB). Najdete tam i originální předlohu pro desku s plošnými spoji měřiče kapacit a zdroje.

Popis funkce

Změna kapacity na měřicích svorkách mění kmitočet oscilátoru s operačním zesilovačem. Z jeho výstupu jde signál na vstup DSR portu COM. Je jasné, že pro tak velké rozpětí kapacit je třeba měnit rychlosť nabíjení a vybíjení měřeného kondenzátoru. Tuto funkci má na starost přepínač, který pro každý rozsah vybírá ten správný odpór zpětnovazebního rezistoru. Zároveň LED, kterou jsem umístil nad měřicí svorky, bliká podle kmitočtu tohoto oscilátoru. Potom už si program sám vypočítá podle vzorců a vybraného odporu výslednou kapacitu, kterou zobrazuje na monitoru počítače. Přepínač zároveň propojuje kladné napětí na vstupy portu COM, a program si tak z portu čte, na kterém rozsahu se měří.



Ovládání programu

Po spuštění ovládacího programu rlc.exe (cmeter.exe) je třeba nejdříve vybrat COM1 nebo COM2 podle toho, kam jste přístroj připojili. Zadáte volbu 1 nebo 2 a potvrďte ENTER. Potom se již zobrazí obrazovka s hvězdičkami nebo s kapacitou kondenzátoru, pokud bude připojený. Samozřejmě zapněte napájení přístroje a zvolíte si rozsah, ve kterém chcete měřit. Rozsahy se zobrazují také na obrazovce, takže není třeba přepínač na měřici popisovat. Pro první měření je třeba zkalibrovat všechny rozsahy podle kondenzátorů, jejichž kapacity známe. Buď si nakupte kondenzátory s nejmenší tolerancí, nebo si je přeměřte na laboratorním měřidle a označte si na nich jakou mají skutečnou kapacitu. Každý rozsah by se měl kalibrovat dvěma kondenzátory. První by měl mít kapacitu větší než 70 % zvoleného rozsahu a druhý pod 5 % rozsahu.

Příklad: Chceme zkalibrovat rozsah 1 až 1000 pF: Nejdříve nastavíme tzv. Span – horní konec rozsahu. Připojte kondenzátor s kapacitou např. 1 nF a potom stiskněte klávesu F4. Za chvíli se zobrazí kurzor a vy zadáte přesnou kapacitu, např. 959 pF a potvrďte klávesou Enter. Jako druhý krok vždy nastavte tzv. Zero – začátek rozsahu. Připojte kondenzátor menší než 56 pF, stiskněte F4 a opět zadějte jeho správnou kapacitu a potvrďte tlačítkem Enter. Nastavte takto všechny další rozsahy. Kondenzátory si schovejte jako váš etalon pro pozdější kontrolu přístroje, kdyby se vám zdálo, že neměří správně. Desetinnou čárku je třeba psát jako tečku: např. 3,4 naopat jako 3.4.

Každou další kalibraci Span (koncete rozsahu) rušíte nastavení Zero (počátku rozsahu) a musíte jej nastavit znovu. Naopak tomu není, protože Zero vychází ze zadání hodnoty pro Span a mění se pouze konstanta pro korekční vzorec. Jestliže budete mít potíže údaj nastavit, klávesou ALT+R provedte RESET právě zvoleného rozsahu. Nastaví se na něm základní hodnoty a tento rozsah v obou bodech opět zkalibrujte. Ze spuštěného programu se vystupuje klávesou Esc. Chvíli to trvá, zvláště když měříte kondenzátory s větší kapacitou a program čeká, než se kondenzátor vybije. Mějte proto pár sekund strpení.

Požadavky na PC: U 486/100 MHz doporučuji systém DOS (stačí 4 MB RAM). Na rychlejších počítačích, zkoušel jsem Celeron 400 MHz a Celeron 900 MHz, je možné program spouštět i ve Windows 95, 98 a NT. Na dalších operačních systémech jsem program netestoval. I u Celeronu 400 MHz mám ověřeno měření kapacit do 10 pF v důležitosti tolerance, jen je třeba používat co nejkratší vedení a u svorky spojené se zemí (GND) nepoužívat žádné – kondenzátor připojit přímo na přístrojovou svorku.

Další upozornění: Jestliže chcete spouštět program v prostředí DOS, nenechte Windows „restartovat v režimu MS-DOS“ (jinak program nepojeďte), ale použijte přímo DOS nebo tzv. „nedojeté“ Windows: Při spuštění počítače „masírujte“ klávesu F8 a zvolte si z nabídky „jen systém MS-DOS“.

Konstrukce přístroje

Sestavit měřič by neměl být žádný větší problém, můžete se inspirovat podle fotografií. Při osazování dávejte pozor na zapojení přepínače, ať není pootočený, a propojuje vždy podle zapojení a logiky „odpor-rozsah“. Většinu dílů jsem koupil v GES Electronics. Transformátor, skříňku a krokosvorky jsem pořídil v prodejně TIPA Opava. Propojovací šňůru do PC CANNON (dutinky) - CANNON (dutinky) si můžete i vyrobit, asi se bude špatně shánět.

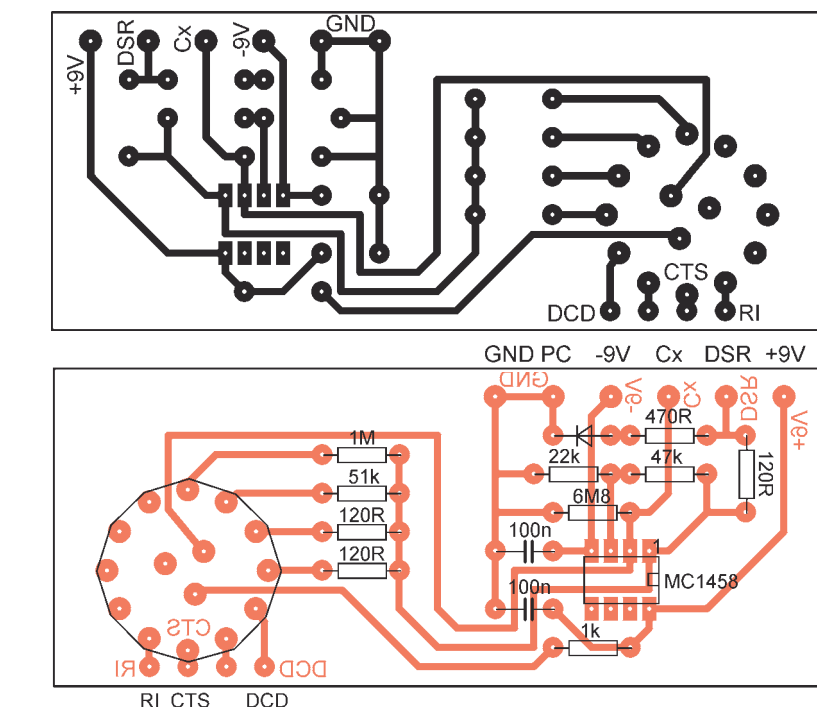
Pokud budu mít čas, pokusím se z měřiče kapacit udělat zároveň i měřič indukčnosti a odporu. Tyto veličiny lze měřit na stejném principu.

Moje adresa pro dotazy nebo připomínky je sedlacek.jir@volny.cz

Seznam součástek

Rezistory:

| | |
|------|---------------|
| 3 ks | 120 Ω |
| 1 ks | 470 Ω |
| 1 ks | 1 k Ω |
| 1 ks | 22 k Ω |
| 1 ks | 47 k Ω |



Obr. 2. Deska s plošnými spoji a osazení desky

1 ks 51 k Ω
1 ks 1 M Ω
1 ks 6,8 M Ω

Kondenzátory:

4 ks 100 nF/16 V
2 ks 2200 μ F/25 V (zdroj)

Polovodičové součástky

1 ks LED s malým příkonem (2 mA)
1 ks MC1458N
1 ks 7809
1 ks 7909
1 ks B250C1500

Ostatní součástky

1 ks transformátor GERTH 304.24-2
1,6 VA/2x 12 V/75 mA
1 ks přepínač 3x4 DS3PC
1 ks pojistka T/0,080 MINI PCB
2 ks přístrojové zdířky (černá a červená)

Dále pak skříňka KP6, síťový spínač, konektor CANNON, propojovací kabel,

knoflík, deska s plošnými spoji, vodiče.

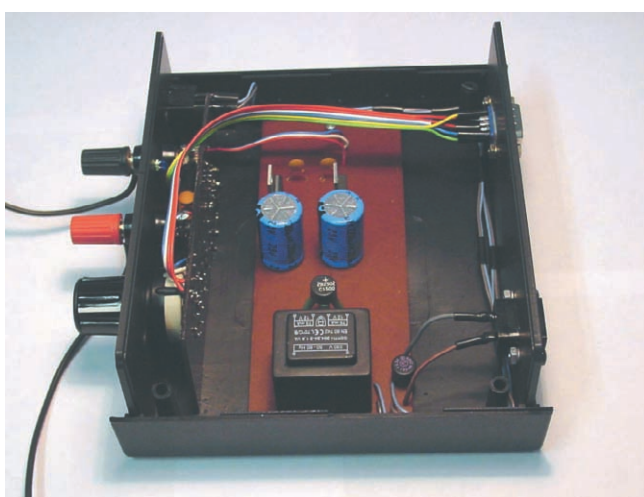
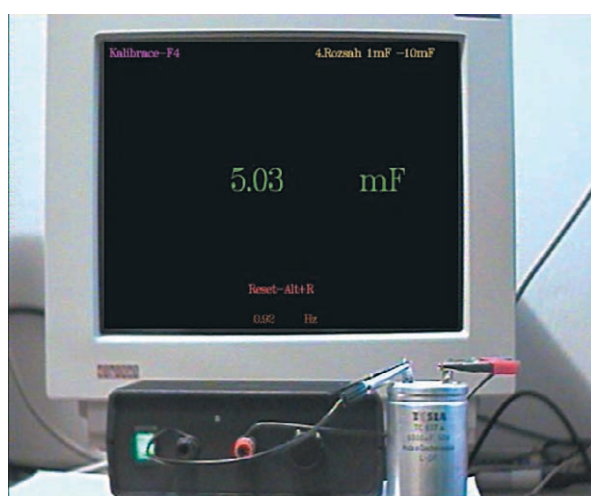
Pro kalibraci doporučuji po 1 ks tyto kondenzátory:

| | |
|-----------|---|
| 1. rozsah | 15 pF (15 až 33 pF) 820 pF |
| 2. rozsah | 1,8 nF (1,8 až 3,9 nF) 680 nF (<1000 nF) |
| 3. rozsah | 1 μ F (2,2 μ F) 1000 μ F |
| 4. rozsah | 1000 μ F 10 000 μ F |

Pro 4. rozsah je nejlépe spojit dva kondenzátory 3300 μ F paralelně a SPAN kalibrovat na 6600 μ F.

Literatura

- [1] <http://sedlacek.ic.cz/> nebo <http://sedlacek.webz.cz/> internetové stránky autora.
- [2] <http://community.borland.com/article/0,1410,20803,00.html> – Programovací jazyk Turbo Pascal 5.5.



Obr. 4 a 5. Fotografie monitoru s ovládacím programem a vnitřku měřiče

Nabíječka alkalických článků

Ing. Štěpán Hušek

V nedávné době se na trhu objevily nové alkalické články se zajímavými vlastnostmi dokazující neustálý vývoj v této oblasti. Na rozdíl od běžných článků NiCd, NiMH apod. mají podle [1] a [2] celou řadu zajímavých vlastností: napětí 1,5 V, malé samovybijení, nemají paměťový efekt, kapacita 1500 mAh, dodávaný proud až 400 mA a v neposlední řadě neobsahují těžké kovy nebezpečné pro životní prostředí.

Tyto výhody však jsou na druhé straně zaplaceny kratší životností – po 25 až 30 cyklech začínají postupně ztrácet kapacitu. Přesto však zvláště při jejich ceně kolem 50 Kč mohou být zajímavou alternativou klasickým akumulátorům, zejména pro některé použití nebo seznámení.

Jednou z dalších vlastností je odlišný způsob nabíjení – nabijíme je ze zdroje konstantního napětí, které u jednoho článku nesmí za žádných okolností překročit 1,65 V. Jednoduchou nabíječku pro první seznámení s alkalickými akumulátory nabízí tato konstrukce.

Na obr. 1 je schéma zapojení. Klasický proudový zdroj je tvořen T1, R1, D1, R2 a R3 pro jemné dodádání proudu. Velikost napájecího napětí volíme podle počtu nabíjených (sériově řazených) článků. Zbylé součástky tvoří jednoduchou ochranu proti přepětí na nabíjeném článku (jakousi „výkonovou Zenerovu diodu“). Při nabíjení jsou tranzistory T2 a T3 uzavřeny a veškerý nabíjecí proud protéká článkem. Ve chvíli, kdy se napětí na článku začne přibližovat kritické hodnotě 1,6 V, začne se otevřít stabilizátor U1 a s ním i T3. Ten otevřívá T2, který začíná přebírat část nabíjecího proudu. Obvod vlastně nevyvíjí nabíjení, ale přebírá nabíjecí proud tak, aby při napětí 1,6 V tekl prakticky plný nabíjecí proud tranzistorem T2 a nikoliv článkem. Je třeba si prakticky změřit dobu nabíjení, protože při nabitém článku se na

T2 ztrácí výkon až 1,5 W (podle počtu článků).

Počet nabíjených článků je dán jednak napájecím napětím a jednak odporem rezistoru R5. Pokud chcete, je možné R5 nahradit přepínačem a sadou rezistorů tak, aby jednotlivé polohy odpovídaly danému počtu článků.

Poněkud problematické je v tuto chvíli nabíjení jediného článku, protože obvod TL431 (U1) dává minimální referenční napětí asi 2,5 V. Pro tento případ je zapojení doplněno infradiodou D2, která s R8 zajistí fungování celé pojistky i při tak malém napětí. Podle schématu je možné zařízení doplnit dvoupólovým přepínačem pro 1 nebo více článků a postavit tak poměrně univerzální nabíječku. Na desce s plošnými spoji jsou shodně s jednotlivými vývody přepínače očíslovaný pájecí plošky, které je možno podle potřeby natrvalo propojit drátovou propojkou. Stejně tak osadíme pouze ty součástky, které jsou potřeba. Při tom je nutné dát si pozor na orientaci tranzistorů; zde použité typy v pouzdře TO126 mají silnější čárku vyznačenu zadní kovovou stěnu pro přichycení chladiče. Na místě T1 je možné použít i jiné výkonové typy, protože deska rozšířena o další dva otvory tak, aby zde bylo možné vložit tranzistor i v jiném pouzdře (pozor na orientaci součástky a zapojení vývodů). Dioda D1 je libovolná běžná červená LED pro proud 20 mA, D2 li-

bovolná levná infračervená dioda (důležité je, aby napěťový úbytek na ní byl okolo 0,95 V, na optických vlastnostech nezáleží).

Při výpočtu odporu R5 vycházíme ze vztahu $U_z = 2,5 \cdot (1 + (R5/R6))$, je však třeba ještě vzít v úvahu napětí na R7, které tvoří přechod báze-emitor T3 a činí asi 0,65 V. O tu velikost je třeba stabilizované napětí zmenšit. Napětí U_z pak stanovíme podle rovnice $U_z = n \cdot 1,6 - 0,65$, kde n je počet nabíjených článků a ze známého odporu R6 dopočítáme R5.

Uvedené odpory R1, R2, R3, R4 platí pro napájecí napětí 12 V a 4 sériově řazené články. Při nabíjení menšího počtu článků (1 až 2) je vhodné zmenšit napájecí napětí až na 6 V a úmerně zmenšit i odpory R1 a R4.

Mechanické provedení záleží na možnostech každého konstruktéra.

Seznam součástek

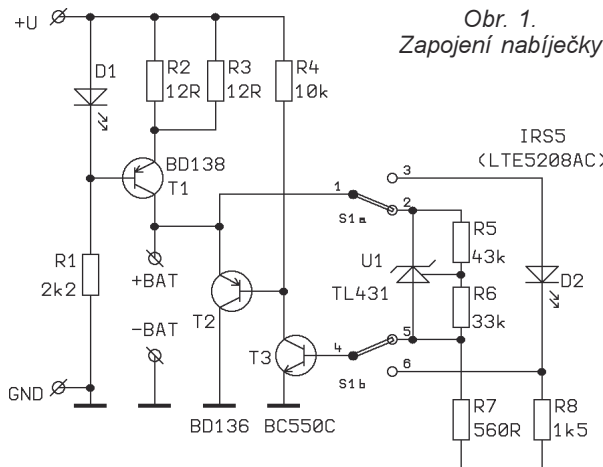
| | |
|--------|-----------------------------|
| R1 | 2,2 kΩ |
| R2, R3 | 12 Ω |
| R4 | 10 kΩ |
| R5 | 43 kΩ |
| R6 | 33 kΩ |
| R7 | 560 Ω |
| R8 | 1,5 kΩ |
| D1 | LED červená 20 mA, viz text |
| D2 | IRS5 (LTE5208AC), viz text |
| T1 | BD138 |
| T2 | BD136 |
| T3 | BC550C |
| U1 | TL431 |
| S1 | dvoupólový přepínač |

Literatura

[1] Hofhans, A.: Zkušenosti s alkalickými akumulátoři. PE 5/1999.

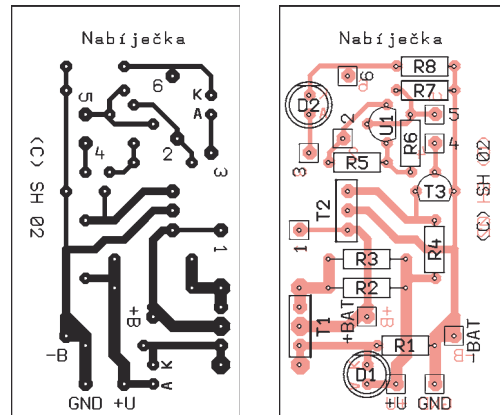
[2] Vodehnal, J.: Nabíječ alkalických článků technologie RAM. Rádio plus - KTE 9/2000, str. 5-9.

Pozn. red.: Většina nabíječek nabíjí alkalické akumulátory spojené paralelně ze zdroje napětí 1,65 V s omezením proudu. Při sériovém spojení může být maximální nabíjecí napětí některého článku překročeno, nabíjeme-li články s různým stupněm vybití, při paralelním řazení však zase teče mezi různě vybitými články vyrovnaný proud.



Obr. 1.
Zapojení nabíječky

Obr. 2 a 3.
Deska
s plošnými
spoji a
rozumístění
součástek



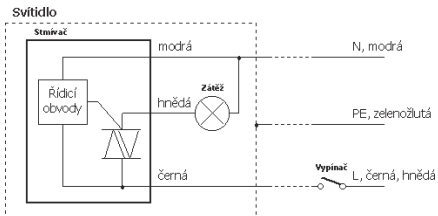
Inteligentní dálkově ovládaný stmívač s regulací jasu

Ing. Vladimír Kozlík a Ing. Pavel Barvíř

Pokud přemýšlite o tom, že si pořídíte stmívač do svítidla v obyvacím pokoji, aby bylo možné při sledování televize zmáčknutím tlačítka vašeho ovladače na televizoru světlo ztlumit do příjemných teplých tónů nebo libovolně regulovat jas světelného zdroje (žárovky), pak si rozhodně přečtěte následující článek. Nabízí netradiční řešení stmívače, který dosahuje minimálně takových vlastností, jako běžné stmívače.

Stmívač je koncipován tak, aby jej bylo možné nainstalovat pokud možno do co nejvíce domácnosti, a to bez dalších úprav elektroinstalace. Další požadavek při konstrukci byl kladen na to, aby bylo možné stmívač dálkově ovládat. Ba co víc, použít k jeho ovládání ovladač, který nebude nutné vyrábět – tedy stmívat stisknutím tlačítka ovladače od televize, od videa nebo věže. Stmívač lze jednoduše na vám zvolené tlačítko ovladače naprogramovat. Také je možné stmívačem zapínat a vypínat úsporné žárovky. V tomto případě pracuje stmívač jen jako dálkově ovládaný spínač. Posledním velmi praktickým požadavkem na konstruovaný stmívač bylo to, aby zůstala zachována funkce stávajícího spínače – je tedy možné světlo vypnout a zapnout běžným způsobem, jak jsme byli doposud zvyklí.

Aby nebylo nutné pro montáž stmívače upravovat elektroinstalaci, je stmívač umístěn ve svítidle. Jeho velikost je o něco málo větší než krabička od sirek. Další výhoda umístění stmívače přímo do svítidla spočívá v jednoduché instalaci a ovládání jasu světelného zdroje. Dostupné IR stmívače montované do krabice spínače se ne vždy nacházejí v přímé viditelnosti.



Obr. 1. Schéma zapojení stmívače do silového obvodu

nosti, čímž je jejich použitelnost omezena.

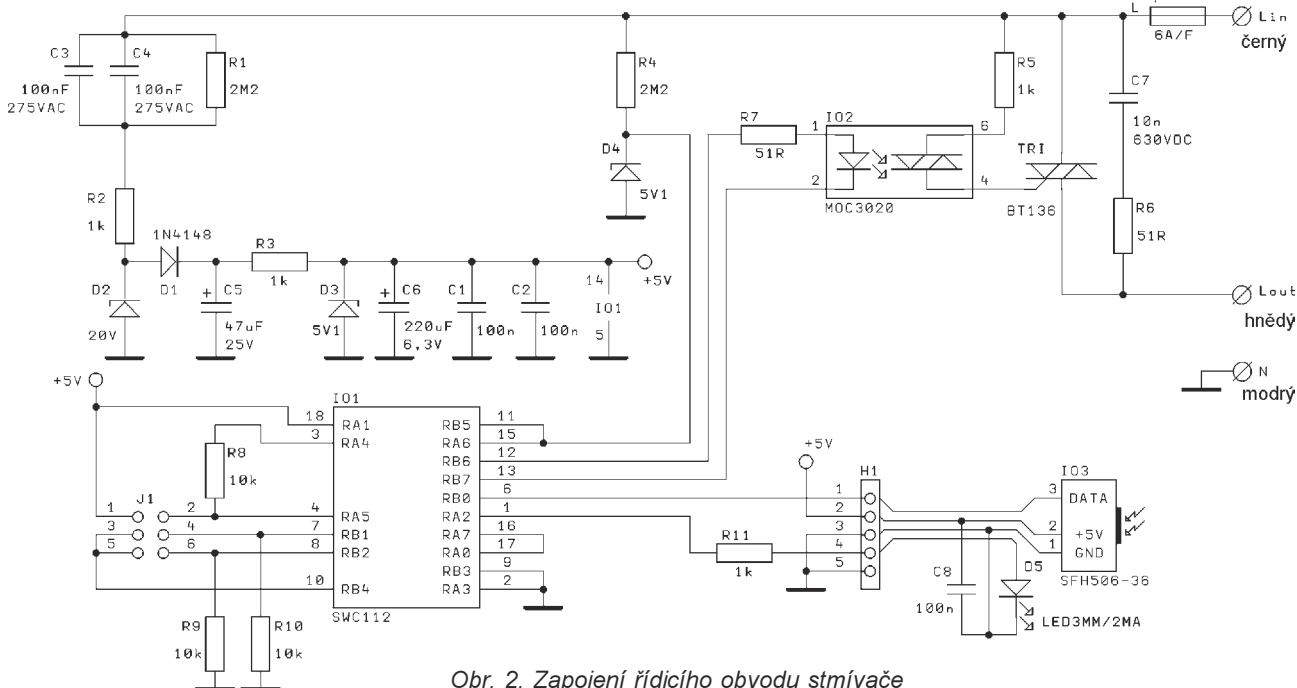
Schéma zapojení stmívače do silového obvodu je na obr. 1.

Stmívač

Celý stmívač je řešen jako plně digitální elektronické zařízení. Jak již bylo zmíněno dříve, je nutné, aby rozložení stmívače byly co nejmenší. Proto je stmívač napájen přímo sítovým napětím, a to pomocí odporek kapacitního děliče. Napětí je stabilizováno Zenerovými diodami (viz schéma stmívače na obr. 2) a filtrováno kondenzátory. Pro řízení byl použit mikrokontrolér PIC16F627, který obsahuje paměť EEPROM. V té je uložen kód zvoleného tlačítka ovladače. „Nula“ sítového napětí se čte programově, a to přivedením napětí přes rezistor 2,2 MΩ na vstup mikrokontroléru. K zemi je zapojena ochranná Zenerova dioda, jejíž funkce je v tomto zapojení pouze symbolická, protože téměř každý vývod mikrokontroléru obsahuje vlastní ochranné diody. Pracovní režim stmívače je nastaven třemi jumpery. Pro snímání signálu z IR ovladače je použito čidlo SFH506-36, které je namontováno na viditelném místě spolu se signalizační LED. Vlastní silový obvod je spínán triakem BT136, jehož řídicí elektroda je spínána optotriakem MOC3020.

Program řídicího obvodu

Po přivedení napájení otestuje řídicí obvod stav propojek a podle navedené kombinace se obvod nalézá ve dvou základních režimech: provoz nebo programování. V režimu provoz je neustále sledován průběh sítového napětí; v okamžiku průchodu napětí



Obr. 2. Zapojení řídicího obvodu stmívače

nulou se spustí odpočítávání vnitřního čítače z hodnoty reprezentující časovou konstantu do nuly. Po vyprázdnění čítače se vygeneruje spínací impuls, jímž je ovládán výkonný člen BT136, následně se aktualizuje vnitřní čítač vypočteným údajem. Údaj zapisovaný do čítače se vypočítává na základě aktuální časové pozice průběhu stmívání a doby příchodu ovládacího impulsu.

V režimu programování se testuje signál z IR čidla SFH506-36. Po digitálním odfiltrování se průběh IR signálu trvale zaznamená do paměti. Pokud je třeba zaznamenat kód jiného dálkového ovladače, lze zaznamenaný kód libovolně přepsat. Po opětovném nastavení propojek do provozního režimu řídící obvod porovnává uložený kód s kódem přijatým IR čidlem, pokud jsou kódy identické, nebo liší-li se od sebe jen nepatrné, provede se příslušná akce (stmívání, „roztmívání“).

Základní parametry stmívače

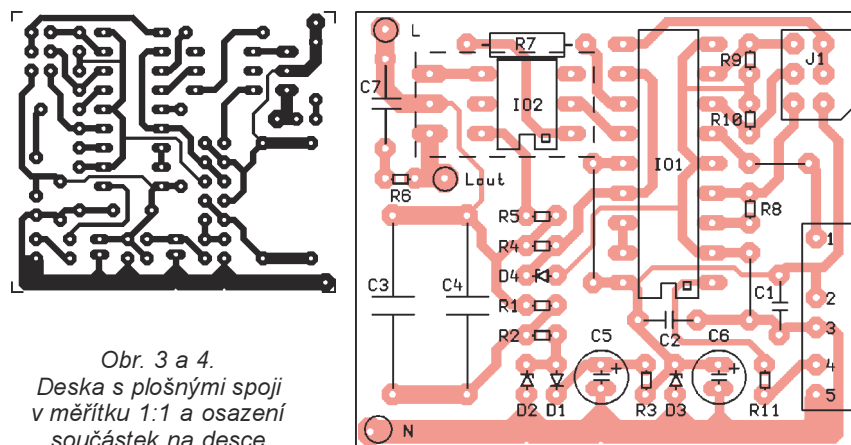
| | |
|--------------------------------------|------------------|
| Maximální spínaný výkon: | 350 W. |
| Maximální spínaný výkon s chladičem: | 800 W. |
| Vlastní spotřeba: | 0,2 W. |
| Počet regulačních kroků: | 140. |
| Rozměr (bez úchyty): | 48 x 42 x 22 mm. |

Stavba stmívače

Nejdříve zapojíme objímkou DIL18 pro řídící obvod, který zatím do objímky nezasouváme. Umístíme obvod IO2 MOC3020 pro spínání triaku a pokračujeme osazením všech rezistorů. Orientace součástek je zobrazena na potisku plošného spoje. Osadíme diodu a Zenerovy diody. Zde je nutno dát pozor na to, aby byla dodřena správná polarita diod (viz rozdílné součástek). Dále umístíme hřebínek pro jumpery a tři drátové propojky, na které použijeme odstřížené drátky z rezistorů a diod. První fázi stavby stavebnice zakončíme osazením kondenzátorů. Nejprve zapojíme keramické kondenzátory, poté kondenzátory elektrolytické – pozor na polaritu – a nakonec fóliové. Ještě připojíme k desce s plošnými spoji silové vodiče (modrý na N, černý na L, hnědý na Lout) a do mezišňurového pojistkového pouzdra vložíme skleněnou pojistku. Triak, IR čidlo a LED zatím neosazujeme, řídící obvod zatím do objímky nezasouváme. Tako osazenou desku umístíme do zatím neopracovaného spodního dílu krabičky, který nám při měření poslouží jako izolační podložka.

Měření

Cílem měření je otestovat, zda je deska správně osazena. Měřit bude-



Obr. 3 a 4.
Deska s plošnými spoji
v měřítku 1:1 a osazení
součástek na desce

me napájecí napětí řídicí elektroniky, které je +5,1 V. Měříme bez zapojeného triaku, IR čidla, LED a řídícího obvodu. Pokud by byla v osazení chyba, mohly by se tyto obvody zničit. Testovací měření je možné provést i bez měřícího přístroje (viz bod 2).

1. Měřicí přístroj je k dispozici

Po pečlivém překontrolování můžeme připojit obvod do napájecí sítě např. pomocí svorkovnice („čokolády“) připojené na vodiče obyčejné síťové šnury: modrý vodič N jako pracovní vodič, černý vodič L připojíme na fázový vodič a hnědý vodič zapojíme do volné svorky „čokolády“.

Dodržujte bezpečnostní zásady pro práci při síťovém napětí!

Rozsah měřicího přístroje nastavíme nejprve na střídavé napětí min. 230 V a proměříme tyto body: napájení řídicího obvodu, vývody objímky 5 a 14. Je-li naměřené střídavé napětí nenulové, je v osazení desky chyba a je nutné vše ještě jednou překontrolovat.

Pokud je vše v pořádku, přepneme rozsah měřicího přístroje na stejnosměrné napětí (typicky měřicí rozsah 20 V). Proměříme opět vývody objímky 5 a 14. Záporným měřicím hrotom na vývod 5 a kladným na vývod 14. Zde musíme naměřit +5,1 V.

2. Měřicí přístroj není k dispozici

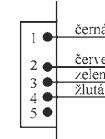
V případě, že nemáte k dispozici měřicí přístroj, zapojte provizorně LED na vývody svorkovnice (viz potisk plošného spoje) 5 katoda LED, 4 anoda LED. Poté propojte drátkem vývod 18 a 1 objímky pro řídící obvod. Nepropojujte vývody ze strany plošných spojů, pouze zasuňte drátek do vývodu objímky. Po pečlivém překontrolování můžeme připojit obvod do napájecí sítě. Pokud LED svítí, je vše v pořádku.

Nejsou-li naměřené údaje shodné s uvedenými nebo LED nesvítí, zkontrolujte správnost osazení desky.

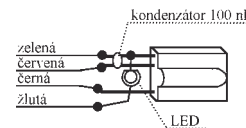
Odpojíme stmívač od napájecí sítě a osadíme triak. Konstrukční umístění triaku na desce plošných spojů je na fotografii.

Pozor, při zapojení stmívače do sítě je fáze na kovové části pouzdra triaku!

V krabičce propilujeme otvory pro propojky jumperů, pro silové vodiče a pro kabel, kterým vedeme vodiče pro LED a IR čidlo. Kabel, na který nasuneme smršťovací bužírku, zapojíme do desky podle obr. 5.



Obr. 5. Připojení kabelu k desce



Obr. 6. Připojení kabelu k čidlu a LED

Je vhodné zapojené vodiče kabelu zalít tavným lepidlem. Na druhý konec zapojíme IR čidlo a LED (obr. 6).

Pokud zaměníme vývody IR čidla, zničí se!

Nyní stačí zasunout řídící obvod do objímky a zavřít krabičku. Stmívač je připraven k závěrečnému odzkoušení a instalaci.

Při manipulaci je nutné dodržet všechny požadavky pro práci se síťovým napětím, aby nedošlo k úrazu elektrickým proudem: vypnout proud, překontrolovat vypnutí a následně zajistit proti nechtěnému zapnutí!

Programování

Nejdříve je nutno nastavit kombinaci propojek a teprve potom připojit na napájení! Programujte z přiměřené vzdálenosti, zabráníte tak nechtěným odrazům IR signálu a chyběnému načtení kódu, doporučená vzdálenost je 1 až 1,5 m.

IRS12 je možné naprogramovat na libovolný kód všech běžně používaných dálkových ovladačů. K dispozici jsou dva režimy: první (standardní),

jenž je určen pro programování jednoho kódu, a druhý, jenž je implicitně určen pro programování dálkových ovladačů vysílajících tzv. toggle bit.

Kombinace propojek 010 (1...propojeno) odpovídá programování ve standardním režimu. Po připojení na napájení se LED rychle rozblíká (* * * * * * * *), po úvodní sekvenci signalizující programovací režim se čeká na stisk tlačítka dálkového ovladače. Uložení vyslaného kódu je signalizováno blikáním (**** * * * * * * * * * *). Po této akci LED stále svítí. Vypnutím napájení a nastavením propojek na požadovaný provozní režim je IRS12 připraven k použití.

Pokud IRS12 reaguje pouze na každý druhý stisk tlačítka na dálkovém ovladači, znamená to, že váš ovladač vysílá standardní kód RC5. Potom využijete druhý programovací režim, který je určen výhradně pro ovladače s kódem RC5. Nastavení tohoto programovacího režimu se provede propojkami na pozicích 110, nebo 011 (1...propojeno). Po připojení na napájení se LED rychle rozblíká a čeká na stisk tlačítka dálkového ovladače. Uložení prvního vyslaného kódu je signalizováno blikáním LED (**** * * * * * * * * * *), poté je nutné stisknout ještě jednou stejné tlačítko. Uložení druhého kódu je signalizováno opět sekencí (**** *), a po této akci LED stále svítí. Pokud při druhém (a dalším) stisku tlačítka dálkového ovladače zabliká LED dvěma krátkými impulsy (* *), znamená to, že váš dálkový ovladač nevysílá kód RC5 s toggle bitem, a proto použijte standardní programovací režim.

Druhý programovací režim lze rovněž použít pro uložení dvou různých kódů, např. jedno tlačítko na dálkovém ovladači televize a jedno tlačítko na dálkovém ovladači rádia, avšak toto použití nedoporučeme.

Provozní režim

IRS12 disponuje dvěma základními režímy. Režimu stmívače odpovídá kombinace propojek 00X, kde X představuje volbu automatického startu, tj. zda má být zapnuto světlo ihned po stisku spínače ($X=0$ – světlo se zapíná, $X=1$ – světlo je nutno zapnout dálkovým ovladačem). Nastavením propojek na 10X je zvolen režim zapnuto/vypnuto, kde X má podobný význam, tj. pro $X=0$ se světlo rozsvítí hned po zapnutí vypínače. Režim stmívače je signalizován při zapnutí sekvenči blikání (*** * *) a režim zapnuto/vypnuto sekvenči (*** *).

1. Stmívač (kombinace propojek 000)

V tomto režimu se po zapnutí vypínače světlo automaticky rozetmí, rozetmění proběhne trojnásobnou rychlostí.

2. Stmívač (kombinace propojek 001)

Stmívač bez roztmívání při zapnutí. Režim je určený především tam, kde by náhlý výpadek proudu mohl způsobit nežádané zapnutí.

3. Spínač (kombinace propojek 100)

Režim zapnuto/vypnuto je primárně určen pro spínání klasických nebo halogenových žárovek. Spíná při průchodu napětí nulou. S IRS12 lze však spínat i kapacitní zátěž (úsporné zářivky) a indukční zátěž (halogenové žárovky 12 V s transformátorem). Je možné ho použít i pro zapínání/vypínání zásuvek. Po připojení do elektrické sítě je zapnuto.

4. Spínač (kombinace propojek 101)

Režim podobný jako v předchozím případě, ale zátěž je po zapnutí na pájecího napětí vypnuta.

Ovládání

Dálkový ovladač namířte směrem na IRS12 a stiskněte zvolené tlačítko. Úspěšné přijetí kódu je signalizováno LED (* * * *) a ihned se povel provede. Jelikož je stmívač ovládán jedním tlačítkem, posloupnost povelů se opakuje následujícím způsobem: rozsvěcování - stop - stmívání - stop - rozsvěcování - ... (stmívač).

Při požadavku rozsvícení (rozsvěcování až do maxima) není nutné vyslat povel stop, rovněž tak pro úplné zhasnutí (stmívání až do vypnutí) stačí jen jeden stisk tlačítka dálkového ovladače.

V režimu spínače se střídá: zapnuto - vypnuto - zapnuto - ... atd.

Pozn.: Při volbě režimu stmívače s automatickým startem je náběh 3x rychlejší než při použití dálkového ovladače.

Naprogramovaný procesor a desku s plošnými spoji je možné objednat za

229,-Kč (+ poštovné a balné 60,-Kč) na e-mailové adresu: homel@seznam.cz, nebo případně na adresu: Pavel Barvíř, Hněvkovského 1375, 149 00 Praha 4, (barvirp@fel.cvut.cz).

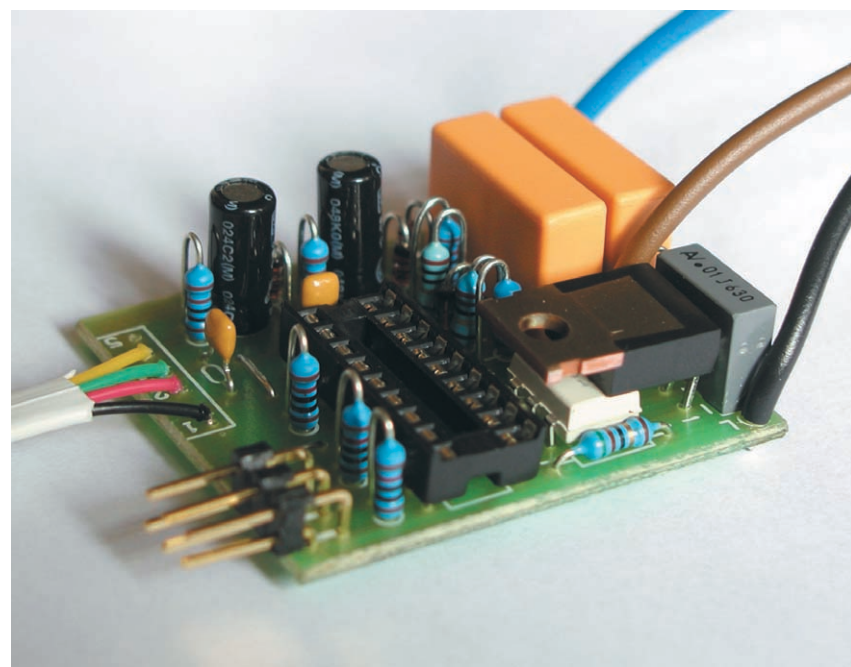
Podrobný návod na stavbu stmívače je i na internetové adrese www.sweb.cz/homel.

Seznam součástek

| | |
|-------------|---------------------------------------|
| R1, R4 | 2,2 MΩ |
| R2, R3, | |
| R5, R11 | 1 kΩ |
| R6, R7 | 51 Ω |
| R8, R9, R10 | 10 kΩ |
| C1, C2, C8 | 100 nF/63 V, ker. |
| C3, C4 | 100 nF/275 VAC, fól. |
| C5 | 47 μF/25 V, el. |
| C6 | 220 μF/6,3 V, el. |
| C7 | 10 nF/630 VDC, fól. |
| D1 | 1N4148 |
| D2 | BZX83V20, Zenerova dioda 20 V/0,5 W |
| D3, D4 | BZX83V5.1, Zenerova dioda 5,1 V/0,5 W |
| D5 | LED zelená, 3 mm/2 mA |
| IO1 | PIC16F627 (SWC112 řidící obvod) |
| IO2 | MOC3020 |
| IO3 | SFH506-36 |
| TRI | BT136-600 |
| J1 | propojka pro jumpery 3 X 2 páry |

objímka DIL18 pro řidící obvod
deska s plošnými spoji
2x jumper

1x pojistka 6,3 A rychlá
1x pojistkové pouzdro na kabel
1x krabička UKM2A s úchyty
telefonní kabel černý 20 cm
10 cm licna 1 mm² hnědá a modrá
3 cm smrštitelná bužírka černá



Spouštěcí obvod pro fotografický blesk

Daniel Špulák

Při fotografování v místnosti jen za použití blesku umístěného na fotoaparátu je na snímku zpravidla nedostatečně osvětlené pozadí. Tomu se dá zabránit použitím dalšího blesku. Popsaný obvod umožňuje opticky spouštět další běžně prodávané fotografické blesky napájené z vlastní baterie.

Schémat s touto funkcí již bylo uveřejněno několikrát, obvody však byly určeny převážně pro blesky napájené síťovým napětím. Proto jsem vyvinul tento obvod, který navíc umožňuje používat i tzv. předblesk proti efektu červených očí.

Popis funkce

Spouštěcí obvod reaguje při správném nastavení poměrně citlivě: ve dne ho lze v místnosti odpálit i na vzdálost větší než 8 m. Fototranzistor přitom rozhodně nemusí být namířen na fotoaparát; zcela postačí např. odraz od stěn.

Pracuje-li tento spouštěcí obvod v normálním režimu, odpálí ovládaný blesk ihned, zaznamená-li nárušt osvětlení (záblesk blesku na fotoaparátu). Pokud je přepnut do režimu fotografování s předbleskem, po zaznamenání prvního záblesku vyčkává asi 2 sekundy na další záblesk a teprve s jeho příchodem odpálí ovládaný blesk. Z toho vyplývá, že tuto funkci lze použít jen ve spolupráci s fotoaparáty, které před exponováním snímku vysílají pouze jeden předblesk!

Fotografický blesk, který jsem měl k dispozici, byl původně spouštěn prostřednictvím kabelu zakončeného spe-

ciálním dvoupólovým konektorem. Jeden z těchto vodičů byl spojen s kladným pólem baterie (+6 V). Ten-to kabel jsem nahradil třemi vodiči: +6 V, 0 V a spouštění. Napájecí napětí je zmenšeno diodou D1 a přivedeno na C1, který snižuje jeho kolísání. Osvětlení snímá fototranzistor SP213 (nebo podobný). Na kolektoru T1 je v klidu napájení blízké napájecímu. Při zvětšení osvětlení se toto napětí zmenší. Zvolené uspořádání zajišťuje, že pro spuštění blesku je rozhodující strmost nárůstu osvětlení, ne jeho intenzita. Signál z kolektoru T1 je invertován hradlem IC1A a přiveden na hradlo IC1B. Pokud je přepínač v zakreslené poloze, jsou v tuto chvíli oba vstupy na úrovni H, což se projeví otevřením tranzistoru T2 buzeného hradlem IC1C. Triak sepne a odpálí blesk.

Jinak je tomu při dolní poloze Př1. Zábleskem se spustí časovač 555 (U1). Na jeho výstupu bude asi po 2 sekundách úroveň H a kontrolní LED D3 se rozsvítí. Prvním zábleskem se však ovládaný blesk neodpálí, neboť ještě není nabité C6 a na výstupu hradla IC1B je tedy úroveň L. Při příchodu druhého záblesku je C6 již nabité a blesk je odpálen. Pokud do 2 s druhý záblesk nenásleduje, přejde celý obvod do výchozího stavu.

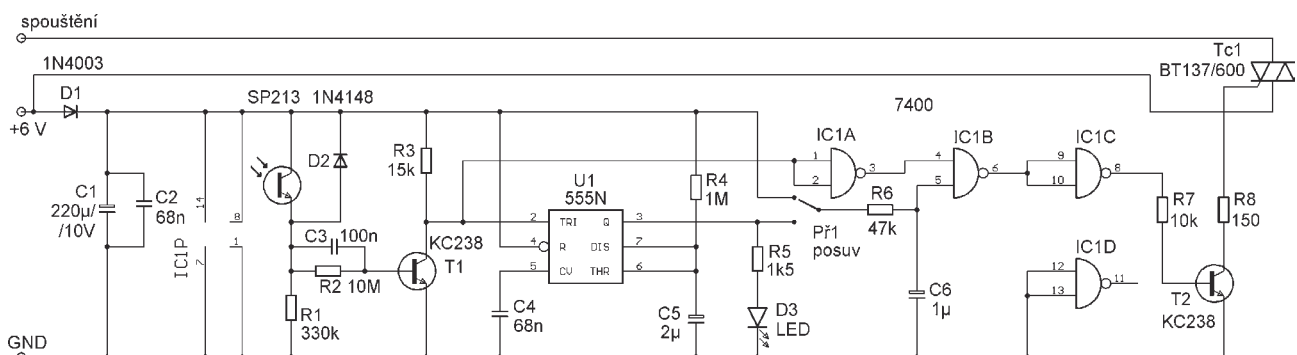
Sestavení a oživení

Celý obvod je postaven na jednostranné desce s plošnými spoji o rozmerech 5 x 3 cm. Tu lze umístit např. do krabičky od bonbonů TicTac a připevnit zvenku na blesk (od vestavění dovnitř jsem upustil kvůli nedostatku místa). Desku umístíme tak, aby fototranzistor směřoval stejným směrem jako reflektor odpalovaného blesku. Po osazení všech součástek (nezapomeňte na drátové propojky a pozor na orientaci elektrolytických kondenzátorů, diod, integrovaných obvodů a hlavně obou tranzistorů – na desce jsou zakresleny zrcadlově!!) propojíme desku s bleskem – +6 V a spouštění připojíme na stejně místo jako původní vodič, 0 V pak propojíme se záporným pólem baterie. Pak zkонтrolujeme funkci: zapneme blesk a po jeho nabíti například zastíníme fototranzistor rukou, kterou pak prudce oddálíme. Blesk by se měl podle polohy Př1 buď přímo odpálit, nebo by se alespoň měla rozsvítit D3. Upozorňuji, že spouštěcí obvod pravděpodobně nebude reagovat například na rozsvícení žárovky, v tomto případě není strmost nárůstu osvětlení dostatečně velká. Nejlepší je testovat obvod fotoaparátem, v němž není založen film.

Pokud obvod nereaguje, změřte napětí na kolektoru T1. Mělo by být větší než asi 3 V. Není-li, zmenšete odpor R3. Pokud se naopak příliš blíží napájecímu napětí, můžete R3 zvětšit, případně upravit hodnoty ostatních součástek. Pro správnou funkci je také nezbytné, aby odběr spouštěného blesku prudce nekolísal (s výjimkou okamžiku při odpálení)!

Použity integrovaný obvod 7400 není pro toto zapojení nevhodnější, ukázalo se však, že zde pracuje spolehlivě. Triak BT137/600 byl vybrán náhodně ze „šuplíkových zásob“, určitě lze použít i jiný typ.

Pozor! Uvnitř blesku se může i dlouho po vypnutí vyskytovat vysoké napětí! Nesnímejte kryt nabitého blesku. Po sejmání krytu se nejprve ničeho nedotýkejte a například šroubovátkem s izolovanou rukojetí zkratujte vývody elektrolytického kondenzáto-



Obr. 1. Zapojení spouštěcího obvodu

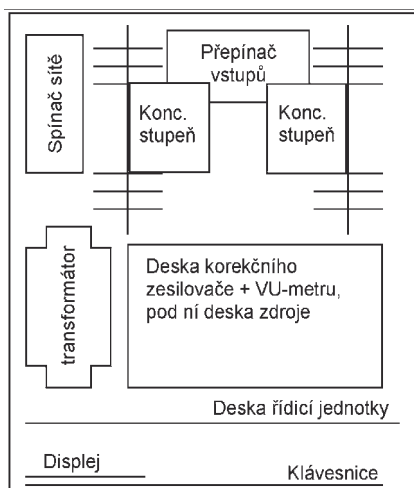
Zesilovač 2x 15 W s PIC

Ivo Strašil

(Dokončení)

Seznam součástek

| | |
|------------------|-------------------|
| R1 až R3 | 560 Ω |
| R4 až R7 | 390 Ω |
| R8, R9, R12, R13 | 2,7 k Ω |
| R11, R22 až R28 | 10 k Ω |
| R13 až R21 | 20 k Ω |
| C1 | 20 pF |
| C2 až C4 | 100 nF, keramický |
| D1 | tříbarevná LED |
| T1 až T4 | KC507 |
| T5 | BC546 |
| U1 až U3 | 74LS373 |
| U4 | 74HCT373 |
| U5 | 74LS241 |



Obr. 21. Mechanická konstrukce zesilovače

| | |
|------------------------------|------------------|
| U6 | PIC16F84-04 |
| SW1 až 9 | spínací tlačítka |
| DISP1 až 4 | LQ410 apod. |
| Rámeček a filtr před displej | |

Konstrukce

Zesilovač je vestavěn v černé krabičce KK09-23251 z ocelového plechu (lze ji běžně sehnat).

Desky korekčního zesilovače a zdroje jsou umístěny pod sebou na distančních sloupcích, desky koncových stupňů drží za IO na chladičích. Klávesnice je na distančních sloupcích z desky RJ, displej je přilepený k rámečku v přední stěně. Síťová šňůra je připevněná kabelovou průchodkou, pod spínačem sítě je uzemňovací šroub, transformátor je upevněn speciálními úhelníky. Celkové mechanické uspořádání je na obrázku 21.

Oživení

S oživováním je vhodné začít od řídicí jednotky s připojenými tlačítky a displejem. Desky osadíme a zasuňeme do objímek všechny IO kromě procesoru a připojíme napájecí napětí 5 V ze stabilizovaného zdroje s elektronickou pojistikou. Proudový odběr by měl být maximálně 250 mA. Vyzkoušíme funkci registrů latch, hlavně jestli není někde zkrat mezi vodiči sběrnice nebo zapomenutá propojka. Pokud si věříte, můžete tuto etapu vy-

nechat, ale může to „odnést“ procesor.

Zasuneme naprogramovaný procesor do objímky. Všechny ovládací prvky by měly pracovat a řídicí jednotka se tvářit, jako by skutečně ovládala zesilovač. Pokud nic nesvítí, zkонтrolujeme funkci oscilátoru RC procesoru a postupné hradlování registrů latch osciloskopem.

V další etapě osadíme desku zdroje, změříme napětí na jejich výstupech a propojíme ji s řídicí jednotkou. Přitom také zapojíme desku spínače sítě a odzkoušíme zapínání sítě na pokyn z ŘJ. Nikdy nepřipojujte transformátor k síti přímo bez pojistiky! Transformátor 45 VA má „dost síly“, aby „vyhodil“ jistič 6 A a způsobil si krásný mezikávitový zkrat...

Nezapomeneme také připojit uzemnění a použít pro síťovou šňůru kabelovou průchodku, která ji chrání proti vytržení.

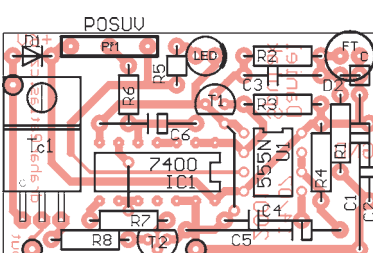
Dále oživíme oba koncové stupně: osadíme desky, připevníme chladič a připojíme k laboratornímu zdroji s pojistikou na 24 V. Ověříme klidový proud - ten by měl být asi 50 mA, pokud je větší, zesilovač pravděpodobně kmitá. Pak připojíme reproduktory a funkci ověříme prakticky.

Na zdroj připojíme pečlivě odzkoušené koncové stupně a propojíme s reproduktory přes relé odpojovače reproduktorů ve zdrojové části. Opět vyzkoušíme spolupráci s řídicí jednotkou, funkci MUTE odpojením reproduktorů.

Nyní přijde na řadu deska korekčního zesilovače. Odzkoušíme postupně předesilovač, poté LM1036 ještě bez multiplexera přivedením ovládání napětí 0 až 5 V na kondenzátory za multiplexerem. Poté osadíme multiplexer a odzkoušíme ovládání z ŘJ. Na propojení s výstupem převodníku DA je vhodné použít stíněný kablík. Dále přijde na řadu celý indikátor vybuzení: tam by neměl být žádný problém.

Seznam součástek

| | | | |
|----|----------------|--------|---|
| R1 | 330 k Ω | R6 | 47 k Ω |
| R2 | 10 M Ω | R7 | 10 k Ω |
| R3 | 15 k Ω | R8 | 150 Ω |
| R4 | 1 M Ω | C1 | 220 μ F/10 V |
| R5 | 1,5 k Ω | C2, C4 | 68 nF |
| | | C3 | 100 nF |
| | | C5 | 2,2 μ F/10 V |
| | | C6 | 1 μ F/10 V |
| | | D1 | 1N4003 |
| | | D2 | 1N4148 |
| | | D3 | LED |
| | | T1, T2 | KC238 |
| | | FT | SP213 |
| | | IC1 | 7400 |
| | | IC2 | 555N |
| | | TR1 | například BT137/600 |
| | | Př1 | posuvný přepínač B144 (viz deska s pl. spoji) |



Obr. 2 a 3. Deska s plošnými spoji a rozmištění součástek na desce

Nakonec připojíme přepínač vstupů a potom otestujeme zesilovač v praktickém provozu. Asi bude nutné odstranit nějakou tu zemní smyčku, případně opravit nějaký studený spoj. Pokud vám nebude vše pracovat na první pokus, nezoufejte. Jde o docela složitou konstrukci, já jsem ji stavěl po večerech asi 3 týdny. S oživováním jsem sice neměl žádný problém, přesto doporučuji každou analogovou část pečlivě vyzkoušet na kontaktním poli s nakoupenými součástkami. Nikdy se mi nestalo, že by zesilovač jevil sklonky ke kmitání nebo že by do signálu pronikalo digitální rušení, způsobené ŘJ.

Návod k obsluze

Rozmístění tlačítek na předním panelu je na obrázku 22. Při připojení sítě se zobrazí číslo verze programu a zesilovač se vypne.

Zapnutí a vypnutí zesilovače tlačítkem SW9

Zapnutí: Zobrazí se On, nastaví se stereo, zobrazí se nastavený zdroj signálu a po chvíli se zapne nf výstup.

Vypnutí: Zobrazí se Off, odpojí se re-

produktovy a po 300 ms se vypne síťové napájení.

Přepínání vstupů tlačítka SW1..4

Na prvních dvou místech displeje se zobrazuje zkratka nastaveného vstupu (PC, tu, tA, Cd). Znaky lze změnit v podprogramu „SHOWIN-PUT“.

Režim MUTE - umlčení

Aktivuje se opětovným stiskem tlačítka zvoleného vstupu, dezaktivuje se dalším stiskem některého z tlačítek vstupů. Indikace znaky -- na 3. a 4. místě displeje.

Při vypnutí a zapnutí zesilovače se režim MUTE automaticky dezaktivuje.

Nastavování hlasitosti, výšek, hloubek, balance tlačítky SW5, SW6 a SW7

Nastavovaná veličina se mění tlačítkem SW5, její zkratka se zobrazuje na prvních dvou místech displeje (HL, tr, bS, bL).

Hodnota se zvyšuje tlačítkem SW7, snižuje se tlačítkem SW6. Hodnota se zobrazuje na 3. a 4. místě displeje (v hexa módu - 00 až FF - malou změnou programu samozřejmě lze změnit

zobrazování na decimální).

Indikace 3barevnou LED

modrá - zesilovač je vypnut, červená - reproduktory jsou odpojeny (mute), zelená - hraje.

Literatura

- [1] Hrbáček, J.: Mikrořadiče PIC16CXX. BEN 1996.
- [2] Hrbáček, J.: Programování mikrokontrolérů PIC16CXX. BEN 1997.
- [3] Hrbáček, J.: Komunikace mikrokontroléru s okolím. BEN 1999.
- [4] Losík, V.: Integrované obvody 2 – nejdůležitější údaje. HEL 1998.
- [5] Dietmeier, U.: Vzorce pro elektroniku. BEN 1999.
- [6] Malina, V.: Poznáváme elektroniku III. KOPP 1997.
- [7] Wirsam, S.: Abeceda nf techniky. BEN 1998.
- [8] Vacek, Vacková: Učebnice programování PIC. BEN 2000.
- [9] Zátopek, Z.: Aplikovaná elektronika. KE 6/96, s. 203.
- [10] Belza, J.: Zapojení s operačními zesilovači. KE 3/97, s. 83.
- [11] www.microchip.cz
- [12] www.asix.cz
- [13] www.gme.cz, www.ges.cz: katalogy GM Electronic a GES-Electronics
- [14] www.cmail.cz/doveda/
- [15] www.hw.cz
- [16] TESLA ELTOS - Katalog elektronických součástek, konstrukčních dílů, bloků a přístrojů 1986.

e-mail: ivo.strasil@centrum.cz



Obr. 22. Rozmístění tlačítek

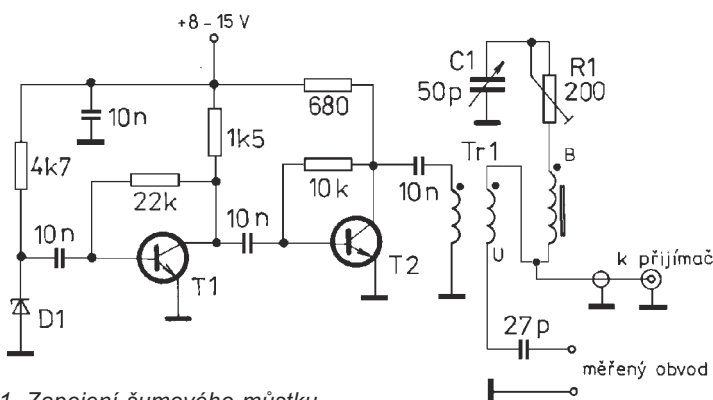
Tab. 2. Výpis programu mikrokontroléru (program lze stáhnout z Internetu na www.aradio.cz)

| | | |
|---|---|--|
| :10000000A001A0147730A200A300A4002130840036 | : | 1001D00008009D08031902291314000013150000DC |
| :10001000030185008600940093002B309700FF3089 | : | 1001E000931040309700AB30980054201C21921E91 |
| :100020009800F9309900F8309A009E179515030151 | : | 1001F0000029BE205420951713116B219315080078 |
| :1000300066006500960016144030A1005420BE20D2 | : | 10020000C920FA2895151D14151200001511EC28A7 |
| :10004000082119309F009F0B27282A2123281C21D3 | : | 1002100013159513931140309700E309800990074 |
| :100050005E2019309F0025288207C034F934A4346B | : | 10022000FF309A0054201311FF30970013109800EC |
| :10006000B0349B3492348234F83480349034883401 | : | 1002300099009A009314080003018500FF3086009E |
| :100070008334C634A13486348E348E3496011614FB | : | 10024000660005140000000060892000301850006 |
| :1000800008000230910052309000900B4528910BEF | : | 1002500066000800960D161A3E20000016181708B2 |
| :10009000432808000F309B002A21FF309C009C0B56 | : | 1002600000009618180800001619190800009619C1 |
| :1000A0004F289B0B4C28080096309B002A21FF30DC | : | 100270001A08000094004120160E1304860005158C |
| :1000B0009C009C0B59289B0B562808001619E12818 | : | 100280000000000003016600850014088600851444 |
| :1000C000131C080096189D2816186F28121A08008D | : | 1002900000000000408AF00A00B50290430A000AB |
| :1000D000082186309700AF30980099000800121868 | : | 1002A0002003213E840015100000951020039504C2 |
| :1000E000782892187828121978289219782808008 | : | 1002B0000301660085001508860085150000000012 |
| :1000F00012080F3903111D06031995289311315C2 | : | 1002C00003016600850000860005160000000096 |
| :1001000012080F399D0095110000151200001511FD | : | 1002D0002F0884000800951F762900080F392C206C |
| :100110001218951592181516121915156B215420E1 | : | 1002E0009A00000E0F392C2099007929BF309900F |
| :100120009517131193156B2108009D019513131555 | : | 1002F0009A001D1882299D1887291D198C299D197E |
| :1001300000093116B21542008009219D528121841 | : | 1003000091290800C6309700A13098000800873076 |
| :10014000A6289218962912199E290800921EAB28FB | : | 10031000970088309800080087309700E3309800F5 |
| :100150001E18B228BE289E18BE281E18C9281E19AF | : | 1003200008008C309700C63098000800800F9A298A |
| :10016000B228C9289E0195169E1415139310C0300D | : | 10033000FF3080006B21A5214A200800800BA129F5 |
| :100170009700FF30980054206B2108009E019512D3 | : | 10034000800A6B21A5214A2008000408213C031DD6 |
| :100180001E1415139310C0309700980054206B2153 | : | 10035000AE2989309700C73098000800408223C75 |
| :1001900008009E0195121E15151793141230970032 | : | 10036000031DB729833097009230980008000408D5 |
| :1001A0009930980054206B210800840A54200408D8 | : | 10037000233C031DC02983309700C7309800080034 |
| :1001B000253C031DDD28213084006B21A5214A2028 | : | 0A03800087309700AF3098000800A6 |
| :1001C0000800121C080013180829161D080016182C | : | 000000001FF |

Šumový můstek k nastavování trapů

Zdrojem širokopásmového „bílého“ šumu v zapojení podle obr. 1 je dioda D1. Jeho úroveň je zesílená na použitelnou hodnotu ve dvoustupňovém zesilovači T1 a T2 s odpovídajícími součástkami. Poněvadž zde není žádná kmitočtová kompenzace, úroveň signálu na výstupu se mění od S9 +20 dB na 1,8 MHz do S7 na 30 MHz. V praxi ovšem tyto rozdíly nevadí. Jestliže impedance připojené v bodech B a U budou stejné, bude můstek využavený a výstupní šumové napětí bude nulové. Jediným problematickým prvkem celého zapojení je trifilárně vinutý transformátor Tr1. V originále byl navinut čtyřmi závity na toroidu typu FT37-43, D1 je Zenerova dioda ZF6,2 a T1, T2 jsou typu 2N2222A (vše v katalogu GES-ELECTRONICS).

Jak se dá můstek využít? Zapojme rezistor 100 Ω 1/4 W na svorky pro měřený obvod a přijímač přes koaxiální kabel. Zapojíme zdroj napětí (8 až 15 V) a v přijímači uslyšíme zřetelný šum. Potenciometrem R1 a změnou C1 nastavíme nejnižší úroveň šumu podle údaje S-metru, příp. sluchem - půjde to až do úrovni šumu vlastního přijímače. Tehdy máme můstek vybalancovaný - impedance, kterou představuje 100oh-



Obr. 1. Zapojení šumového můstku

mový rezistor a přidavné kapacity, je vybalancována nastavením potenciometru R1 a kondenzátoru C1. Vzorek tohoto šumového můstku byl vyroben pro nastavování trapů vícepásmových antén, je popsán v „ARRL Antenna Book“ a naposled zveřejněn v QST 3/2002.

Trap je v podstatě paralelní LC obvod, pochopitelně při rezonanci nebude mít nulový odpor - parazitní kapacity, odpor i indukčnost přívodů se zde určitě projeví. Rezonanční kmitočet zjistíme prolaďováním přijímače - v místě rezonance bude opět úroveň šumu nejnižší. Zde však již budeme mít problém

s přesným nastavením, neboť malá úroveň šumu bude zdánlivě v širokém rozsahu, a proto musíme postupovat obezřetně. Pomůže i osciloskop nebo citlivý nf voltmetr zapojený na výstupu přijímače. Pokud zhotovíme cívky trapů s toroidním jádrem, což lze pro provizorní antény a obzvláště QRP zařízení jen doporučit, pak můžeme měnit indukčnost přímo zvětšováním nebo zmenšováním mezer mezi závity - s pevnou kapacitou bylo možné u trapu pro 21 MHz dosáhnout změny nastavení přibližně od 19 do 22 MHz.

QX

Elektronický miliohmметр

V časopise *Popular Electronics* v dubnu 1991 bylo uveřejněno zajímavé zapojení miliohmmetru s nejnižším rozsahem 0 až 1 Ω . Tranzistor T je zapojen jako zdroj konstantního proudu 1 mA. Ten protéká měřeným rezistorem, na kterém způsobí např. při odporu 1 Ω úbytek napětí 1 mV. Operační zesilovač zesílí úbytek napětí - podle polohy přepínače Př, kterým se nastavuje úroveň zpětné vazby obvodu 10x, 100x nebo 1000x.

Tranzistor použijeme libovolný typu PNP. Pokud máme k dispozici zdroj stabilizovaného napětí ± 9 V, můžeme jej

použít místo baterií. Místo měřidla také můžeme použít multimetr - některé z nich mohou měřit jen proudy a napětí (mají obvykle nejnižší rozsah 2 V). Na rozsahu 2 V pak můžeme měřit odporu 2, 20, 200 Ω .

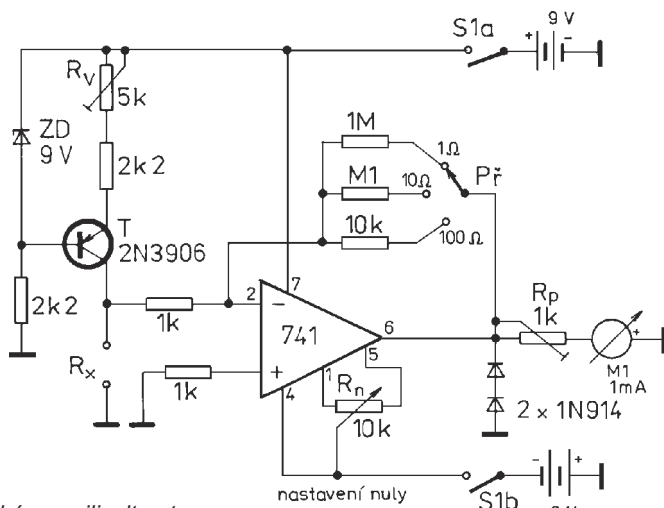
Před každým začátkem měření je třeba nastavit nulovou výchylku na měřidle potenciometrem R_n při zkratovaných svorkách R_x . Cejchování se provádí tak, že zapojíme do R_x rezistor se známým odporem (např. 100 Ω) a potenciometrickým trimrem R_v nastavíme na použitém měřidle zhruba hodnotu použitého rezistoru. Pak nastavíme při zkratova-

ných svorkách R_x nulovou výchylku a postup několikrát zopakujeme. Nakonec nastavíme přesnou hodnotu potenciometrickým trimrem R_p .

TEN-TEC Orion TT565

Nový špičkový (možnostmi i cenou - asi 3300 USD) transceiver nyní nabízí firma TEN-TEC pod názvem Orion TT565. Obsahuje dva 32bitové DSP procesory, což umožňuje dokonalé zpracování signálů. Transceiver má dva na sobě nezávislé přijímače, hlavní je pouze pro radioamatérská pásmá 160-10 m, má šest krystalových filtrů na prvé mf a 590 (!) možností nastavení filtrů v krocích po 10 Hz v šíři 100 Hz až 6 kHz. Druhý přijímač je laditelný v rozsahu 100 kHz až 30 MHz a šíře pásmá je regulována pouze DSP filtry. Vůbec poprvé je zde umožněno zobrazit spektrum přijímaných signálů obou přijímačů současně a navíc - v nízkofrekvenční části je realizován princip panoramatického stereopříjemu (při prolaďování zdola nahoru podle kmitočtu zvukového signálu se ve stereoslušátkách signál přesouvá zleva doprava). Rejekce při funkci notch je lepší jak -60 dB. Výstupní výkon 100 W, je možné regulovat i náběh vysílaných telegrafních značek od 1 ms do 10 ms, zařízení má vestavěn i digitální „magnetofon“ pro 3 telegrafní nebo hlasové relace. Řadu funkcí je možné modifikovat softwarově a nové verze software bude firma dodávat prostřednictvím Internetu.

QX



Obr. 1. Schéma milivoltmetru



POČÍTAČE a INTERNET

Rubriku připravuje **ing. Alek Myslík, INSPIRACE**, alek@inspirace.cz



TICHÝ POČÍTAČ ZEVNITŘ

Jednou z nejpopulárnějších značek počítačů u nás je tuzemský Mironet. Vešel ve známost hlavně jako výrobce tzv. „tichých počítačů“ (kromě známého případu s policií a odporem k Windows). Počítače jsou výkonné a cenově přístupné, jejich „tichost“ si můžete objednat ve třech různých stupních. Dostanete počítač přelepený papírovou pečetí s nápisem, že jejím porušením ztrácíte záruku nejen na počítač jako celek, ale i na jeho jednotlivé komponenty (což mě přiznávám se dost popudilo). Po určité době jsem se odhodlal počítač otevřít i za cenu ztráty záruky – jednak jsem do něj potřeboval něco přidat a nechtělo se mi za montáž platit firmě, jednak jsem byl zvědavý, jak takový tichý počítač vevnitř vypadá. O své poznatky se s vámi tímto podělím.

Odhlučnění počítače obecně lze rozdělit na část pasivní, zabraňující pronikat hluku z počítače ven, a část aktivní, reálně snižující hluk v počítači vznikající.

Hlavními primárními zdroji hluku v počítači jsou ventilátory (ve zdroji, na procesoru, popř. další přídavné) a pevné disky. Sekundárními zdroji jsou veškeré případné vibrace kovových částí počítače, způsobené výše uvedenými otácejícími se komponenty.

Hlavním v poslední době hojně užívaným způsobem ztištění počítače je

snížování otáček ventilátorů a jejich regulace v závislosti na teplotě v počítači (hlavně na teplotě procesoru, pevných disků a prostoru uvnitř skříně).

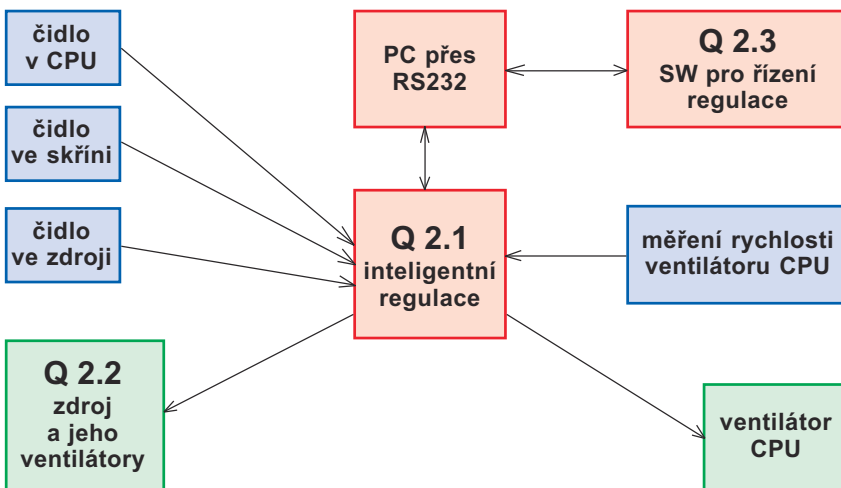
Tiché počítače Mironet

Aktivní odhlučnění počítače Mironet je řešeno pomocí tzv. inteligentní teplotní regulace (následující informace a obrázek pocházejí z dostupné dokumentace firmy Mironet). Její blokové schéma je na obr. 1.

Základní komponenty této inteligentní teplotní regulace jsou přídavná

karta inteligentní regulace, upravený zdroj se dvěma ventilátory a konektorem pro připojení ke kartě inteligentní regulace, teplotní čidla a software pro řízení regulace.

Třemi nezávislými teplotními čidly se měří teplota ve zdroji, teplota procesoru a teplota ve skříně. Dále se měří otáčky ventilátoru na procesoru a jeho otáčky a otáčky ventilátoru zdroje (spolu s dalším přídavným ventilátorem) se řídí šířkovou modulací v závislosti na naměřených teplotách. Tabulka závislosti otáček ventilátorů na teplotách

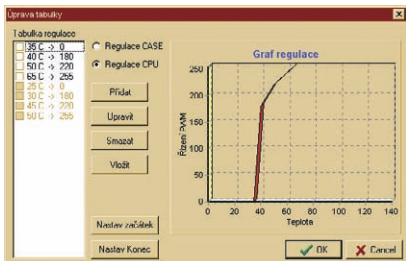


Obr. 1. Blokové schéma inteligentní regulace teploty v tichém počítači Mironet

v PC je uživatelsky libovolně nastavitelná. Dodávaný software pro zobrazování teploty a otáček (viz obr. 2) umožňuje i pohodlnou konfiguraci této tabulky řízení (obr. 3).

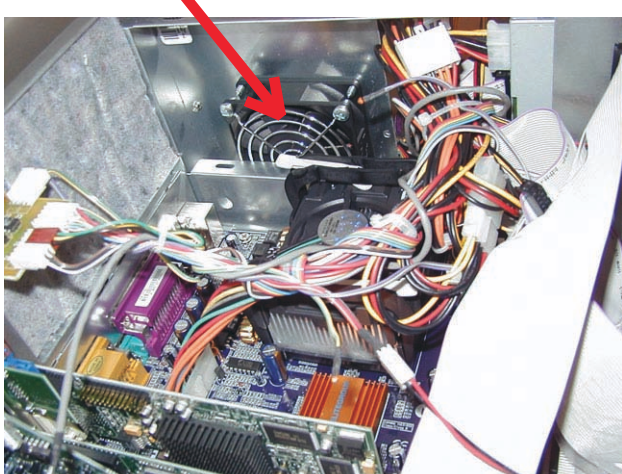


Obr. 2. Obrazovka softwaru pro zobrazení měřených hodnot



Obr. 3. Okno pro individuální tvorbu tabulky řízení regulace

přídavný ventilátor zdroje



Obr. 4. Ventilátor, přidaný na spodní stranu zdroje, má odvádět teplý vzduch od procesoru

ní teploty všech tří čidel a každých 15 vteřin provede měření otáček ventilátoru na procesoru. Dále umožňuje načítat, ukládat a editovat soubory s tabulkami řízení regulace (*.mtt) a tyto posílat do karty regulace.

Tabulka řízení regulace sestává ze záznamů, skládajících se vždy z údaje teploty a hodnoty pro řízení šířkové modulace pro ovládání ventilátorů. Při hodnotě 0 ventilátor stojí, při hodnotě 255 běží naplno. Regulace se chová tak, že při naměření určité teploty proloží přímkou mezi dvěma nejbližšími záznamy v tabulce a na základě toho vypočítá parametr šířkové modulace. Tabulka pro ventilátor na procesoru a pro ventilátory ve skříně je sdílená. Je tedy jen jedna, ale je určeno, kde začíná a kde končí oblast pro ventilátor procesoru a kde začíná a kde končí oblast pro ventilátor zdroje (a skříně). Ventilátor procesoru je řízen přímo údajem čidla na procesoru, zatímco ventilátory zdroje a skříně jsou řízeny průměrem z údajů čidel ve zdroji a ve skříně.

Co je uvnitř

Počítač je ve skříně Morex (obr. 5), která má na přední straně posuvný kryt, jímž lze skrýt všechny zepředu přístupné mechaniky. Pokud to uděláte, sníží se tím slyšitelnost zabudovaných mechanik, což ale není příliš důležité, protože se obvykle používají jedenrázové (snad kromě dlouhodobého přehrávání hudby nebo videa z CD/DVD).

Po uvolnění šroubků lze pohodlně nezávisle na sobě sejmout oba boční kryty, dalšími dvěma šroubkami je připevněn horní kryt. Všechny tyto kryty jsou polepeny tlumicím odhlučňovacím materiélem o tloušťce asi 8 – 10 mm, stejným materiélem je vylepena zevnitř i přední a zadní strana skříně kromě horního prostoru, kde je umístěn zdroj a mechanika. Tlumicí materiál tohoto typu k odhlučňování skříně počítače se dá na našem trhu koupit v několika tloušťkách za cenu asi 700 Kč/m² (z jedné strany má samolepicí fólii),



Obr. 5. Počítač je umístěn ve skříně Morex s posuvným krytem, kterým lze zakrýt přístup k mechanikám



skříň počítače je vylepena tlumící hmotou



Obr. 7. Ventilátor na procesoru Pentium 4 je originální Intel

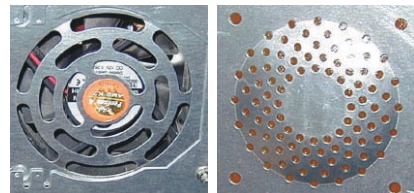


Obr. 8. Umístění ventilátoru na zdroji



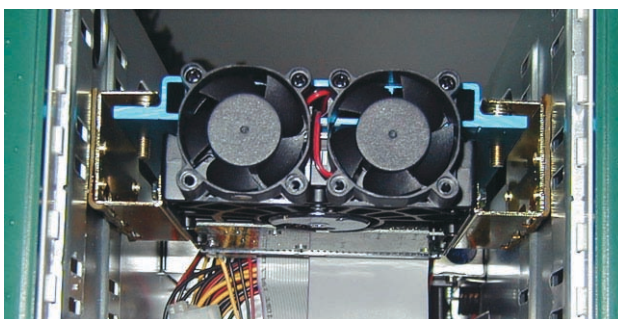
Obr. 9. Přídavný ventilátor na přední stěně počítačové skříně

háněný vzduch proudí. Na přídavném ventilátoru ke zdroji (obr. 8) je optimální mřížka z drátů s kruhovým průrezem, zatímco u základního ventilátoru zdroje i u přídavného ventilátoru skříně jsou ponechány pouze původní otvory ve skříni počítače (obr. 10) – jsou malé, je jich málo a jejich hrany jsou ostré (to vše má negativní vliv na chlazení i na hlučnost).



Obr. 10. Ventilátor zdroje a přídavný ventilátor skříně nemají optimální krycí mřížky

Jak bylo řečeno v úvodu, po ventilátorech je další výrazně hlučnější součástí počítače pevný disk. Byl jsem proto velice zvědav, jakým způsobem je to v počítači Mironet vyřešeno. Podívejte se sami (viz obr. 11). Disk je upev-

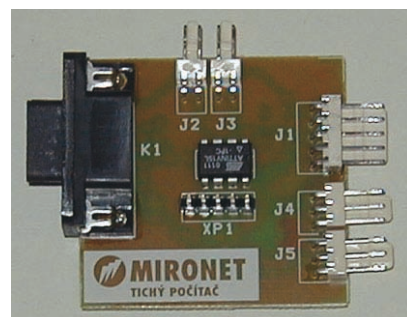


Obr. 11. Pevný disk tichého počítače má velmi efektní chladič se dvěma ventilátory, jeho upevnění a odhlučnění však důvěru nebudí

něn v prostoru pro velké mechaniky pomocí standardních bočnic. Ty nejsou ke skříni vůbec přišroubovány a drží pouze díky vložkám z pružného materiálu o tloušťce asi 3 mm, který je na nich nalepen. Celkový rozměr je tedy větší než vymezený prostor a celá sestava drží ve skříni díky pružnosti plechových dílů a vložek a je zespodu opřena o případnou CD mechaniku nebo plastový rámeček stejně výšky. Disk je opatřen velmi efektivním eloxovaným hliníkovým chladičem se dvěma malými ventilátory. Chladič je na disk přitlačován pomocí čtyř pružinek na připevňovacích šroubech (je přišroubován k plechovým distančním bočnicím disku). Vše je velmi dobře patrné z obrázků (obr. 11).

Na rozdíl od k odhlučnění obvyklé používaných gumových závěsů nebo tzv. silentbloků jsou tady jediným odhlučňujícím prvkem mezi diskem a skříní zmíněné dva kousky pružné hmoty, přičemž ale směrem dolů disk od skříně mechanicky odtlumen není.

Jakákoliv demontáž disku (pokud přidáváte další mechaniku) je velice



Obr. 12. Karta inteligentní regulace teploty a její umístění

pracná a poněkud destrukční, protože zmíněné pružné podložky jsou měkké a přilepené, takže se při přesunu disku poškodí.

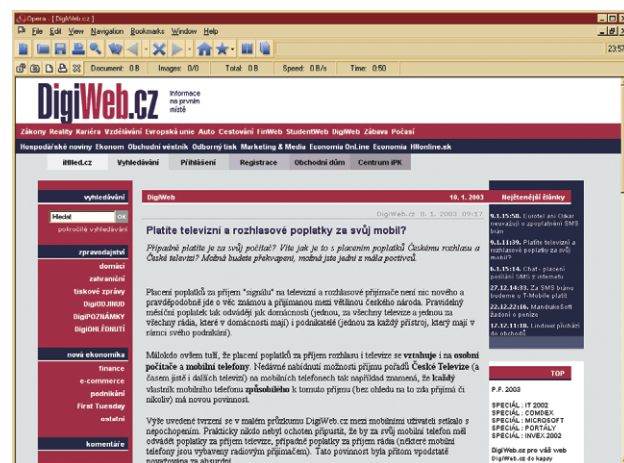
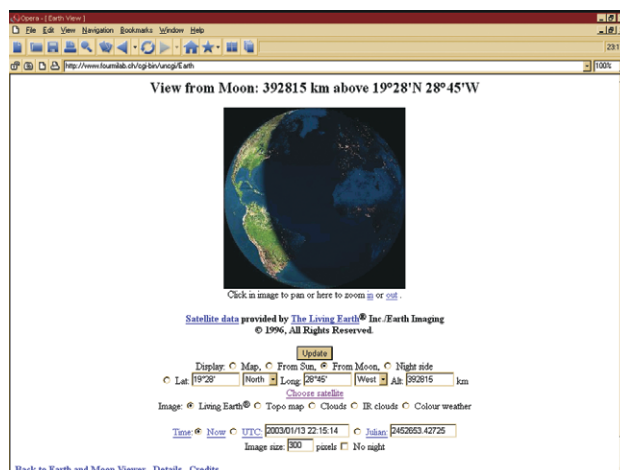
Karta inteligentní teplotní regulace je připevněna na konektoru na vnitřku zadní stěny skříně počítače (obr. 12). Cidla pro měření teploty na procesoru a ve skříni jsou (zřejmě) termistory o základním naměřeném odporu 10 kΩ. Funkce karty zajišťuje mikroprocesor ATMEAL ATTINY15L.

Závěr

Počítač používám asi rok, bez jakéhkoliv závad a je opravdu tichý ve srovnání s vedle postaveným druhým „obyčejným“ počítačem.

To, co je vevnitř, mě však trochu zklamalo, očekával jsem (vzhledem k výši příplatek za odhlučnění) „více“ a „lépe“. Nechtěl bych však vyslovovat nějaký výrazný závěr – proto jsem se snažil vše pouze popsat a vyfotografovat, abyste věděli, co kupujete (jinak to totiž díky „zapecetění“ počítače nezjistíte).

Alek Myslík



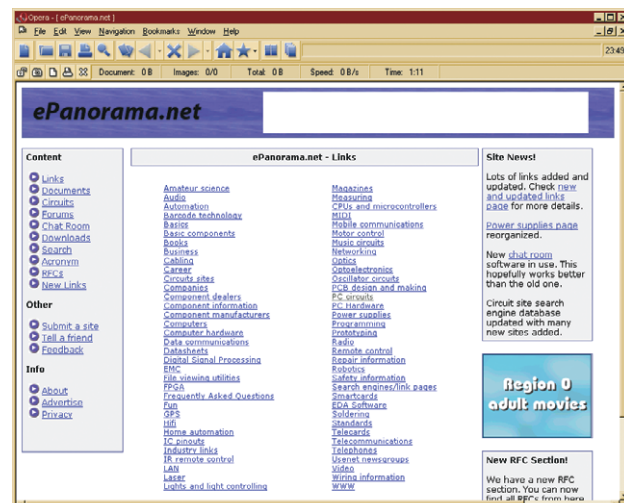
Na stránkách www.fourmilab.ch se můžete podívat, jak vypadá naše Země třeba z Měsíce, ze Slunce nebo z různých satelitů.

Web www.blitzlogic.com nabízí stáhnutí funkčního softwaru pro programování jednočipových mikropočítačů.



Nový DigiWeb založil po svém odchodu od Světu na modro Daniel Dočekal - najdete ho na adrese digiblog.cz.

Na adrese www.epanorama.net najdete množství zajímavých odkazů na „elektronické“ stránky.



IZOLOVANÁ SÉRIOVÁ ROZHRANÍ

Pokud připojujete k počítači různé vnější obvody, ať již regulační, automatizační, měřicí, nebo související s radioamatérským vysíláním, je velice žádoucí, aby byly galvanicky odděleny od obvodů počítače. Ten by tak měl být ochráněn proti styku s připadným pro něj nebezpečným napětím. Galvanické oddělení rovněž zabrání různým nežádoucím vazbám. Několik dále uveřejněných zapojení pochází z Internetu a jeho autory jsou thajští studenti.

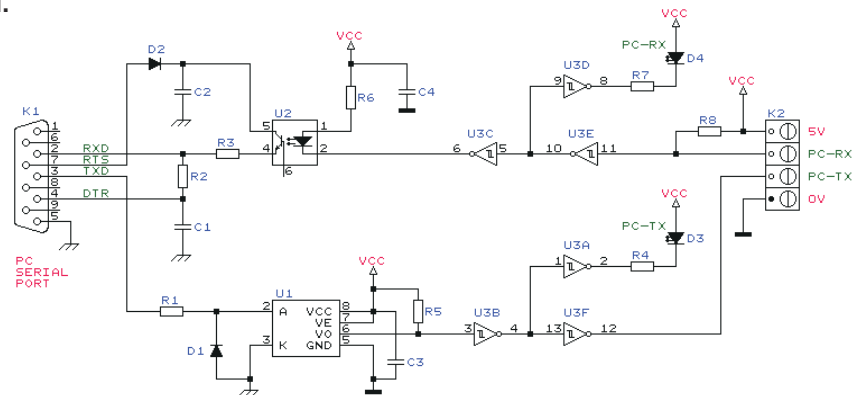
Izolované rozhraní RS232C k PC

Toto zapojení elektricky izoluje linky TxD a RxD rozhraní RS232 od sériového portu počítače a chrání počítač od přímého kontaktu s nebezpečným napětím. Je to zapotřebí i v případech, že připojené obvody pracují se zcela odlišnými napěťovými úrovněmi nebo je-li nutné vyloučit smyčky vznikající společnou „zemí“. Obvod je napájen z připojených obvodů z jedné a druhé strany.

Na obr. 1 je schéma zapojení. Konektor K1 je připojen k sériovému portu počítače, napájení té části obvodu, která je připojena k PC, je získáváno ze signálových linek DTR (negativní) a RTS (pozitivní). Je proto zapotřebí, aby uživatelský software nastavil stav RTS na log. 0 a DTR na log. 1, což umožní získat potřebné napájecí napětí. Linka TxD je izolována integrovaným obvodem U1 a linka RxD obvodem U2.

Vnější strana obvodu pracuje s napěťovými úrovněmi TTL a je napájena zdrojem připojeného zařízení. Integrovaný obvod U3 odděluje signály pro optoisolátory a budí indikační diody LED. Zapojení bylo testováno pro přenosovou rychlosť 19 200 baudů.

Na obrázcích 2 a 3 je obrazec plošných spojů a rozmístění součástek na desce s plošnými spoji.



Obr. 1. Zapojení izolující linky TxD a RxD rozhraní RS232 od sériového portu počítače

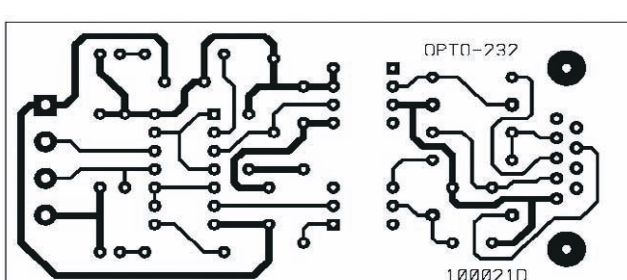
Seznam součástek

zapojení rozhraní RS232 podle obr. 1

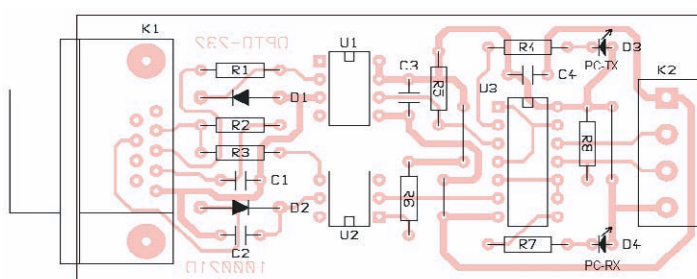
| | |
|--------|--------------------|
| C2, C1 | 470 nF |
| C3, C4 | 100 nF |
| D2, D1 | 1N4148 |
| D4, D3 | LED red 3 mm |
| K1 | DB9 R/A PCB |
| K2 | PCB terminal 4 WAY |
| R1 | 1 kΩ |
| R2 | 1,5 kΩ |
| R3 | 100 Ω |
| R4, R7 | 680 Ω |
| R5, R8 | 4,7 kΩ |
| R6 | 270 Ω |
| U1 | 6N137 |
| U2 | CNY17-3, 4N37 |
| U3 | 74HC14 |

Izolované rozhraní RS422 k PC

Toto zařízení představuje izolované komunikační rozhraní RS422, připojené k PC přes sériový port. Elektricky izoluje linky TxD a RxD od sériového portu počítače a chrání počítač od přímého kontaktu s nebezpečným napětím. Schéma zapojení rozhraní RS422 je na obr. 4. Konektor K1 je připojen k sériovému portu počítače, napájení té části obvodu, která je připojena k PC, je získáváno ze signálových linek DTR (negativní) a RTS (pozitivní). Linka TxD je izolována optoisolátorem U1 a linka RxD optoisolátorem U2.



Obr. 2.
Obrazec
plošných spojů
pro zapojení
rozhraní RS232
podle obr. 1



Obr. 3. Rozmístění součástek na desce s plošnými spoji rozhraní RS232 podle obr. 2

Seznam součástek

zapojení rozhraní RS422 podle obr. 4

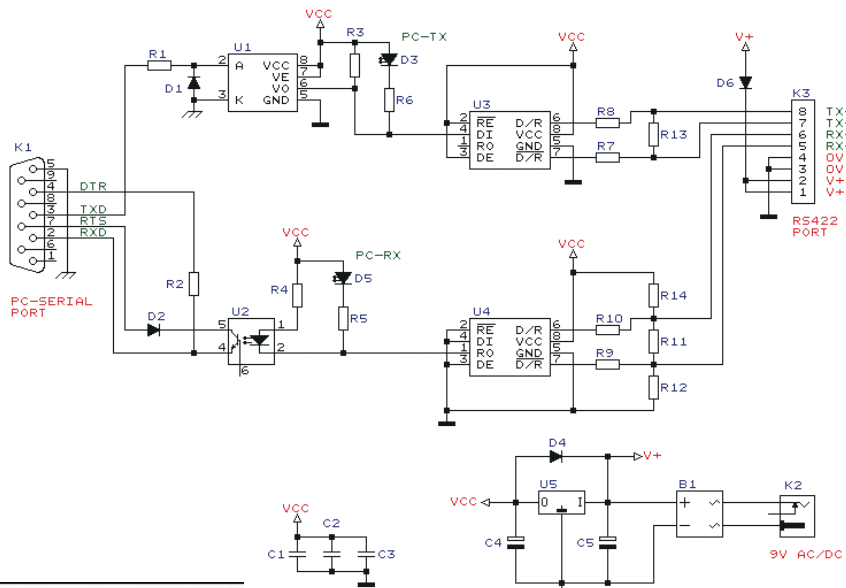
| | |
|--------------------|------------------|
| B1 | můstek 1 A/100 V |
| C1, C2, C3 | 100 nF keramický |
| C4 | 10 µF 16 V |
| C5 | 470 µF 25 V |
| D1, D2 | 1N4148 |
| D5, D3 | LED red 3 mm |
| D4, D6 | 1N4003 |
| K1 | DB9 R/A PCB PLUG |
| K2 | DC JACK SOCKET |
| K3 | SIP CON 8 WAY |
| R1, R2, R5, R6 | 1 kΩ |
| R3 | 4,7 kΩ |
| R4 | 470 Ω |
| R7, R8, R9, R10 | 10 Ω |
| R13, R11 | 120 Ω |
| R14, R12 | 680 Ω |
| U1 | 6N137 |
| U2 | CNY17-3 |
| U3, U4 | SN75176B, MAX485 |
| U5 | LM7805 |

Vnější strana připojení pracuje s úrovní TTL. Je napájena neregulovaným stejnosměrným napětím v rozsahu 9 až 12 V. Integrovaný stabilizátor napětí U5 poskytuje stabilizovaných 5 V pro napájení a integrované obvody U3 a U4 zajišťují rozhraní sběrnice RS422. Stav linek TxD a RxD je indikován diodami LED.

Zapojení bylo testováno pro přenosovou rychlosť 19 200 baudů.

Na konektoru K3 jsou signály sběrnice RS422 a neregulované napájecí napětí. Data ze sběrnice RS422 mohou být počítacem přijímána pouze při adekvátním nastavení linek RTS a DTR (RTS = log. 1, DTR = log. 0)

Na obrázcích 5 a 6 je obrazec plošných spojů a rozmištění součástek na desce s plošnými spoji.



Obr. 4. Zapojení izolující linky sběrnice RS422 od sériového portu počítače

Izolované rozhraní RS485 k PC

Obr. 5. Obrazec plošných spojů pro zapojení rozhraní RS422 podle obr. 4

Tento obvod představuje izolované komunikační rozhraní RS485, připojené k PC přes sériový port. Elektricky izoluje linky TxD a RxD od sériového portu počítače a chrání počítač od přímého kontaktu s nebezpečným napětím.

Schéma zapojení rozhraní RS422 je na obr. 7. Konektor K1 je připojen k sériovému portu počítače, napájení té části obvodu, která je připojena k PC, je získáváno ze signálových linek DTR (negativní) a RTS (pozitivní). Linka RTS je rovněž využita k řízení směru toku dat budiče U4 RS485.

Optickou izolaci zajišťují optoizolátory U1, U2 a U3. U1 řídí směr toku dat U4, U2 zajišťuje izolaci linky RxD a U3 izolaci linky TxD.

Vnější strana připojení pracuje s úrovní TTL. Je napájena neregulovaným stejnosměrným napětím v rozsahu 9 až 18 V. Integrovaný stabilizátor napětí U5 poskytuje stabilizovaných 5 V pro napájení a integrované obvod U4 tvoří rozhraní sběrnice RS485.

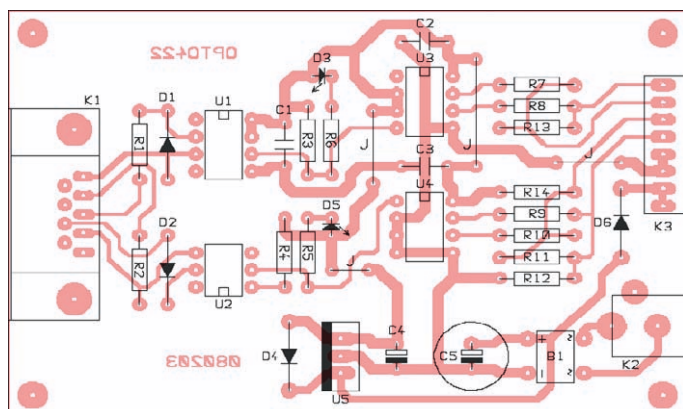
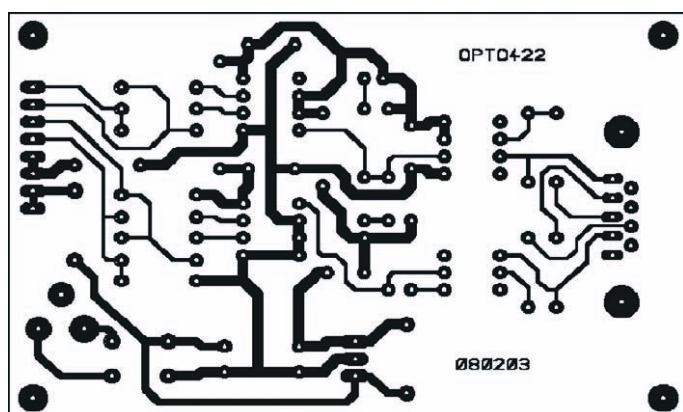
Stav linek TxD a RxD je indikován diodami LED.

Linka RTS sériového portu počítače je pro příjem dat na úrovni log. 1, pro vysílání dat na úrovni log. 0. Linka DTR sériového portu počítače je stále na úrovni log. 0 (negativní napětí).

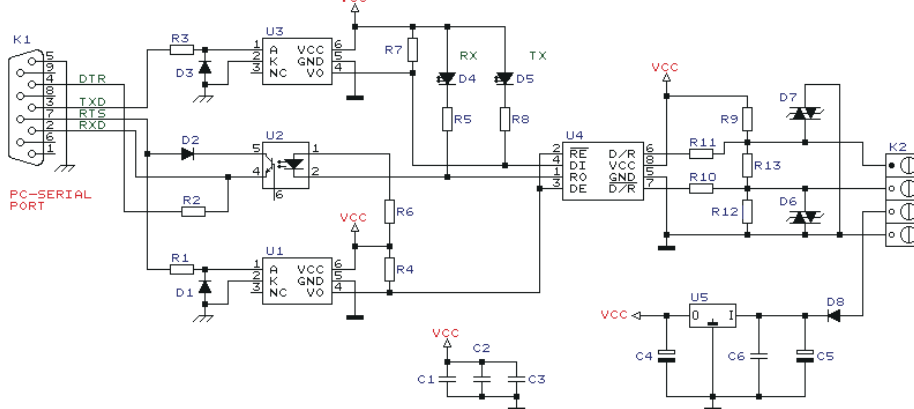
I toto zapojení bylo testováno pro přenosovou rychlosť 19 200 baudů.

Na obrázcích 8 a 9 na další straně je obrazec plošných spojů a rozmištění součástek na desce s plošnými spoji.

M Asim Khan



Obr. 6. Rozmištění součástek na desce s plošnými spoji rozhraní RS422 podle obr. 5



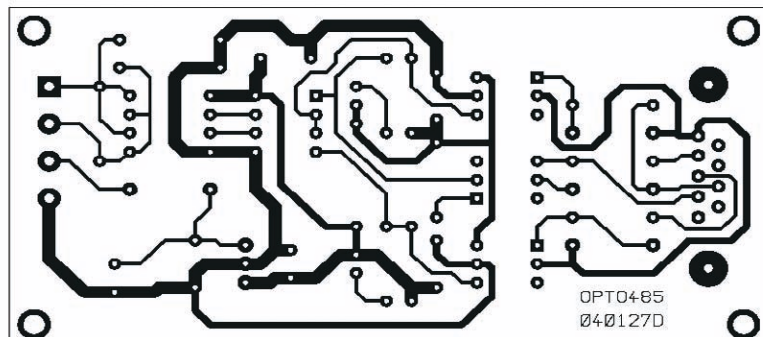
Obr. 7. Zapojení izolující linky sběrnice RS422 od sériového portu počítače

Seznam součástek

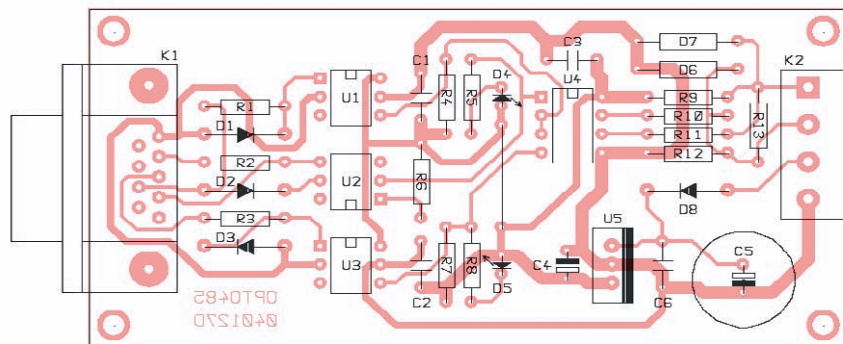
zapojení rozhraní RS485 podle obr. 7

| | |
|------------|------------------|
| C1, C2, | |
| C3, C6 | 100 nF |
| C4 | 10 μ F 16 V |
| C5 | 470 μ F 25 V |
| D1, D2, D3 | 1N4148 |
| D4, D5 | LED red 3 mm |
| D7, D6 | Transil 6,8 V |
| D8 | 1N4003 |
| K1 | DB9 R/A PCB |
| K2 | PCB Terminal |

| | |
|------------|---------------------|
| R1, R2, R3 | 1,8 k Ω |
| R7, R4 | 4,7 k Ω |
| R5, R8 | 1 k Ω |
| R9, R12 | 150 Ω |
| R6 | 680 Ω |
| R11, R10 | 10 Ω |
| R13 | 120 Ω |
| U3, U1 | optoizolátor H11L1 |
| U2 | CNY17-3 |
| U4 | MAX487, SN75176B |
| U5 | LM7805 |



Obr. 8. Obrazec plošných spojů pro zapojení rozhraní RS485 podle obr. 7



Obr. 9. Rozmístění součástek na desce s plošnými spoji rozhraní RS485 podle obr. 8

KDO VÁM UDĚLÁ PLOŠNÉ SPOJE

V přehledové informaci o výrobcích plošných spojů v České republice v minulém čísle jsme uvedli o firmě Semach jen to, že má na svých stránkách pouze pf 2003. Odkaz na jiný web s jejími stránkami byl v té době (a na druhý pokus i začátkem ledna) nefunkční - nyní už funkční je a rádi vám jej představujeme. Doplňujeme i web firmy, kterou nám vyhledávače nenabídly, i když u nás pravidelně inzeruje a vyrábí plošné spoje i pro konstrukce z našeho časopisu.

Firma Semach vyrábí plošné spoje jednostranné i obousměrné (prokovené i neprokovené) v třídách přesnosti I. až V. a v nejnižších cenách, které jsme na Internetu našli. Běžný termín zhotovení je 10 dnů, s přirážkami za expresní provedení lze ale desku získat i do 24 hodin. Výrobce akceptuje všechny standardní elektronické formáty i papírové předlohy. Podívejte se sami na www.semach.cz.

Screenshot of the Semach website showing a quote from Jaromír Buček: "Kdo vám udělá plošné spoje". The website features a search bar, navigation menu, and a table comparing prices for different types of boards:

| Ploška | Nevázané dlužky | Přidává | Vlastní | Vlastní s makrou |
|--------|-----------------|---------------------|----------|------------------|
| do 1 | Lub. — | jednotky, obousměr. | Příprava | — |
| do 2 | 60,00 | 90,00 | 110,00 | 23,40 |
| do 3 | 65,00 | 90,00 | 90,00 | 21,70 |
| do 4 | 70,00 | 70,00 | 80,00 | 20,00 |
| do 5 | 48,00 | 61,00 | 83,00 | 18,40 |
| do 6 | 49,00 | 52,00 | 77,00 | 14,30 |
| do 7 | 41,00 | 46,00 | 73,00 | 14,30 |
| do 8 | 39,00 | 46,00 | 67,00 | 12,10 |
| do 9 | 39,00 | 46,00 | 66,00 | 12,00 |
| do 10 | 38,00 | 41,00 | 63,00 | 11,00 |
| do 11 | 38,00 | 42,00 | 63,00 | 11,00 |
| do 12 | 37,00 | 42,00 | 54,00 | 11,70 |
| do 13 | 37,00 | 42,10 | 52,00 | 11,60 |
| do 14 | 37,00 | 42,00 | 50,00 | 11,50 |
| do 15 | 37,00 | 42,40 | 54,00 | 11,70 |
| do 16 | 37,00 | 42,10 | 51,00 | 11,00 |
| do 17 | 37,00 | 42,10 | 51,00 | 11,00 |
| do 18 | 37,00 | 41,10 | 49,00 | 10,90 |
| do 19 | 37,00 | 40,70 | 49,00 | 10,90 |
| do 20 | 37,00 | 40,70 | 49,00 | 10,90 |
| do 21 | 35,00 | 39,20 | 41,00 | 8,80 |
| do 22 | 34,40 | 37,70 | 39,00 | 8,80 |
| do 23 | 34,40 | 34,00 | 37,00 | 8,80 |
| do 24 | 29,90 | 32,00 | 35,00 | 8,80 |
| do 25 | 27,00 | 30,10 | 34,00 | 8,80 |
| do 26 | 27,00 | 30,10 | 34,00 | 8,80 |
| do 27 | 24,60 | 26,00 | 32,00 | 6,00 |

Screenshot of a web browser showing a table of one-sided printed circuit boards produced by Jaromír Buček. The table includes columns for board type, length, width, thickness, price, and delivery time.

| Ceník jednostranných plošných spojů vyroběných fotocestou | | | | | |
|---|-----------------|---------------------|----------|------------------|--|
| Ploška | Nezávané dlužky | Přidává | Vlastní | Vlastní s makrou | |
| do 1 | Lub. — | jednotky, obousměr. | Příprava | — | |
| do 2 | 60,00 | 90,00 | 110,00 | 23,40 | |
| do 3 | 65,00 | 90,00 | 90,00 | 21,70 | |
| do 4 | 70,00 | 70,00 | 80,00 | 20,00 | |
| do 5 | 48,00 | 61,00 | 83,00 | 18,40 | |
| do 6 | 49,00 | 52,00 | 77,00 | 14,30 | |
| do 7 | 41,00 | 46,00 | 73,00 | 14,30 | |
| do 8 | 39,00 | 46,00 | 67,00 | 12,10 | |
| do 9 | 39,00 | 46,00 | 66,00 | 12,00 | |
| do 10 | 38,00 | 41,00 | 63,00 | 11,00 | |
| do 11 | 38,00 | 42,00 | 63,00 | 11,00 | |
| do 12 | 37,00 | 42,40 | 54,00 | 11,70 | |
| do 13 | 37,00 | 42,10 | 52,00 | 11,60 | |
| do 14 | 37,00 | 42,00 | 50,00 | 11,50 | |
| do 15 | 37,00 | 42,10 | 51,00 | 11,00 | |
| do 16 | 37,00 | 41,10 | 49,00 | 10,90 | |
| do 17 | 37,00 | 40,70 | 49,00 | 10,90 | |
| do 18 | 37,00 | 40,70 | 49,00 | 10,90 | |
| do 19 | 35,00 | 39,20 | 41,00 | 8,80 | |
| do 20 | 34,40 | 37,70 | 39,00 | 8,80 | |
| do 21 | 34,40 | 34,00 | 37,00 | 8,80 | |
| do 22 | 29,90 | 32,00 | 35,00 | 8,80 | |
| do 23 | 27,00 | 30,10 | 34,00 | 8,80 | |
| do 24 | 27,00 | 30,10 | 34,00 | 8,80 | |
| do 25 | 24,60 | 26,00 | 32,00 | 6,00 | |

Firma Jaromíra Bučka z Brna zajišťuje výrobu jednostranných a oboustranných (neprokovených) desek s plošnými spoji v přijatelných cenách (viz tabulka v obrázku). Nabízí i plošné spoje ke konstrukcím v časopise Amatérské radio (později Praktická elektronika A Radio) od ročníku 1977 až do současnosti. Kromě plošných spojů nabízí i jednoduché elektronické stavebnice, elektronické součástky, měřící přístroje, a na jejich webových stránkách na adrese www.clavis.cz/bucek najdete i různé zajímavé informace.

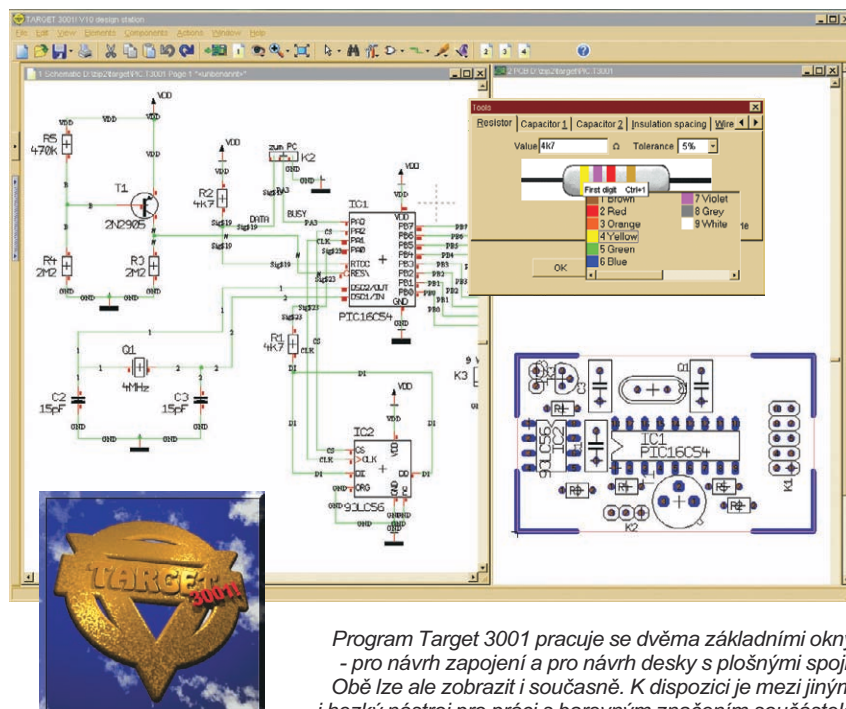
SOFTWARE PRO NÁVRH PS

Target 3001 je objektově orientovaný software pro návrh a simulaci schémat elektronických obvodů a návrh desek s plošnými spoji. Takových programů je jistě dost a jsou obvykle dost drahé. Autoři programu však poskytují jeho omezenou verzi **zdarma** – omezení není ve funkčnosti, ale pouze v rozsahu: program v této variantě umí pracovat nejvýše s dvouvrstvými deskami s plošnými spoji a maximálně se 100 vývody. Pro drobné domácí projekty to zcela určitě stačí.

Program je určen pro operační systém Windows (95/98/ME/NT4/2000/XP), potřebuje grafický adaptér alespoň 800 x 600 s 256 barvami a minimálně 32 MB RAM. Měl by fungovat i s procesorem 486DX, doporučeny jsou však Pentium nebo AMD K6. Nároky tedy nikterak přehnané a Target 3001 by měl jít spustit i na starších počítačích.

Software pracuje se schématem, deskou s plošnými spoji, simulací funkcí a kontrolou elektromagnetické kompatibility (EMC) neustále současně, takže jakékoli modifikace se okamžitě promítají do všech těchto komponentů (je to zřejmě dost výjimečná vlastnost). Jinak lze přepínat práci mezi schématem a deskou s plošnými spoji, obě okna lze však zobrazit i současně.

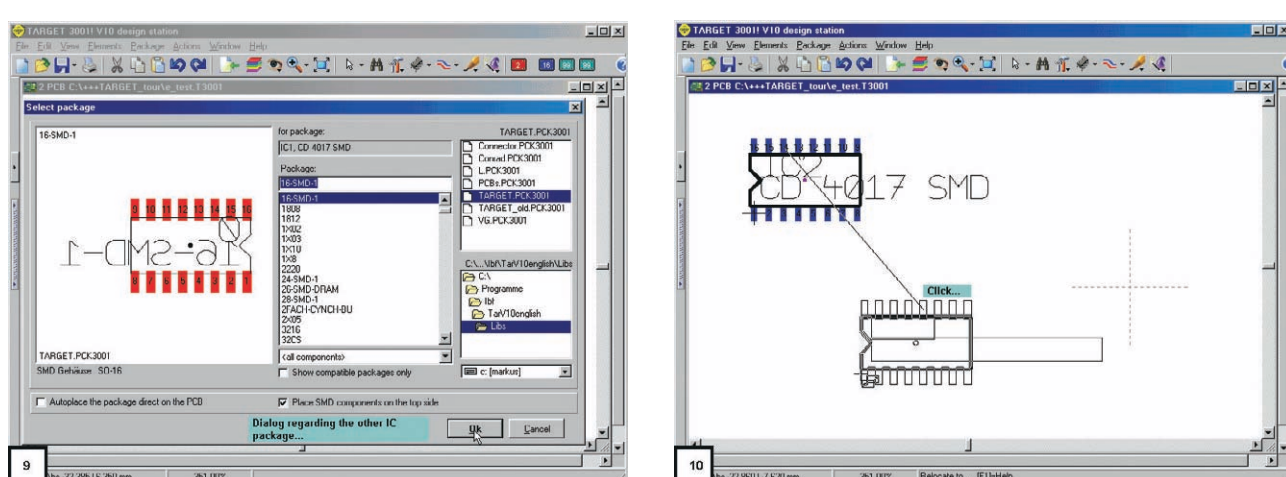
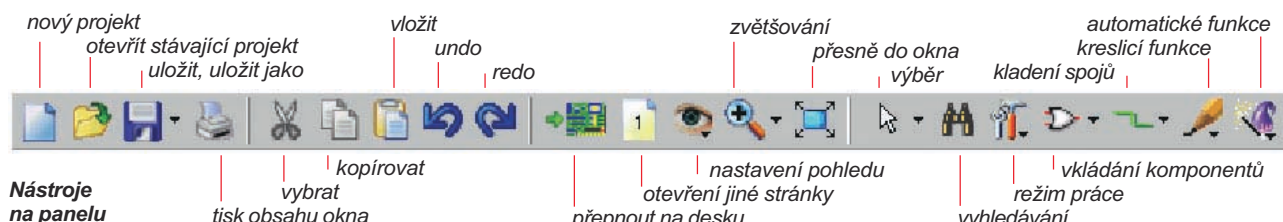
Knihoven součástek může být neomezený počet, lze tvořit vlastní knihovny přeskupováním stávajících součástek i tvorbou nových, bez omezení lze upravovat i stávající součástky v knihovnách (více než 5000 logických komponentů, analogové součástky, konektory ad.), kde se uchovává nejen schématická značka a tvar a rozměry součástky (pro umístění na desku s PS), ale i další elektrické a mechanické údaje, údaje o dodavatelích, ceně



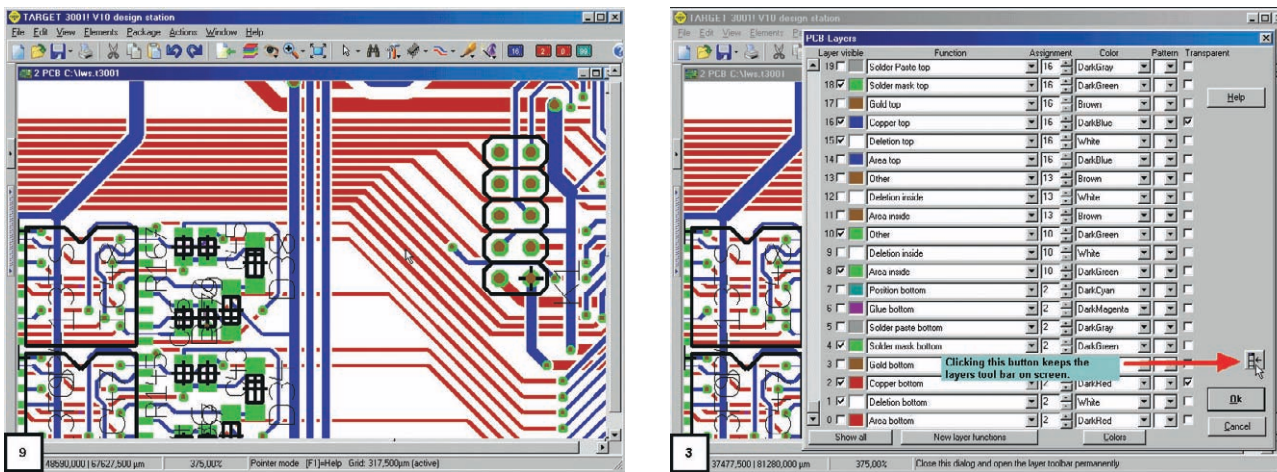
Program Target 3001 pracuje se dvěma základními okny – pro návrh zapojení a pro návrh desky s plošnými spoji. Obě lze ale zobrazit i současně. K dispozici je mezi jiným i hezký nástroj pro práci s barevným značením součástek.

ap. Mnoho součástek má odkazy ke kompletní dokumentaci na Internetu. Součástky (i SMD) lze na desku s plo-

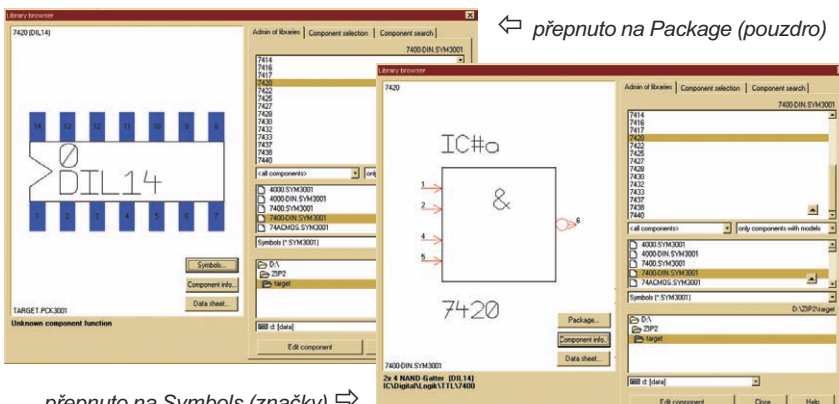
nými spoji umisťovat ručně i automaticky (interaktivní i automatické routování), nebo oba způsoby kombinovat.



Jednotlivé v zapojení použité součástky se na desku s plošnými spoji snadno vybírají (vlevo) i umisťují (vpravo)



Při návrhu desky lze pracovat v mnoha barevně odlišených samostatně definovaných vrstvách, které lze volitelně zobrazovat



přepnuto na Symbols (značky) ⇔

Knihovny programu obsahují kromě schématické značky i tvaru i údaje o součástce

Rozměr schématu i desky může být až 1 x 1 m, schéma může mít až 100 stránek, výkres desky s plošnými spoji může mít až 100 vrstev (*layers*) – do jednotlivých vrstev lze tak přehledně umisťovat součástky, spoje, popisy, napájení ap.

Program umí pracovat se všemi standardními rozhraními a vstupy/výstupy – Gerber In/Out, XGerber, Excelon, Sieb & Meyer, DXF, PostScript, Bitmap In, ASCII In/Out (open data interface), XML In/Out, generic HPGL Out. Maximální přesnost je 1 nm (jedna mikrótina mm). Lze načítat seznamy

součástek a propojení i z programů Mentor, OrCad nebo Eagle.

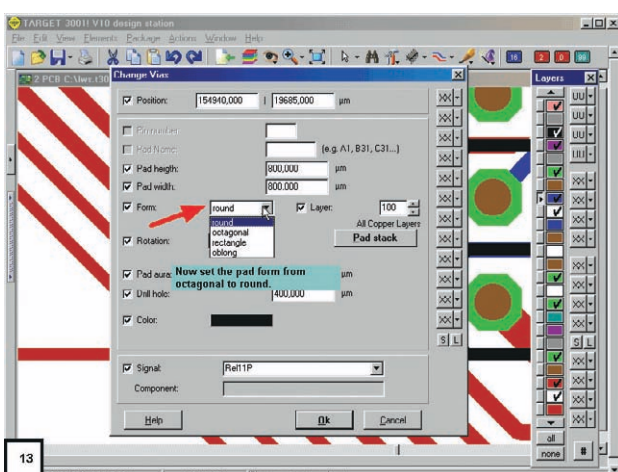
Simulace je snadná, stiskem jednoho tlačítka, lze zvolit i stejnosměrnou, střídavou a přechodovou analýzu. Analogová a digitální simulace probíhá současně. Hodně součástek má již zařazené svoje simulační modely – pasivní součástky, bipolární tranzistory, diody, JFET a MosFET, spínače, řízené zdroje, logická hradla, klopné obvody atd., u dalších je lze vytvořit.

Od začátku návrhu je neustále kontrolována elektromagnetická kompatibilita (EMC) – na začátku se definuje

několik základních údajů a dále už systém automaticky upozorňuje na „choulostivé“ spoje a kontroluje vše s ohledem na nežádoucí vyzařování a interference. Jsou uvažovány galvanické, indukční, kapacitní i radiační vlivy.

Program prostě asi umí všechno, co má takový program umět, a určitě mnohem více, než můžete při svém bastlení využít. Vzhledem k množství funkcí bude samozřejmě vyžadovat určitý nezrovný krátký čas k tomu, aby se s ním člověk naučil zacházet. K dispozici je ale jednak stručný a názorný devítistránkový návod, který na příkladu ukazuje jak na to, jednak pak podrobný obsáhlý manuál (oboje ve formátu PDF v angličtině nebo němčině), samozřejmě nechybí ani standardní i kontextová nápověda.

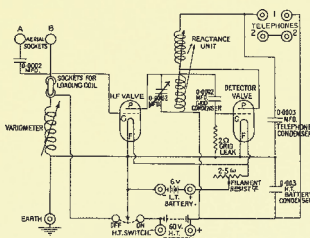
Program prodává německá firma Ingenierbüro FRIEDRICH a zdarma šířenou omezenou verzi si můžete stáhnout z jejich webových stránek na adrese www.ibfriedrich.com. Program samotný a některé knihovny součástek jsou v souboru *discover_e_v10.zip* (4,8 MB), help a dokumentace a další knihovny jsou v dalších souborech a je zapotřebí je stáhnout samostatně. Program se neinstaluje a (kromě velkého počtu knihoven) je v jediném odkudkoliv spustitelném souboru (1,8 MB).



Z okénka pro definici pájecího bodu je zřejmá přesnost programu



Program Target 3001 si můžete stáhnout z www.ibfriedrich.com



RÁDIO „HISTORIE“

Z historie vojenské sdělovací techniky II. světové války

První moderní tornistr a walkie-talkie

Rudolf Balek

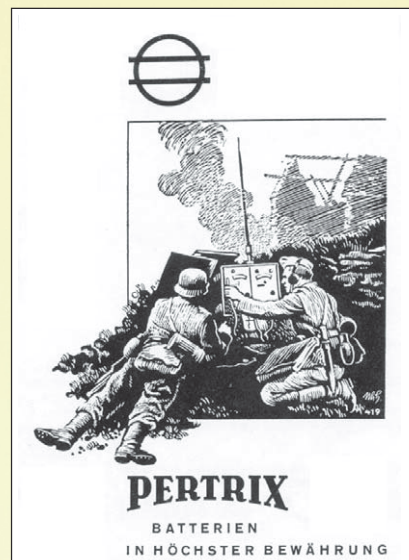
Článek popisuje nejstarší vojenské rádiové pojítka nové koncepcie, konstrukce a filozofie, vzniklé podle nového předválečného zbrojního programu německé armády z roku 1935, a dvě malá ruční pojítka, německé DORETTE a americké SCR 611 „Walkie/Handie“ z řady komunikačních přístrojů téměř šedesáti let historie. Americký radiotelefon SCR 611 (Signal Corps Radio) nebyl v naší literatuře dosud podrobněji popsán.

Doplňujeme tak informační mezery, kterou pociťovali nejen profesionálové, ale i radioamatérů a další zájemci o vojenskou radiotechniku. Článek ukazuje pro laika nepředstavitelné rozdíly ve filozofii a technologii sdělovacích komunikačních přijímačů/vysílačů, dnes již historických, ale stále zajímavých válečných přístrojů ve srovnání se současnými masově rozšířenými a důvěrně známými „mobilky“ (v současnosti je u nás v provozu asi 10 miliónů mobilů) a moderními radiostanicemi. Do budoucnosti je jasné, že technika nerekla poslední slovo, už jen vzhledem k přípravě pásm 26 GHz pro komunikační účely.

Největší význam a důležitost ve válečných operacích mělo spojení drá-

tové a bezdrátové, vysílání zpráv, rozkazů, návěstí a dálkové bezdrátové ovládání vojenských zařízení, střel, bomb, raket apod.

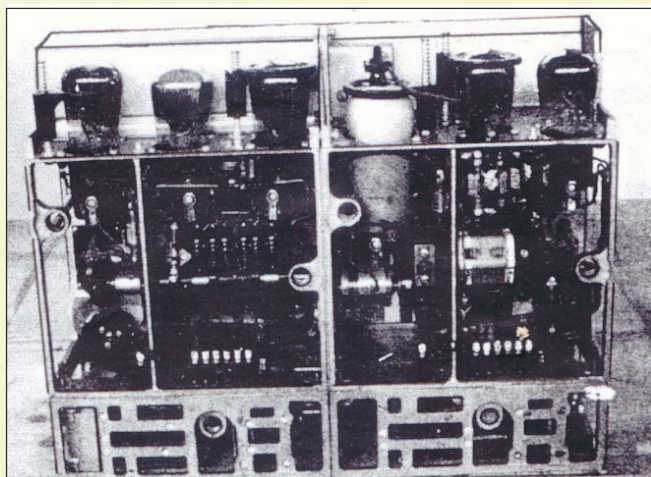
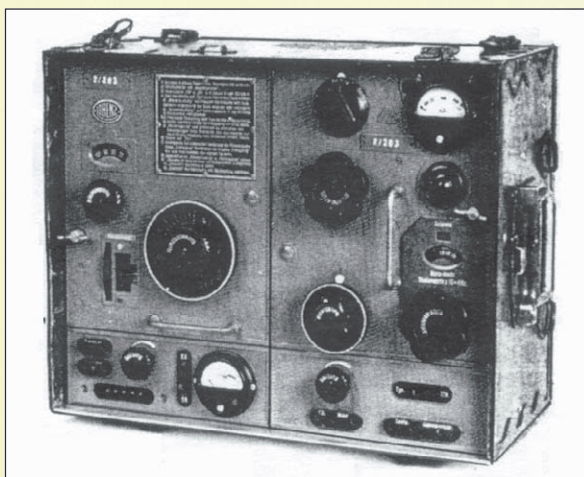
Radiomatérům pamětníkům, pokusníkům (nebo jak se nespisovně říká bastlům), badatelům a jiným zájemcům článek připomene neválečnickou nostalgii průkopnických pokusů s dosud neznámými přístroji v poválečných letech, po několikaleté nucené přestávce v pokusnictví na krátkých i velmi krátkých vlnách, vynucené tehdejší celosvětovou situací. V současné době jsou popisované přístroje – znamenající tehdy při svém zrodu progresivní technologii – již exponáty nejen z minulého století, ale dokonce z minulého tisíciletí.



Obr. 1. „Baterie PERTRIX v nejtěžší zkoušce“ hlásá inzerát v časopise Radio Mentor č. 5/6 z roku 1943. Umělecky ztvárněný obraz tornistru Fu f uprostřed válečné vřavy. Zdrojová skříň není nakreslena, anténní tyč má prodlužovací cívku

Tornisterfunkgerät f - Torn Fu f

(tornistra – vojenská brašna), má nejstarší označení Funksprechergerät, později Tornisterfunkgerät; je to přenosný přijímač/vysílač s původním určením pro služební vojenskou komunikaci v bojových akcích, pro spojení mezi dělostřelectvem, bojujícími jednotkami a nižším velitelstvím. Později byly přístroje toho druhu zdokonaleny a velmi rozšířeny. Pojmenování se změnilo na Fusprech, nebo jenom Fu

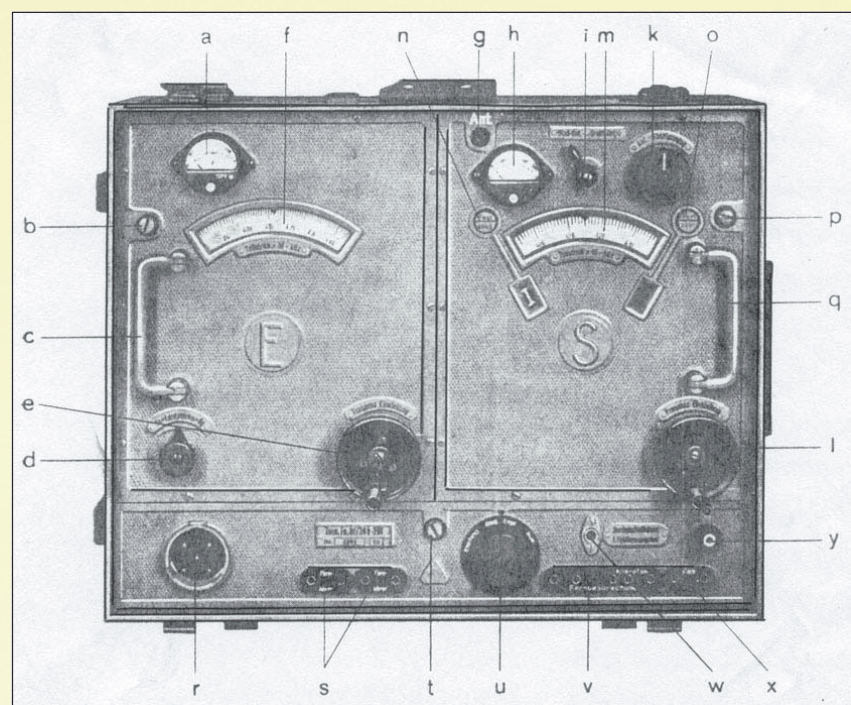


Obr. 2. V roce 1931 byl u firmy LORENZ vyvinut pro policii přenosný přijímač/vysílač typu LSE 2/203, později označený jako Torn Fu a. Představoval tehdejší koncepci se 6 klasickými nožičkovými elektronkami RE084, RE134 a H4060. Torn Fu a měl pracovní rozsah od 3 MHz do 6,67 MHz. Výkon vysílače byl 2 W, dosah při A1 20 km, při A3 12 km. Dipól měl rozměry 2 x 12 m, protiváha měla délku 8 m. Vlevo je pohled na přístroj zepředu, vpravo pohled na odkrytý přístroj ze zadu. Vidíme rozložené elektronky, zvláště typ H4060, nastříkané světlou vodivou stínicí vrstvou

a číslo. Podle literatury bylo za poslední dva válečné roky vyrobeno v Německu asi 64 000 tornistrů.

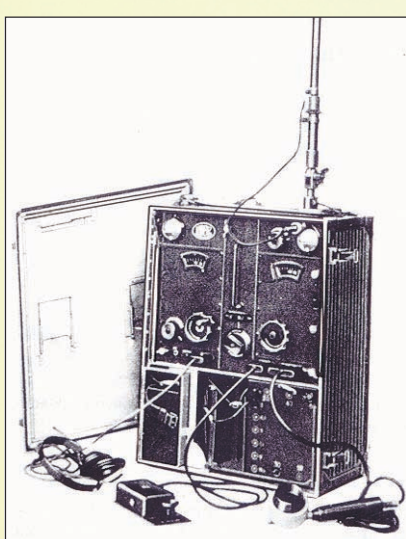
Prototyp Fu f vznikl u firmy – koncernu LORENZ, armádě byl dodáván od roku 1937. Navazoval na dříve vyroběné přístroje řady „0“ od roku 1925, později nazvané Torn Fu a. Pracovní rozsahy byly v tzv. mezilehlém pásmu, tj. mezi středními a krátkovlnnými rozhlasovými pásmi od 3 do 6,6 MHz, odpovídajícím vlnovým délkám od 100 do 45 m. První přístroje – vysílače – byly osazovány dnes muzeálními nožičkovými elektronkami typu RE084 a RE134. Přímozesilující třílampový přijímač měl elektronky H406D a RE134. Vyzářený výkon vysílače byl asi 2 W s dosahem při A1 asi 20 km, při A3 asi 12 km. Citlivost přijímače nebyla uvedena. Rozměry a hmotnost přístroje s příslušenstvím byly značné (mnohdy neseného koněm či umístěného na vozidle) a nadále nepřijatelné. Provoz prvních přístrojů byl neekonomický, otřesy způsobovaly „zvonění“ elektronek, které potřebovaly velké žhavicí proudy. Byly nutné těžké olověné akumulátory a rozměrné anodové baterie – vyžadovaly složitou obsluhu a údržbu a měly velkou poruchovost. Jeden Torn ze starší série Fu a2 měla k dispozici pořádková policie u přiležitosti konání světové olympiády v roce 1936 ve Berlíně.

Nový Torn f znamenal jistý pokrok, i když jeho hmotnost byla stále relativně velká. Dosavadní koncepce s tehdy běžnými materiály byla opuštěna. Začalo se s litím pod tlakem – dílů a kostera přístrojů – z lehké a pevné elektronové a hliníkové slitiny (dural, nüral



Obr. 3. Přední panel Torn Fu f, vlevo přijímač E, vpravo vysílač S (chybí štítek „Feind hört mit“ – Nepřítel naslouchá a štítek výrobce):

| | | | |
|------|---------------------------------------|------|---|
| a | - voltmetr napájecího napětí | m | - stupnice vysílače cejchovaná v kHz |
| b, p | - upevňovací šrouby | n, o | - nastavení rastru stupnice |
| c, q | - držadlo | r | - zástrčka přívodního napětí |
| d | - knoflík hlasitosti | s | - připojení sluchátek |
| e | - knoflík ladění, nastavení kmítočtu | t | - upevňovací šroub |
| f | - stupnice cejchovaná v kHz | u | - přepínač provozu |
| g | - antenní zdírka | v | - připojení mikrofonu a telefonní linky |
| h | - měřicí přístroj ant. proudu | x | - připojení telegrafního klíče |
| i | - antenní vypínač, poz. „29“ | y | - zdírka protiváhy |
| k | - naladění antény, knoflík variometru | w | - připojení polního telefonu |
| l | - ladění vysílače, nastavení kmítočtu | | |



Obr. 3. Pohotovostní stav stanice Torn Fu f z první série. Na skříni anténa, uvnitř vlevo přijímač s oválným štítkem výrobce s logem LORENZ, vpravo vysílač. Dole prostor pro baterie, akumulátor a příslušenství. Vedle přístroje vedle přední stěny krytu, sluchátka, telegrafní klíč a mikrofon. Ještě bez varování „Nepřítel naslouchá!“

apod.). Přijímač s vysílačem byly umístěny ve společné kovové skříni, utěsněné proti prachu a vodě. Druhá skříň obsahovala příslušenství: anténní kabel v délce 11 až 15 m, kabely protiváhy o délce 4 x 3,5 m, napínací lanka antény 2 x 4 m, 8 náhradních elektronek, 3 uhlíkové mikrofony, dvoje sluchátka typu Dfh, telegrafní klíč, dvě anodové baterie 90 V a žhavicí olověný akumulátor 2B38. Rozměry a hmotnost přístroje: výška 470 mm, šířka 361 mm, hloubka 214 mm. Hmotnost 20 kg vyžadovala fyzicky statného radistu, druhá skříň stejných rozměrů a hmotnosti pak dalšího nosiče.

Pracovní rozsahy přístroje: vysílač 4500 kHz až 6670 kHz, odpovídající vlnové délce 76 až 45 m. Přijímač měl poněkud rozšířený rozsah, a to od 3000 do 6670 kHz, vyzařovaný výkon vysílače byl asi 0,65 W. Dosah při A1 asi 25 km s odebíraným proudem z anodové baterie 44 mA. Při provozu A3 s odebíraným proudem 30 mA byl dosah asi 12 km. Žhavicí

akumulátor dodával proud 2,5 A. Torn f vzhledově odpovídal později zavedenému termínu „Army look, Military look“.

Přístroj je osazen právě tehdy nově zaváděnými jednotnými vojenskými bateriovými elektronkami v miniaturním provedení, s jednotnou paticí, s dlouhou životností a otřesuvzdornou konstrukcí. Byly to vf pentody RV2P800 a výkonová pentoda RL2P3. Pro představu: velikost skleněné baňky, uložené v odtlumeném děrovaném hliníkovém tenkém stínícím krytu, odpovídala před lety běžným novalovým nebo dekalovým elektronkám. Byly tedy podstatně menší než zastaralé typy. Elektronky se zasouvaly převratným způsobem dovnitř přístrojů, takže navenek nevyčnívaly a neprekážely. Osazení přístrojů jedním standardním typem mělo velký význam při operativních opravách v terénu.

(Pokračování)

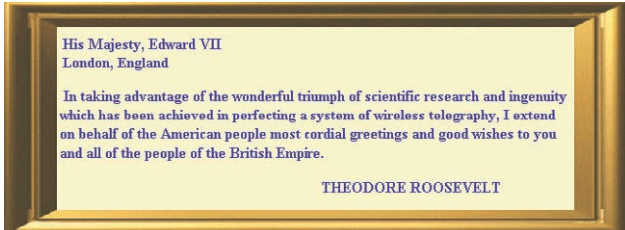
100 let od vyslání prvního transatlantického radiotelegramu



19. ledna t.r. uplynulo 100 let od chvíle, kdy byl poprvé odesán bezdrátově telegram z amerického kontinentu do Evropy. Měl 54 slov a poslal jej americký prezident Theodore Roosevelt (1858-1919,

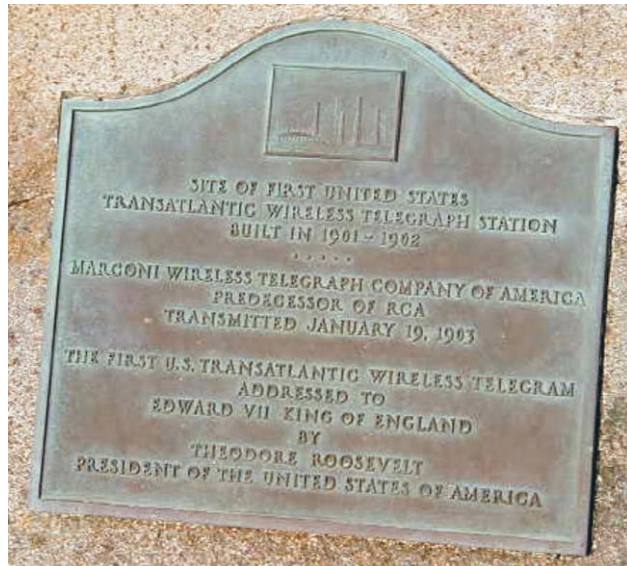
prezident v letech 1901-1909) anglickému králi Edwardu VII. Král tento telegram obdržel během hodiny a tím byla započata éra globálních bezdrátových komunikací. Jako každý rok, i letos z místa blízko proslulého Cape Cod, kde Marconi postavil svůj vysílač, vysíala příležitostná stanice se stejnou značkou, jaká byla použita při oslavách 75 let od tohoto výročí - **KM1CC**. Oslavy organizoval především Marconiho radioklub, který má přidělenou volací značku **W1AA** (viz emblém).

QX



Text telegramu prezidenta Roosevelta a pamětní deska

Vlevo: místo, kde stával Marconiho vysílač; vpravo: dnes zachovaná původní betonová patka s pozůstatkem kotvy



Doplňující informace o stanici 3D2AG (PE-AR 1/03)

Tony, 3D2AG, se dlouhodobě přestěhoval z Fidží na Francouzskou Polynésii. Pracuje tam pro polynéskou univerzitu na Tahiti. V rámci své odboornosti oceánologa je činný na výzkumném projektu na ostrově Rapa - OC-051. Tento ostrov je součástí souostroví Austral Islands, což platí za novou samostatnou zemi DXCC. Pod značkou **FO5RK** se občas objevuje na různých KV pásmech. Není tam bohužel na pravé expedici, kdy by se mohl vysílání plně věnovat, ale pouze jen v době svého volna po prá-

ci. To jest pozdě k večeru nebo v noci, popřípadě časně ráno jeho času. To je bohužel k velkému časovému posunu oproti Evropě velice nevýhodné. Jeho signály jsou proto často velice slabé na hranici slyšitelnosti. Navíc i jeho vybavení je velice jednoduché. Opět používá IC-706 s výkonem 100 wattů a dipolové antény. Přesto s ním lze navázat spojení, většinou CW provozem. QSL požaduje pouze direct na adresu: *Antoine de Ramon NYeurt, Laboratoire Terre Ocean, Université de la*

Polynésie Française, B. P. 6570, Faaa 98702, Tahiti. Po skončení své vědeckovýzkumné práce na ostrově Rapa se přesune zpět na Tahiti, kde má působit delší dobu.

OK2JS

- Panamský radioklub oslavil 100leté výročí založení Republiky Panama v listopadu 2002 vysíláním speciální stanice **HP100RCP**. Bohužel QSL obdrží jen ti, kdo svůj lístek zašlou direct s jednodolarovou bankovkou...

QX

Kalendář závodů na březen

| | |
|--|-------------------------------|
| 1.-2.3. I. subregionální závod ¹⁾ | 14.00-14.00 144 MHz-76 GHz |
| 4.3. Nordic Activity | 144 MHz 18.00-22.00 |
| 8.-9.3. ATV Contest ²⁾ | 432 MHz a výše 18.00-12.00 |
| 8.3. FM Contest | 144 a 432 MHz 09.00-11.00 |
| 11.3. Nordic Activity | 432 MHz 18.00-22.00 |
| 15.3. AGCW Contest | 144 MHz 16.00-19.00 |
| 15.3. AGCW Contest | 432 MHz 19.00-21.00 |
| 16.3. Provozní aktiv | 144 MHz-10 GHz 08.00-11.00 |
| 16.3. AGGH Activity | 432 MHz-10 GHz 08.00-11.00 |
| 16.3. OE Activity | 432 MHz-10 GHz 08.00-13.00 |
| 25.3. Nordic Activity | 50 MHz 18.00-22.00 |

¹⁾ Podmínky viz časopis Radioamatér 6/2002 (zelená vložka), deníky na OK1AGE: Stanislav Hladký, Masarykova 881, 252 63 Roztoky u Prahy, E-mail: hla@ujv.cz
Paket: OK1AGE@OK0PPR

²⁾ Podmínky ATV Contestu viz PE-AR 5/2000 a Radioamatér 2/2000. Deníky na adresu OK1MO: Jiří Vorel, P. O. Box 32, 350 99 Cheb 2.

OK1MG

Kalendář závodů na únor a března

| | | |
|-------------------------------------|--------------|-------------|
| 15.-16.2. ARRL DX Contest | CW | 00.00-24.00 |
| 15.-17.2. YL-OM International | SSB | 14.00-02.00 |
| 19.2. AGCW Semiautomatic | CW | 19.00-20.30 |
| 21.-23.2. CQ WW 160 m DX Cont. | SSB | 22.00-16.00 |
| 22.-23.2. French DX (REF Cont.) | SSB | 06.00-18.00 |
| 22.-23.2. Europ. Community (UBA) CW | CW | 13.00-13.00 |
| 23.2. OK-QRP Contest | CW | 06.00-07.30 |
| 23.2. HSC CW Contest | viz podmínky | |
| březen UBA SWL Contest | viz podmínky | |
| 1.-2.3. ARRL DX Contest | SSB | 00.00-24.00 |
| 1.3. SSB liga | SSB | 05.00-07.00 |
| 2.3. Provozní aktiv KV | CW | 05.00-07.00 |
| 3.3. Aktivita 160 | SSB | 20.00-22.00 |
| 8.3. OM Activity | CW/SSB | 05.00-07.00 |
| 8.-9.3. DIG QSO Party | SSB | viz podm. |
| 9.3. UBA 80 m Spring | SSB | 07.00-11.00 |
| 10.3. Aktivita 160 | CW | 20.00-22.00 |
| 15.-16.3. Russian DX Contest | MIX | 12.00-12.00 |
| 15.-16.3. Internat. SSTV DARC | SSTV | 12.00-12.00 |
| 29.-30.3. CQ WW WPX Contest | SSB | 00.00-24.00 |

Termíny i podmínky jsou zpracovávány na základě dlouholetého sledování, podle originálů podmínek od pořadatelů a přehledů od SM3CER. Přesto občas dochází ke změnám. Podmínky jednotlivých závodů uvedených v kalendáři naleznete v těchto číslech PE-AR: OM Activity 1/01 (a doplněk v čísle 3/01), SSB liga a Provozní aktiv viz 6/02, Aktivita 160 12/00 - pozor na změny uvedené dále, ARRL DX 1/01, OK-QRP, AGCW Semiautomatic a REF 1/2002, RSGB a HSC CW 1/2000, UBA SWL a Russian Contest 2/2000, UBA Spring a CQ WPX 2/2001, CQ WW 160 m, Int. SSTV a DIG Party 2/2002, EU Community 12/2002.

Pozor! Do Cabrillo formátu deníků ARRL je nutné mezi druhý a třetí řádek vepsat: ARRL-section: DX. Upozorňují také na změny v podmínkách závodů ARRL (viz dále).

Mimo uvedené závody probíhají ještě „party“ některých amerických států a organizací - poslední víkend v únoru North Carolina, druhý víkend v březnu QCWA CW i SSB a Wisconsin Party, třetí víkend Alaska, Virginia a Ohio. Posluchačům doporučujeme sledovat pásmo druhý víkend v březnu, kdy probíhá BERU Contest. Toho se zúčastňují vzácné stanice, avšak pro naše stanice tento závod není. Únor, březen a snad ještě duben budou pravděpodobně poslední měsíce s lepšími podmínkami (březen dokonce s mírným zvýšením počtu slunečních skvrn snad až na 75) na sklonku tohoto slunečního cyklu, který hlavně během svého tzv. sekundárního maxima všechny radioamatéry jistě přijemně překvapí.

Adresy k odesílání deníků přes Internet

CQ 160 m: cg160@contesting.com
UBA: berger@cyc.ucl.ac.be
ARRL: contest@arrl.org
RSGB: hf.contests@rsgb.org.uk
REF: concours@ref-union.org
UBA Spring: on6kl@qsl.net
Russian: rusdx@contesting.com
CQ WPX: n8bjq@erinet.com
DARC SSTV: df5bx@darc.de

Změny v podmínkách ARRL závodů (od 1. listopadu 2002)



V žádném závodě není povolen překračovat ani v kategorii „HIGH POWER“ výkon 1500 W PEP. V zemích, kde je povolen menší maximální výkon, jsou amatéři povinni dodržet ustanovení pro ně platná. V denících formátu Cabrillo musí stanice s více operátory uvést v řádku OPERATORS všechny značky operátorů, kteří se podíleli

na výsledku - jinak bude deník stanice s více operátory nebo klubové stanice přerazen mezi „deníky pro kontrolu“. Ostatní změny se povětšinou nedotýkají našich operátorů.

Výsledky všech závodů pořádaných ARRL budou nyní k dispozici i na webových stránkách QST v PDF formátu na adrese www.arrl.org/contests/soapbox

Podmínky soutěže OK Maraton od 1. 1. 2003

Pro zlepšení provozní zručnosti operátorů a podporu soustavné práce na pásmech vyhlašuje Český radioklub celoroční soutěž OK Maraton.

Všeobecné podmínky:

a) Soutěž probíhá každoročně v době od 1. ledna do 31. prosince na všech KV a VKV pásmech všemi druhy provozu (mimo paket rádiotelegrafie).

b) Držitel povolení k vysílání OK se může zúčastnit buď v některé z uvedených OK kategorií, nebo pokud vlastní posluchačské číslo, v odpovídající kategorii posluchačů. Spojení navázaná pod vlastní značkou nelze započítávat jako odposlechnutí!

c) Posluchač zaznamenávají do stanicího deníku datum, čas, pásmo, druh provozu, obě volací značky korespondujících stanic a report.

d) Spojení s libovolnou stanicí lze za-

počítat na každém pásmu stejným druhem provozu pouze jednou denně.

e) Vyhodnocovatel má právo si vyžádat podklady k hlášení ke kontrole.

f) Pokud soutěžící změní třídu, (chce být přeřazen z SWL kategorie do OK nebo opačně), je od měsíce, v němž ke změně došlo, automaticky hodnocen v nové kategorii. Tuto změnu je povinen zapsat do měsíčního hlášení za měsíc, v kterém ke změně došlo.

Kategorie:

1. SWL starší 18 let: Do soutěže si mohou započítat i spojení navázaná z klubové stanice, včetně přídavných bodů. Musí je mít potvrzená od VO klubové stanice nebo zástupce VO.

2. SWL do 18 let: Do soutěže si mohou započítávat spojení navázaná z klubové stanice, včetně přídavných bodů. V této kategorii soutěží po celý rok, ve kterém dosáhl věku 18 let. Posluchači do dovršení 15 let věku si dosažené body vynásobí dvěma.

3. OK - klubové stanice: V této kategorii se hodnotí spojení všech operátorů klubové stanice.

4. OK - D: Pro soutěžící, kteří vysílají pod vlastní volací značkou v operátorské třídě D. Započítávají si všechna spojení uskutečněná na VKV pod vlastní značkou.

5. OK - C: Pro soutěžící, kteří vysílají pod vlastní volací značkou v operátorské třídě C. Započítávají si všechna spojení pod vlastní volací značkou v pásmech, na kterých mají povoleno vysílat.

6. OK - A+B: Pro soutěžící, kteří vysílají pod vlastní volací značkou v operátorské třídě A nebo B. Započítájí si všechna spojení uskutečněná pod vlastní volací značkou.

Bodování:

KV QSO/poslech CW = 3 body, SSB = 1 bod, DIGI = 5 bodů, VKV QSO/poslech CW = 5 bodů, SSB = 3 body, FM direct = 3 body, FM přes převáděč = 1 bod, DIGI = 10 bodů. Pod pojmem „DIGI“ se rozumí všechny povolené druhy digitální komunikace výjma PR.

Přídavné body:

- 100 bodů za účast v každém závodě (posluchači si body počítají pouze tehdy, pokud má závod samostatnou kategorii SWL).

- 30 bodů pro kategorii klubové stanice a posluchače a každého operátora, který naváže na klubové stanici alespoň 30 QSO v měsíci včetně závodu.

- 100 bodů za každou novou zemi DXCC na KV pásmech, jednou za soutěž.

- 200 bodů za každou novou zemi DXCC na VKV pásmech, jednou za soutěž.

- 50 bodů za každý nový okres ČR i SR na KV pásmech, jednou za soutěž.

- 50 bodů za každý nový okres ČR i SR na VKV pásmech, jednou za soutěž.

- 30 bodů za každý nový prefix na KV pásmech, jednou za soutěž.

- 100 bodů za každý nový WW lokátor (velký čtverec) na VKV pásmech, jednou za soutěž (př. JO79 atd.).

- Klubovou stanicí se rozumí radioamatérská stanice, kde držitelem oprávnění k provozu je právnická osoba. Viz § 5 odst. 2 vyhlášky 201/2000 Sb. V kat. 1 a 2 mohou soutěžící pro vysílání využít také možnost





nost danou § 5 odst. 3 vyhlášky 201/2000 Sb.

Měsíční hlášení:

a) Měsíční hlášení se vypočítá tak, že se sečtou body za spojení + přídavné body v daném měsíci. K tomu se připočte dosažený výsledek z minulého měsíce a to je pak celkový výsledek za soutěžní měsíc. V měsíci lednu se žádné body z předchozího měsíce nepřipočítávají.

b) Na prvním hlášení každý účastník soutěže uvede své jméno a příjmení, volací značku, datum narození (pouze u kategorie SWL do 18 let), kategorii, ve které má být hodnocen, a adresu.

c) Hodnocení bude provedeno za každý měsíc a celkově za rok. Bodový výsledek uvedený v posledním měsíčním hlášení je současně celoročním výsledkem soutěžícího.

d) V soutěži bude hodnocen každý účastník, který během roku zašle hlášení minimálně za jeden měsíc.

e) Měsíční hlášení zasílejte nejpozději do 20. dne každého následujícího měsíce na adresu vyhodnocovatele uvedenou dále.

f) Formuláře hlášení obdržíte u pořadatele (sekretariát ČRK, www stránky ČRK) nebo u OK1KMG.

g) Soutěží na prvních třech místech všech kategorií v celoročním hodnocení obdrží diplomy, případně věcnou cenu.

Rozhodnutím VV ČRK byl vyhodnocovatelem soutěže stanoven RK OK1KMG. Soutěžící, od kterých dojde včas hlášení, obdrží výsledkovou listinu a ta bude také zveřejněna na stránce www.crk.cz/CZ/OKMARATONC.HTM. K hlášení dosažených výsledků lze využít tyto adresy:

Radioklub OK1KMG, Kostelecká 154, 277 11 Neratovice;
via PR: OK1KMG@OKOPPR; E-mail: okmaraton@crk.cz.

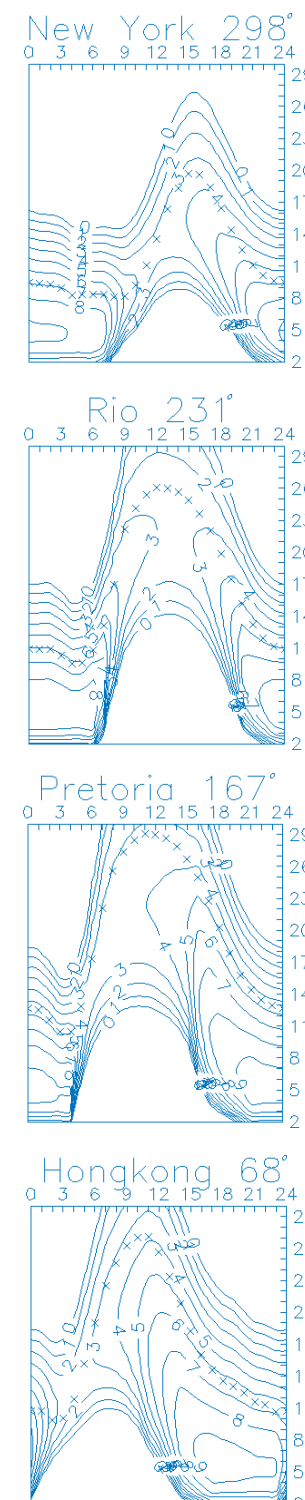
Změna podmínek Aktivita 160 m

SSB část změnila svého vyhodnocovatele - je jím nyní OK1HSF; výsledky nejlíp na A160@senam.cz nebo paketem na OK1HSF. Pro CW část zůstává OK1KZ jako dosud. V obou částech je nyní navíc samostatná kategorie pro klubové a zvláštní stanice (OK5, OK6 ap.), na CW se hodnotí zvláště OK a OM stanice s rozdělením na QRO a QRP. Doufeme, že čas pro závod zůstal nezměněn - v podmínkách zveřejněných prostřednictvím PR se na tento poměrně důležitý údaj zapomnělo.

QX

Předpověď podmínek šíření KV na únor

Úvodem bude dobré přiznat si smutnou pravdu, že se maximum 23. cyklu zřejmě definitivně stalo historií. Po většinu loňského roku jsme měli to štěstí, že pokles sluneční aktivity (směrem k jedenáctiletému minimu, které očekáváme počátkem roku 2007) byl proti obecnému předpokladu trvale výrazně pomalejší a vedle množství i intenzitních poruch proběhla řada delších vzestupů s pozitivními důsledky na podmínky šíření dekametrových vln. Poslední známá vyhlazená čísla skvrn za květen a červen 2002 jsou $R_{12}=108,8$ a $106,2$. Pro předpověď podmínek šíření v únoru 2003 ještě jednou vydeme z $R=99$, což odpovídá $SF=144,5$. Nejvyšší použitelné kmitočty oblasti F2 budou v lepších dnech nadále odpovídat R značně nad stovkou a reálné možnosti krátko-



kovlnné komunikace tak budou běžně o poznání lepší, než by bylo možno mechanicky usoudit z vypočtených grafů. Obvyklé příznivé malé zimní útlumy spodních oblastí ionosféry budou nepravidelně střídány situacemi s útlumem až překvapivě velkým, což se občas projeví absencí obvyklých signálů zejména na pásmec me delších. Pro dolní pásmo to znamená občasné, spíše nepravidelné výskytu zhoršení podmínek šíření, jež nejsou jednoduše závislé na kolísání sluneční a geomagnetické aktivity a které proto obvykle nelze přesněji předpovědět. Otevření nejkratších pásem krátkých vln budou nadále poměrně krátká a až jejich značnější prodlužování koncem února bude ohlašovat blížící se jaro.

Nejvyšší použitelné kmitočty se během loňského podzimu ponejvíce pohybovaly v rozmezí od úrovně, odpovídající číslu R okolo 100 v horších dnech,

po hodnoty, odpovídající $R=130$ v nejlepších dnech. Nadále pravidelně ožívalo i šestimetrové pásmo. Listopad začal hezkými podmínkami šíření krátkých vln 1. 11., ačkolik byl hned první listopadový víkend nařušen - k většimu zhoršení ale prakticky nedošlo. Důsledky dalších poruch po nárustu sluneční erupční aktivity byly znatelnější. Jedna z erupcí byla protonová - 9. 11. s maximem v 13.22 UTC a výronem koronální plazmy směrem k Zemi. Shodou okolností týž den okolo 18.00 UTC dorazily do okolí Země částice od předchozích erupcí, a tak byl chod podmínek šíření krátkých vln během víkendu sice zajímavý z hlediska analýzy příčin a důsledků, ale zklašmáním pro ty, kdo očekávali snadnou komunikaci DX. Podmínkám šíření na jedné straně zvýšená sluneční aktivity prospěla - zvýšila nejvyšší použitelné kmitočty a přispěla ke tvorbě ionosférických vlnnovodů, zároveň ale bylo uzavření polárních oblastí a z toho vyplývající podstatné omezení šíření krátkých vln vysílání zeměpisnými šířkami v neděli 10. 11. Přesto jsme zažili řadu velmi dobrých otevření desítky (podél rovnoběžek do vzdálosti dvou až tří skoků prostorové vlny) a do jižních směrů se otevíralo i šestimetrové pásmo.

O další výrazná zpestření, včetně otevření dvoumetrového pásmá, se několikrát postarala sporadic-k vrstva E. Poněkud překvapivě 3. 11. odpoledne a naopak přesně v souladu s očekáváním „nabudil“ Es mohutný meteorický roj Leonid (s maximem v ranních hodinách 19. 11.). K izolovaným zhoršením podmínek šíření krátkých vln následkem časťejších výrůstů geomagnetické aktivity docházelo spíše výjimečně, například 19. 11. Nejvyšší použitelné kmitočty oblasti F2 se podobně jako koncem října pohybovaly na úrovni, odpovídající číslu R mezi 110-125, v lepších dnech až 140. Výjimkou byly dny s většími poklesy: 19.-29. 11. (s odpovídajícím R mezi 65-97) a 1. 12. (96).

Zejména sobotní odpoledne 9. 11. opět ukázalo, že nejvíce majáků na desítce vysílá ze Severní Ameriky. Z 18 majáků v projektu IBP již dle nevysílaly 5Z4B a OA4B (a nadále „šíroval“ RR90), zato ale byly výtečně slyšet například 4U1UN, VE8AT, ZL6B, VR2B a LU4AA. V prosinci přestaly být slyšet W6WX (jemuž vichřice zničila anténu) a OH2B (po „návštěvě“ zlodějů). Populární OK0EF na 10 134 kHz byl (mimo pauzu 21.-28. 11.) pravidelně slyšitelný na všech kontinentech navzdory QRP a co do četnosti přicházejících reportů za ním příliš nezaostával zejména OK0EG na 28 282 kHz (který ale v prosinci postihly problémy s anténou). Tradičně vyhledávaný OK0EV na poněkud kontroverzních 1845 kHz se 1. 1. 2003 přesunul na 1854 kHz.

Závěr patří přehledu chodů hlavních indexů sluneční a geomagnetické aktivity za listopad. Průměrné číslo skvrn R , stanovené SIDC, je 95. Výkonový tok slunečního šumu změřili v Pentictonu, B. C., v 20.00 UTC takto: 162, 165, 169, 177, 183, 185, 190, 189, 191, 191, 185, 178, 182, 184, 198, 199, 185, 179, 168, 159, 151, 149, 148, 146, 137, 142, 143, 140, 141 a 146, v průměru 168,7 s.f.u. Denní indexy geomagnetické aktivity A_k určili ve Wingstu 10, 34, 43, 25, 25, 24, 12, 6, 6, 46, 14, 42, 12, 9, 12, 10, 9, 10, 18, 36, 42, 29, 18, 21, 16, 15, 21, 15, 18 a 16. Jejich neobyvkle vysoký průměr 20,5 opět dokazuje nemalou intenzitu i délku trvání poruch.

OK1HH

INZERCE



Za první tučný řádek 75 Kč, za každý další i započatý 30 Kč.

Koupím pro kom. přijímač EKD500 nebo 300 přistavek EZ100. Jiří Oravec, mobil: 601 540 582, tel.: 542 210 620.

Nové družice nad obzorem

RS-20

28. listopadu 2002 byla vypuštěna raketou Kosmos 3-M ze základny v Plesetsk u navigační a vědecká družice, na jejíž palubě je také zařízení RS-20, vysílající CW telemetrii na frekvencích 145,828 a 435,319 MHz (zatím byla slyšet v pásmu 70 cm). Každý rámcem začíná i končí volacím znakem RS-20.

Tabulka pro dekódování telemetrie:

| kanál | rozsah | formule | parametr |
|-------|-----------|---------------|-------------------------------------|
| RS 20 | | | volací znak |
| UBS | N=100:170 | U = N/10 V | palubní napětí |
| IBS | N=10:250 | I = N/100 A | palubní proud |
| USUN | N=0:180 | U = N/10 V | nabijecí napětí ze solárních článků |
| ISUN | N=0:180 | I = N/100 A | nabijecí proud ze solárních článků |
| ITXA | N=0:170 | I = N/100 A | ss proud vysílače 435 MHz |
| PTXA | N=0:70 | P = N/10 W | výkon vysílače 435 MHz |
| TTXA | N=50:190 | T = N-100 C | teplota vysílače 435 MHz |
| ITXB | N=0:150 | I = N/100 A | ss proud vysílače 145 MHz |
| PTXB | N=0:70 | P = N/10 W | výkon vysílače 145 MHz |
| TTXB | N=50:190 | T = N-100 C | teplota vysílače 145 MHz |
| TEXT | N=30:250 | T = N-100 C | vnější teplota pouzdra |
| TINT | N=30:190 | T = N-100 C | vnitřní teplota pouzdra |
| TOR | N=10:250 | T = N-100 C | teplota zemského čidla |
| UOR | N=0:100 | U = N/10 V(?) | teplota slunečního čidla |
| MTX | N=0:255 | | operaci mód |
| MRX | N=0:255 | | operaci mód |
| RS 20 | | | volací znak |

Hlášení o poslechu jsou vítány na adresě:
pils@kaluga.ru

SO-50

Ruská raketa (adaptovaná balistická raketa, patrně SS20) startující tentokrát z Bajkonuru vynesla 20. prosince 2002 na oběžnou dráhu družici SAUDISAT-1C, která nese nyní označení SO-50. Na palubě družice je několik experimentálních zařízení, včetně FM transpondéru pracujícího v módu J. Uplink je na frekvenci 145,850 MHz a downlink na 436,800 MHz. Transpondér je k dispozici podle toho, jak tak to dovolí energetika družice. Při vysílání je třeba mít zapnut subtón 67,0 Hz, jinak se vysílač pro downlink vypne. Tato změna, např. ve srovnání s AO-27 nebo UO-

Kepleriánské prvky

| NAME | EPOCH | INCL | RAAN | ECCY | ARGP | MA | MM | DECY | REVN |
|----------|------------|--------|--------|--------|--------|--------|----------|---------|-------|
| AO-07 | 3008.67106 | 101.77 | 56.83 | 0.0012 | 156.83 | 203.33 | 12.53563 | -2.9E-7 | 28806 |
| AO-10 | 3003.75114 | 25.87 | 171.95 | 0.6046 | 316.08 | 9.13 | 2.05867 | 2.2E-6 | 14709 |
| UO-11 | 3009.86965 | 98.11 | 343.51 | 0.0009 | 346.43 | 13.66 | 14.77858 | 1.4E-5 | 1037 |
| RS-10/11 | 3009.42114 | 82.92 | 176.24 | 0.0012 | 346.29 | 13.80 | 13.72696 | 6.3E-7 | 77900 |
| FO-20 | 3008.92958 | 99.04 | 339.33 | 0.0541 | 95.87 | 270.43 | 12.83328 | -1.8E-7 | 60530 |
| RS-12/13 | 3008.62724 | 82.92 | 211.75 | 0.0031 | 41.74 | 318.61 | 13.74400 | 7.6E-7 | 59816 |
| RS-15 | 3007.69701 | 64.81 | 109.19 | 0.0148 | 123.45 | 238.05 | 11.27548 | -8.9E-7 | 33087 |
| FO-29 | 3008.93956 | 98.53 | 165.69 | 0.0350 | 321.94 | 35.74 | 13.52868 | -4.2E-7 | 31581 |
| SO-33 | 3008.45720 | 31.43 | 25.33 | 0.0358 | 303.82 | 52.89 | 14.27349 | 1.2E-5 | 21943 |
| AO-40 | 3007.26362 | 7.91 | 71.97 | 0.7934 | 130.51 | 330.02 | 1.25597 | -1.1E-6 | 1005 |
| UO-14 | 3009.16052 | 98.28 | 54.69 | 0.0011 | 327.02 | 33.03 | 14.31222 | 1.1E-6 | 67671 |
| AO-16 | 3009.18202 | 98.32 | 66.16 | 0.0011 | 333.46 | 26.60 | 14.31454 | 1.8E-6 | 67675 |
| WO-18 | 3009.23503 | 98.34 | 69.25 | 0.0011 | 333.24 | 26.82 | 14.31535 | 1.2E-6 | 67681 |
| LO-19 | 3008.72883 | 98.35 | 71.71 | 0.0012 | 333.21 | 26.84 | 14.31698 | 1.5E-6 | 67679 |
| UO-22 | 3009.39100 | 98.14 | 3.55 | 0.0006 | 253.96 | 106.08 | 14.39122 | 2.1E-6 | 60250 |
| KO-23 | 3008.90770 | 66.09 | 210.88 | 0.0015 | 283.12 | 76.81 | 12.86407 | -3.7E-7 | 48907 |
| AO-27 | 3009.90980 | 98.28 | 41.62 | 0.0009 | 22.58 | 337.58 | 14.28927 | 1.1E-6 | 48421 |
| IO-26 | 3008.61602 | 98.28 | 41.49 | 0.0010 | 24.65 | 335.51 | 14.29148 | 1.2E-6 | 48407 |
| KO-25 | 3009.65608 | 98.28 | 42.74 | 0.0010 | 1.10 | 359.02 | 14.29493 | 7.2E-7 | 45242 |
| TO-31 | 3008.97913 | 98.63 | 86.87 | 0.0002 | 231.84 | 128.26 | 14.23497 | -4.3E-7 | 23375 |
| GO-32 | 3008.91491 | 98.63 | 85.74 | 0.0000 | 279.17 | 80.95 | 14.22949 | 5.5E-7 | 23371 |
| UO-36 | 3009.78821 | 64.66 | 132.52 | 0.0017 | 317.07 | 42.91 | 14.76338 | 5.7E-6 | 20038 |
| AO-37 | 3009.22550 | 100.22 | 56.61 | 0.0038 | 42.10 | 318.31 | 14.35488 | 1.3E-6 | 15459 |
| SO-41 | 3008.90593 | 64.56 | 156.89 | 0.0055 | 245.25 | 114.29 | 14.78846 | 1.4E-5 | 12321 |
| MO-46 | 3009.46350 | 64.56 | 148.51 | 0.0048 | 243.68 | 115.94 | 14.81102 | 1.9E-5 | 12342 |
| SO-42 | 3009.86025 | 64.55 | 157.87 | 0.0059 | 245.31 | 114.18 | 14.77791 | 1.3E-5 | 12327 |
| NO-44 | 3009.21398 | 67.05 | 359.50 | 0.0005 | 256.17 | 103.88 | 14.29088 | 1.2E-6 | 6658 |
| SO-50 | 3009.90866 | 64.55 | 317.82 | 0.0040 | 128.37 | 232.10 | 14.69799 | 8.4E-6 | 297 |
| NOAA-10 | 3009.86375 | 98.73 | 4.07 | 0.0012 | 199.71 | 160.37 | 14.27046 | 1.3E-6 | 84824 |
| NOAA-11 | 3009.82974 | 98.91 | 91.33 | 0.0011 | 309.62 | 41.41 | 14.14517 | 2.0E-6 | 73718 |
| NOAA-12 | 3009.88410 | 98.62 | 0.19 | 0.0013 | 133.96 | 226.26 | 14.25049 | 2.5E-6 | 60556 |
| MET-3/5 | 3008.95350 | 82.56 | 67.57 | 0.0013 | 302.76 | 57.23 | 13.16979 | 5.1E-7 | 54813 |
| MET-2/21 | 3009.10801 | 82.55 | 246.99 | 0.0024 | 99.09 | 261.29 | 13.83528 | 1.7E-6 | 47249 |
| OKEAN-4 | 3008.97167 | 82.54 | 6.69 | 0.0023 | 180.46 | 179.66 | 14.80794 | 1.1E-5 | 44409 |
| NOAA-14 | 3009.82842 | 99.19 | 27.35 | 0.0009 | 345.78 | 14.31 | 14.13280 | 1.2E-6 | 41386 |
| SICH-1 | 3008.94975 | 82.53 | 147.48 | 0.0025 | 162.87 | 197.34 | 14.79826 | 1.5E-5 | 39622 |
| NOAA-15 | 3009.83508 | 98.55 | 33.06 | 0.0011 | 73.29 | 286.95 | 14.24224 | 1.3E-6 | 24214 |
| RESURS | 3009.23012 | 98.64 | 87.89 | 0.0001 | 191.94 | 168.17 | 14.23861 | 1.5E-6 | 23379 |
| FENGYUN1 | 3009.18368 | 98.64 | 35.10 | 0.0015 | 116.27 | 244.01 | 14.11729 | 2.1E-7 | 18893 |
| OKEAN-0 | 3008.93379 | 97.87 | 57.77 | 0.0001 | 125.44 | 234.70 | 14.72541 | 4.9E-6 | 18695 |
| NOAA-16 | 3009.82592 | 98.90 | 318.41 | 0.0011 | 60.14 | 300.09 | 14.11881 | 5.4E-6 | 11854 |
| NOAA-17 | 3009.84626 | 98.76 | 81.25 | 0.0013 | 110.96 | 249.29 | 14.23267 | 2.8E-6 | 2831 |
| UARS | 3009.65094 | 56.98 | 193.61 | 0.0006 | 115.14 | 245.03 | 15.02760 | 6.5E-6 | 61971 |
| ISS | 3009.86620 | 51.64 | 95.53 | 0.0005 | 17.47 | 136.46 | 15.58777 | 2.6E-4 | 23630 |
| WO-39 | 3009.21779 | 100.21 | 58.79 | 0.0035 | 34.36 | 325.99 | 14.37772 | 5.0E-6 | 15473 |
| OO-38 | 3009.12856 | 100.22 | 56.36 | 0.0037 | 40.63 | 319.76 | 14.35462 | 1.2E-6 | 15458 |
| SO-43 | 3010.01121 | 67.02 | 96.34 | 0.0007 | 328.63 | 31.45 | 16.05219 | 5.6E-3 | 7253 |
| NO-45 | 3009.40709 | 67.06 | 358.72 | 0.0006 | 238.82 | 121.22 | 14.29275 | 6.1E-7 | 6663 |

-14, by měla přinést úsporu energie, především nad oblastmi bez kvalifikovaných uživatelů.

OK2AQK

filtr do katody, linearita, kompenzace kapacity mřžky). Nová koncepce antény pro 2 m. Wattmetr pro diody a logaritmické detektory. Krystalka s tranzistorem jako detektor. Výkonový útlumový článek podle přání. Udelejte si pastičku pro elbug. Moderní přímozesilující přijímač. Děti samy staví, když mají motivaci (stránky pro mládež). DX a QSL informace, podmínky KV závodů, šíření. Amatérská televize odrazem od Měsíce. UKV hlídka, přehled satelitů a jejich vysílacích kmitočtů. Diplomy. Klubová činnost. paket a TCP/IP). Poslední verze programů pro digitální módy. Krystalové filtry v KV zařízení. Řízení elektromechanického zámku. Interface k programování radiostanic a mobilních telefonů.

RadCom 10/2002 - měsíčník RSGB: PIC-STAR, softwarově řízený přijímač a vysílač (3. část). Role radioamatérů při osvobození Falklandských ostrovů před 20 lety. Transceiver CDG 2000 - 5. část. Popis FT-1000MP Mark V Field. Skauti se seznamují s amatérským provozem. Co je to speech processing? Stručný popis programu EASlog. GPS stabilizuje kmitočet. Anténa CFA. Test IC-7400. Klubové a regionální informace. Hlídky VHF/UHF, závody, KV, antény (antenní analyzátoře), šíření, posluchači, EMC, IARU.

Break-In 5/2002 - dvouměsíčník NZART: Projekty s mikroprocesory pro amatéry. Inverted Vee pro KV na portable. Vyladění tranzistorového PA. Jednoduchý rozhlasový přijímač. Program SNAP pro DXmany. Úprava multimediální soupravy k přenosné radiostanici. Packaged story během 2. svět. války. Monitoring pásem. Telegrafistům. Digitální módy. VKV zajímavosti. Software Beam.exe. Velmi dlouhé vlny. Satelity. Závody. OTC. Příznivcům ÁM. DXy kolem nás, předpovědi šíření.

JPK

QSP 10/2002 - časopis rakouských amatérů: Rheintal Electronica. Maják OE3X. Předpověď podmínek. Nové diplomy. Termíny KV závodů. FM převáděče v Maďarsku. DX zajímavosti. Transvertor na 13 cm relé. Staniční monitor pro krátké vlny. ARDF. QSL byro.

QST 10/2002 - časopis ARRL: Dopisy čtenářů. Cesta k měsíci na 24 GHz. Linux, software a radioamatérství. Nenáročná externí GPS anténa. WRT-2002. Galerie vyznamenaných. Dědictví družice OSCAR 6. Měření kmitočtu - testy ARRL. QST bude na Internetu! Radioamatérská dílna (otázky a odpovědi). Přepínač funkcí příjem-vysílání. Test VX-7R. Zprávy FCC. DX hlídka. Svět nad 50 MHz. QRP hlídka, přehled podmínek závodů. ARRL DX CW - výsledky 2002.

CQ-DL 11/2002 - členský časopis DARC: Telemetrická data z Bodamského jezera přes DF0AIS. Úprava výkonového stupně pro 70 cm Compact 9000. O výpočtech a měření síly pole. Amatérům pomáhají amatérům po povodních. 22. AMTEC v Saarsku 1. prosince. Jednoduchý tester laserových diod. Lineární koncový stupeň - 1. část popisu (vstupní